



# نشریه پژوهشی کاربردی دمی

## (علمی-پژوهشی)

سال هجدهم، شماره ۳، پاییز ۱۴۰۳

- ۱ مطالعه تأثیر گرافن بر ویژگی‌های ولکانش، ریخت، شارشی و مکانیکی لاستیک طبیعی (NR)، لاستیک کلروبیوتیل (CIIR) و مخلوط NR/CIIR  
مرضیه شریفی تشیزی، اعظم جلالی آرانی، ماریانلا هرناندز سانتانا
- ۱۴ بهینه‌سازی شرایط عملیاتی دورت زدایی از شیره انگور رقیق شده با جاذب طبیعی پوست لیمو  
امید احمدی
- ۲۶ میکرواستخراج و اندازه‌گیری کوله کالسیفرول (ویتامین D<sub>3</sub>) در سیال‌های زیستی با یک روش سه فازی و به کارگیری فیبر توخالی و دو حال آلی امتزاج ناپذیر  
مریم رضیّی
- ۳۸ بهینه‌سازی فرایند استخراج با حلال فلزهای روی، مس و نیکل از محلول حلال‌شوبی اسیدی به همراه بررسی ترمودینامیکی و مرحله‌های فرایند  
سمیه کلبادی‌نژاد و احد قائمی
- ۴۷ بررسی رفتار شبکه‌ای شدن نانوچندسازهای برپایه اپوکسی حاوی نانوذرهای سیلیکا اصلاح شده با گروه‌های پرشاخه آمین  
زهرا حاتمی‌رامش، خدیجه دیده‌بان و محمدرضا صائب
- ۵۷ بررسی تأثیر استفاده از نانوترکیب‌های بسپاری تیتانیم دی‌اکسید بر ویژگی‌های بسته‌بندی ظروف توشیدنی پلی‌اتیلن ترفتالات  
مجید خانی، مهدی پردل، ابوالقاسم دلوووندیا و افسین توسلی فرشه



# نشریه پژوهش‌های کاربردی شیمی

(علمی-پژوهشی)

سال هجدهم، شماره ۳، پاییز ۱۴۰۳

صاحب امتیاز:  
دانشگاه آزاد اسلامی واحد تهران شمال

براساس نامه‌ی شماره ۳/۱۹۶۲۱۹ مورخ ۹۱/۱۰/۹ ارسالی از  
وزارت علوم، تحقیقات و فناوری، نشریه‌ی "پژوهش‌های کاربردی در شیمی"  
از بهار سال ۹۰، دارای درجه‌ی علمی-پژوهشی است.

مدیر مسؤول: دکتر حمیدرضا آفابزرگ

سردبیر: دکتر سعید تقوایی

مدیر داخلی: دکتر فرشته مطیعی

ویراستاران:

دکتر غلامرضا اسلامپور

دکتر حمیدرضا آفابزرگ

دکتر سعید تقوایی

دکتر علیرضا محجوب

مسؤول دبیر خانه:

دکتر معصومه عالم

طرح و صفحه آراء: محمد ساکی انتظامی

نشانی:

تهران، بزرگراه شهید بابایی (غرب به سرق)، خروجی  
حکیمی، خیابان شهید صدوqi، بلوار شهید عباسپور،  
دانشکده‌ی شیمی دانشگاه آزاد اسلامی واحد تهران شمال،  
دبیرخانه‌ی نشریه‌ی پژوهش‌های کاربردی در شیمی

تلفن - دورنگار: ۰۲۱-۷۷۰۰۹۸۴۸

پست الکترونیک: [jacr@iau-tnb.ac.ir](mailto:jacr@iau-tnb.ac.ir)

وب گاه: [www.jacr.ir](http://www.jacr.ir)

# JARC

نشریه پژوهش‌های کاربردی در شیمی  
(علمی - پژوهشی)

سال هجدهم، شماره ۳، پاییز ۱۴۰۳

خلاصه مقاله‌های این نشریه در پایگاه‌های زیر نمایه می‌شود:

---

SID.ir  
ISC.gov.ir  
Magiran.com  
Google scholar  
Linkedin

---

## (اعضای هیات تحریریه (به ترتیب حروف الفبا)

استاد شیمی معدنی، پژوهشگاه صنعت نفت ایران	دکتر حمیدرضا آقابزرگ
استاد شیمی آلی، دانشگاه آزاد اسلامی، واحد تهران شمال	دکتر سعید تقوای
استاد مهندسی شیمی، شرکت پژوهش و فناوری پتروشیمی	دکتر محمدرضا جعفری نصر
استاد شیمی کاربردی، دانشگاه آزاد اسلامی، واحد تهران شمال	دکتر مرتضی خسروی
دانشیار شیمی آلی، پژوهشگاه شیمی و مهندسی شیمی ایران	دکتر رضا زادمرد
استاد شیمی تجزیه، دانشگاه آزاد اسلامی، واحد تهران شمال	دکتر محمود رضا شهرابی
استاد مهندسی پلیمر، دانشگاه امیرکبیر	دکتر علی اصغر کنیاب
استاد شیمی معدنی، دانشگاه تربیت مدرس	دکتر علیرضا محجوب
استاد شیمی پلیمر، دانشگاه تهران	دکتر حسین مهدوی

## مشاوران علمی (به ترتیب حروف الفبا)

استاد مهندسی شیمی، دانشگاه صنعتی اصفهان	دکتر محمدرضا احسانی
استاد شیمی فیزیک، دانشگاه خوارزمی	دکتر غلامرضا اسلامپور
استاد شیمی آلی، دانشگاه گیسن آلمان	دکتر یونس ایپکچی
استادیار مهندسی شیمی، پژوهشگاه صنعت نفت ایران	دکتر اکبر ایراندوخت
دانشیار شیمی تجزیه، دانشگاه آزاد اسلامی، واحد تهران شمال	دکتر هادی پرستار شهری
دانشیار شیمی تجزیه، دانشگاه صنعتی شریف	دکتر حمیدرضا پوراعتدال
استاد شیمی تجزیه، دانشگاه صنعتی مالک اشتر اصفهان	دکتر سیدمهبدی پورمترضوی
دانشیار شیمی معدنی، دانشگاه صنعتی مالک اشتر	دکتر سجاد پیرسا
دانشیار شیمی ارومیه	دکتر حنانه جباری
استادیار شیمی معدنی، دانشگاه الزهرا	دکتر مهران دولو
دانشیار شیمی، دانشگاه آزاد اسلامی، واحد تهران شمال	دکتر فرهاد رحمانی
استادیار مهندسی شیمی، دانشگاه کردستان	دکتر مرتضی رضابور
استادیار شیمی تجزیه، پژوهشگاه صنعت نفت ایران	دکتر پیام زاهدی
دانشیار مهندسی شیمی، دانشگاه تهران	دکتر محسن شیدایی
دانشیار شیمی تجزیه، دانشگاه خوارزمی	دکتر ماندانا صابر تهرانی
استادیار شیمی کاربردی، دانشگاه آزاد اسلامی، واحد تهران شمال	دکتر صدیقه صادق حسنی
استادیار شیمی تجزیه، پژوهشگاه صنعت نفت ایران	دکتر سجاد صداقت
استاد شیمی کاربردی، دانشگاه آزاد اسلامی، واحد شهر قدس	دکتر علی اکبر طرانی
دانشیار شیمی معدنی، پژوهشگاه شیمی و مهندسی شیمی ایران	دکتر علی عباسیان
استادیار مهندسی پلیمر، دانشگاه آزاد اسلامی واحد علوم و تحقیقات	دکتر الهام عزتزاده
استادیار شیمی آلی، دانشگاه آزاد اسلامی، واحد اردبیل	دکتر هونمن فتوه چی
استادیار مهندسی شیمی، دانشگاه تهران	دکتر مهین فکور
استادیار شیمی کاربردی، دانشگاه آزاد اسلامی، واحد تهران شمال	دکتر محمد رضا گنجعلی
استاد شیمی تجزیه، دانشگاه تهران	دکتر محمد مجید مجتبی
استاد شیمی آلی، پژوهشگاه شیمی و مهندسی شیمی ایران	دکتر ابوالقاسم مقیمی
استاد شیمی آلی، دانشگاه امام حسین (ع)	دکتر مریم میرزا آقایان
استاد شیمی آلی، پژوهشگاه شیمی و مهندسی شیمی ایران	دکتر مجتبی هادی بیداخویدی
دانشیار شیمی تجزیه، دانشگاه قم	دکتر هنگامه هنرکار

مطالعه تأثیر گرافن بر ویژگی‌های ولکانش، ریخت، شارشی و مکانیکی لاستیک طبیعی (NR)، لاستیک کلروبیوتیل (CIIR) و مخلوط NR/CIIR ۱

مرضیه شریفی تشیزی، اعظم جلالی آرانی، ماریانلا هرناندز سانتانا

بهینه‌سازی شرایط عملیاتی کدورت‌زدایی از شیره انگور رقیق شده با جاذب طبیعی پوست لیمو ۱۴  
امید احمدی

میکرواستخراج و اندازه‌گیری کوله کالسیفرول (ویتامین D<sub>3</sub>) در سیال‌های زیستی با یک روش سه فازی و به کارگیری فیبر توخالی و دو حلال آلی امتزاج ناپذیر ۲۶  
مریم رضیئی

بهینه‌سازی فرایند استخراج با حلال فلزهای روی، مس و نیکل از محلول حلال‌شویی اسیدی به همراه بررسی ترمودینامیکی و مرحله‌های فرایند ۳۸  
سمیه کلبادی نژاد و احد قائمی

بررسی رفتار شبکه‌ای شدن نانوچندسازه‌های بربایه اپوکسی حاوی نانوذره‌های سیلیکا اصلاح شده با گروه‌های پرشاخه آمین ۴۷  
زهراء حاتمی‌رامشه، خدیجه دیده‌بان و محمدرضا صائب

بررسی تأثیر استفاده از نانوترکیب‌های بسپاری تیتانیم دی‌اکسید بر ویژگی‌های بسته‌بندی ظروف نوشیدنی پلی‌اتیلن ترفتالات ۵۷  
مجید خانی، مهدی پردل، ابوالقاسم داودنیا و افشین توسلی فرشه

## مطالعه تأثیر گرافن بر ویژگی‌های ولکانش، ریخت، شارشی و مکانیکی لاستیک طبیعی (NR)، لاستیک کلروبیوتیل (CIIR) و مخلوط CIIR/ NR

مرضیه شریفی تشنجی<sup>۱</sup>، اعظم جلالی آرانی<sup>۲\*</sup>، ماریانلا هرناندز سانتانا<sup>۳</sup>

۱. دانشجوی دکتری دانشکده مهندسی پلیمر و رنگ، دانشگاه صنعتی امیرکبیر، تهران، ایران.

۲. دانشیار دانشکده مهندسی پلیمر و رنگ، دانشگاه صنعتی امیرکبیر، تهران، ایران.

۳. پژوهشگر موسسه علوم و تکنولوژی پلیمر (ICTP-CSIC)، مادرید، اسپانیا.

دریافت: آبان ۱۴۰۳ بازنگری: آذر ۱۴۰۳ پذیرش: آذر ۱۴۰۳



<https://doi.org/10.30495/JACR1.1403.1188342>

### چکیده

نانوچندسازهای لاستیک طبیعی (NR)، لاستیک کلروبیوتیل (CIIR) و مخلوط لاستیک طبیعی / لاستیک کلروبیوتیل (NR/CIIR) با ترکیب درصد ۵۰/۵۰، بدون گرافن و با ۷ phr گرافن بهروش اختلاط مذاب تهیه شدند. حضور گرافن در آمیزه‌ها، بهدلیل افزایش چگالی پیوندهای عرضی، موجب افزایش مقدار تفاوت بیشینه و کمینه گشتاور در آزمون شارش‌ستجی پخت شد. نتیجه‌های بهدست‌آمده از آزمون تورم این نتیجه را تایید کرد. ساختار نانوچندسازه و مقدار پراکنش گرافن با میکروسکوپ الکترونی روبشی گسیل میدانی (FESEM) بررسی شد. تصویرها توزیع یکنواخت و پراکندگی مناسب نانولایه‌های گرافن در بستر آمیزه‌های لاستیکی را نشان داد. در ارزیابی رفتار شارشی مذاب نشان داده شد که افزودن گرافن به هر سه آمیزه موجب افزایش مدول ذخیره و گران‌روی مختلط در بسامدهای کم می‌شود که بیانگر توزیع یکنواخت نانولایه‌های گرافن در بستر آمیزه و برهمکش‌های مناسب گرافن و زنجیر بسیار است. مطالعه ویژگی‌های مکانیکی نمونه‌ها با آزمون کششی نشان‌دهنده تاثیر تقویت‌کنندگی گرافن بر ویژگی‌های مکانیکی نانوچندسازه‌ها بود، به‌گونه‌ای که افزودن ۷ phr گرافن به آمیزه‌های NR/CIIR و مخلوط CIIR/NR موجب افزایش مدول یانگ بهترتبی به مقدار ۴۲ و ۴۰ درصد شد.

**واژه‌های کلیدی:** لاستیک، نانوچندسازه، گرافن، ویژگی‌های شارشی، ویژگی‌های مکانیکی

## مقدمه

کردند [۸]. تاثیر افزودن گرافن به مخلوط لاستیک برموبوتیل/لاستیک طبیعی اپوکسید شده با روش اختلاط مذاب توسط راجو و همکارانش بررسی شد. نتیجه مطالعه آنها بیان کننده پراکنش مناسب گرافن در بستر لاستیکی و همچنین، تقویت ویژگی‌های مکانیکی و گرمایی این مخلوط بود. لاستیک طبیعی (NR) به دلیل فراوانی، طبیعی بودن منع تولید همچنین، برخورداری از ویژگی شیمیایی و مکانیکی عالی کاربردهای وسیعی در صنعت، به ویژه تایرسازی دارد [۹]. لاستیک کلربوتیل (CIIR) به عنوان یک الاستومر ویژه در صنایع لاستیک استفاده می‌شود. این لاستیک از ویژگی مطلوب عبورناپذیری برخوردار است، ضمن آنکه قابلیت ولکانش آن نسبت به لاستیک بیوتیل (IIR) بیشتر است. از این‌رو، می‌تواند به صورت مخلوط با سایر الاستومرها استفاده شود [۱۰]. مخلوط NR/CIIR در تهیه لایه داخلی تایر در تایرهای بدون تویی، بسیار اهمیت دارد و با کاهش دادن هزینه در صنعت تایرسازی، از نظر اقتصادی نیز قابل توجه است. در صنایع بسپار، دستیابی به ویژگی‌های مهندسی مطلوب و طراحی شده، مستلزم استفاده از مواد تقویت کننده با به کارگیری روش مناسب آمیخته‌سازی است. در این راستا، نانوچندسازهای بسپار با بسترها لاستیکی که گرافن در آن‌ها نقش تقویت کننده دارد، بسیار قابل توجه هستند. در پژوهش حاضر، تاثیر گرافن بر رفتار پخت، چگالی پیوندهای عرضی، ریخت، ویژگی‌های شارشی و مکانیکی نانوچندسازهای بر پایه NR و مخلوط NR/CIIR بررسی شد.

## بخش تجربی مواد مصرفی

NR از نوع SMR-CV60 با گران روی ML ۶۰ (دماي ۱۰۰ درجه سلسیوس، پیش گرمایش ۱ دقیقه و چرخش چرخانه<sup>۱</sup> ۴ دقیقه) از شرکت Malaysian Rubber با نام تجاری 1240 X-butyle CB و با گران روی ML ۳۸

درسال‌های اخیر، استفاده از نانوذرهای به عنوان عامل تقویت-کننده در بستر بسپار بهمنظور بهبود ویژگی چندسازهای بسپار موجب توسعه چشمگیر کاربرد نانوفناوری در حوزه بسپار شده است. نانوذرهای با داشتن دست کم یک بعد با اندازه کمتر از ۱۰۰ نانومتر و نسبت منظر بسیار بالا می‌توانند جایگزین مناسبی برای پرکننده‌های متداول که در مقدارهای زیاد استفاده می‌شوند، باشند. از گرافن و مشتقاتش بهمنظور بهبود ویژگی‌های فیزیکی و مکانیکی چندسازهای بسپار، استفاده می‌شود. این مواد زمانی که پراکندگی مناسبی در بستر بسپار داشته باشند، افزون بر بهبوددادن ویژگی‌های مکانیکی، رسانندگی گرمایی و الکتریکی، سرعت عبور گازها را نیز کند. به دلیل نسبت منظر بالا و چگالی الکترونی زیاد حلقة-های کربنی، گرافن می‌تواند اتم‌ها و مولکول‌های گازی را دفع کند و در نتیجه حلایلیت بسیار کم برای مولکول‌های گازی ایجاد کند. در ضمن، گرافن از نفوذ سلول‌های زیستی، آب و پروتون نیز جلوگیری می‌کند [۱ و ۲]. ساختار ورقه گرافن و پراکندگی مناسب آن‌ها در بستر بسپار، بیشترین ویژگی سدگری را در نانوچندسازهای آن به وجود می‌آورد. گرافیت اکسید و گرافن اکسید نیز مشتقهای گرافنی هستند که در کاربردهای عبورناپذیری گاز، در بستر بسپار استفاده می‌شوند [۳ و ۴]. به-طور کلی، نانوچندسازهای لاستیک/گرافن با روش‌های اختلاط مذاب، محلولی (لاتکس) و بسپارش درجا تهیه می‌شوند. در میان این روش‌ها، اختلاط مذاب از اقتصادی‌ترین روش‌های تهیه نانوچندسازهای لاستیک/گرافن در صنعت هستند [۵ و ۶]. کومار و همکارانش نانوچندسازه لاستیک برموبوتیل/گرافن را بهروش اختلاط مذاب تهیه کردند. پژوهش آن‌ها بهبود ویژگی مکانیکی و سدگری این بسپار را نشان داد [۷]. ژانگ و همکارانش گرافن اکسید و لاستیک سیلیکون را بهروش اختلاط مذاب ترکیب کردند و پراکنش مناسب گرافن اکسید و ویژگی‌های مکانیکی تقویت شده در نانوچندسازه را گزارش

۱. Rotor

مطالعه تأثیر گرافن بر ویژگی‌های ولکانش، ریخت، شارشی ...

آسیای دو غلتکی آزمایشگاهی در دمای محیط انجام گرفت. سپس اجزای افزودنی شامل فعال کننده (روی اکسید، استئاریک اسید) و پایدارکننده (IPPD)، عامل پخت (گوگرد) و شتابدهنده (N-سیکلوهگزیل-۲-بنزوتیازول سولفنامید و -۲،۲-دیبنزوتیازول دی‌سولفید) به مخلوطها افزوده شد. مقدار مواد افزودنی برای همه آمیزه‌ها یکسان در نظر گرفته شد. اجزای نمونه‌های تهیه شده در جدول ۱ آورده شده است. فرایند پخت نمونه‌های تهیه شده، با دستگاه پرس در دمای ۱۶۰ درجه سلسیوس برپایه زمان بهینه پخت ( $t_{90}$ ) انجام شد.

(دمای ۱۲۵ درجه سلسیوس، پیش گرمایش ۱ دقیقه و چرخش چرخانه ۸ دقیقه) از شرکت Arlanxeo سویس و گرافن با نام تجاری AV-Plat\_7 از کمپانی Avanzare اسپانیا، استفاده شدند. مواد افزودنی دیگر شامل روی اکسید، استئاریک اسید، گوگرد، N-سیکلوهگزیل-۲-بنزوتیازول سولفنامید، -۲،۲-دیبنزوتیازول دی‌سولفید و N-ایزوپروپیل-N'-فنیل-p-فنیلین دی‌آمین<sup>۱</sup> (IPPD) از شرکت سیگما آلدrijc تهیه شدند.

#### تهیه نمونه‌ها

آمیزه‌های مبتنی بر NR، CIIR و مخلوط آن‌ها، بدون گرافن و با مقدار ۳٪ phr گرافن تهیه شدند. اختلاط بر روی

جدول ۱ اجزای تشکیل‌دهنده نمونه‌های تهیه شده

اجزای تشکیل‌دهنده (phr)								Nمونه
IPPD	شتابدهنده‌ها	گوگرد	استئاریک اسید	روی اکسید	GNP	CIIR	NR	
۰.۵	۱/۶	۱	۱	۳	۰	۰	۱۰۰	NR/0G
۰.۵	۱/۶	۱	۱	۳	۰.۷	۰	۱۰۰	NR/0.7G
۰.۵	۱/۶	۱	۱	۳	۰	۱۰۰	۰	CIIR/0G
۰.۵	۱/۶	۱	۱	۳	۰.۷	۱۰۰	۰	CIIR/0.7G
۰.۵	۱/۶	۱	۱	۳	۰	۰	۱۰۰	50NR/0G
۰.۵	۱/۶	۱	۱	۳	۰.۷	۵۰	۵۰	50NR/0.7G

#### آزمون‌ها و دستگاه‌ها شارش‌سنگی پخت

آزمون شارش‌سنگی پخت برای تعیین زمان بهینه پخت با دستگاه شارش‌سنگ مدل (Monsanto MDR 2000) ساخت شرکت Alpha technology انجام شد. زمان برشتگی ( $t_{S2}$ )، زمان بهینه پخت ( $t_{90}$ )، تفاوت بیشینه و کمینه گشتاور شارش‌شناسی تعیین شد. شاخص سرعت پخت (CIR<sup>۲</sup>) نیز با معادله ۱ محاسبه شد.

$$\text{CIR} = 100 / (t_{90} - t_{S2}) \quad (1)$$

اندازه‌گیری نسبت تورم، چگالی پیوندهای عرضی و عامل‌های ترمودینامیکی

برای اندازه‌گیری نسبت تورم و چگالی پیوندهای عرضی با به کارگیری آزمون تورم، از هر یک از نمونه‌های پخت شده مربعی به ابعاد  $10 \times 10$  میلی‌متر با ضخامت ۱ میلی‌متر تهیه و وزن شد. سپس، نمونه‌ها به مدت ۷۲ ساعت در تولوئن قرار گرفتند. پس از آن، نمونه‌ها از حلال خارج و به مدت ۲۴ ساعت در

<sup>۱</sup>. N-Isopropyl-N'-phenyl-1,4-phenylenediamine (IPPD)

<sup>۲</sup>. Parts per hundred rubber (phr)

<sup>۳</sup>. Cure rate index (CRI)

## حالی آرانی و همکاران

آنکه سطح شکست نمونه‌ها پیش از بررسی با FESEM با طلا روکش دهی شد.

### آزمون شارش‌سنجه

رفتار رئولوژیکی مذاب نمونه‌های پخت‌نشده به کمک دستگاه شارش‌سنجه مدل MDR3000 PROF ساخت شرکت Amerika مطالعه شد. با انجام آزمون پویش بسامد در گستره  $0\text{--}100$  Hz و کرنش  $1^2$  درصد در دمای  $100^\circ\text{C}$  درجه سلسیوس، گرانروی مختلط ( $\eta^*$ )، مدول ذخیره مذاب ( $G'$ ) و مدول اتلاف ( $G''$ ) اندازه‌گیری شدند.

### ویژگی‌های مکانیکی

آزمون کشش برپایه استاندارد UNE-ISO 37:2013 با دستگاه استحکام‌سنجه مدل Instron-3366 در دمای محیط و با سرعت کشش  $500\text{ mm/min}$  انجام شد.

### نتیجه‌ها و بحث شارش‌سنجه پخت

رفتار و نتیجه‌های به دست‌آمده از پخت نمونه‌های تهییه شده بدون گرافن و با گرافن با دستگاه شارش‌سنجه پخت در جدول ۲ و شکل ۱ مشاهده می‌شود. حضور گرافن در بستر هر دو لاستیک NR و CIIR و مخلوط آن‌ها زمان برشتگی ( $t_{S2}$ ، زمان بهینه پخت ( $t_{90}$ ) را کاهش و شاخص سرعت پخت (CRI) را افزایش داده است. رفتار مشابهی برای لاستیک برموبوتیل گزارش شده است [۱۲]. تاثیر شتاب‌دهنگی گرافن، به واکنش میان فعال‌کننده و شتاب‌دهنده و بازکردن حلقه گوگرد برای پیوندهای گوگردی [۱۲ و ۱۳] و همچنین، تاثیر آن بر انتقال گرما در بستر لاستیکی در هنگام فرایند پخت [۱۴]، نسبت داده می‌شود. لازم به ذکر است که شاخص سرعت پخت لاستیک طبیعی نسبت به لاستیک کلربوتیل، بیشتر است که به دلیل بیشتر بودن تعداد پیوندهای دوگانه در لاستیک طبیعی

آون با دمای  $60^\circ\text{C}$  درجه سلسیوس قرار داده شدند. با داشتن وزن نمونه‌ها پیش و پس از تورم در حلال، نسبت تورم محاسبه شد (معادله ۲). چگالی پیوندهای عرضی (v) نیز با معادله فلوری-رینر<sup>۱</sup> (معادله ۳)، محاسبه شد.

$$= \frac{(M_2 - M_1)}{M_1} \quad (2)$$

در معادله ۲،  $M_1$  وزن نمونه پیش از تورم در حلال و  $M_2$  وزن نمونه پس از تورم در حلال است.

$$v = \frac{\ln(1 - V_r) + V_r + \chi V_r^2}{2V_s \times (0.5V_r - V_r^{1/3})} \quad (3)$$

در معادله ۳  $V_r$  کسر حجمی لاستیک در نمونه متورم شده،  $V_s$  حجم مولی تولوئن ( $106/3\text{ ml/mol}$ )،  $\chi$  عامل برهمکنش بسپار-حلال ( $0.568$ ).

عامل‌های ترمودینامیکی انرژی آزاد گیبس ( $\Delta G$ ) و تغییرهای آنتروپی ( $\Delta S$ ) با اطلاعات به دست‌آمده و نظریه کشسانی لاستیک برپایه معادله‌های ۴ و ۵ محاسبه شدند [۱۱].

$$\Delta G = RT[\ln(1-v) + v + v^2\chi] \quad (4)$$

$$\Delta G = -T\Delta S \quad (5)$$

که در آن‌ها،  $R$  و  $T$  به ترتیب ثابت جهانی گاز و دمای مطلق هستند.

میکروسکوپ الکترونی رویشی گسیل میدانی برای بررسی سطح شکست نمونه‌ها، ریخت‌شناسی و میزان پراکنش گرافن در بستر لاستیکی NR، CIIR و مخلوط NR/CIIR، میکروسکوپ الکترونی رویشی گسیل میدانی مدل SU8000 ساخت شرکت Hitachi ژاپن به کار گرفته شد. هر نمونه در نیتروژن مایع قرار گرفت و سپس شکسته شد، ضمن

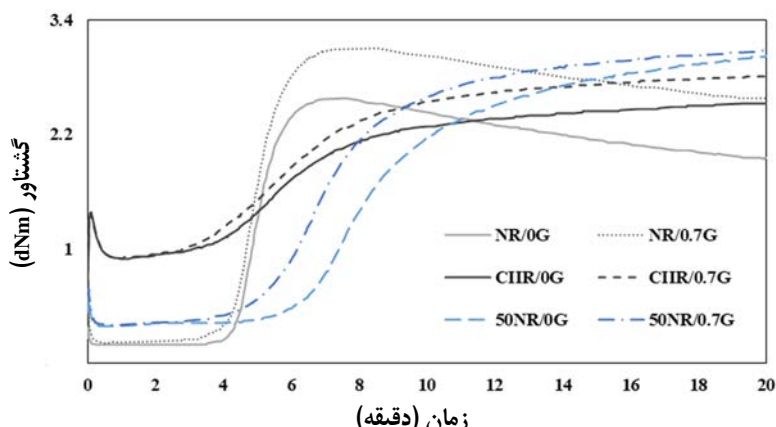
<sup>1</sup>. Flory-Rehner

<sup>2</sup>. Strain

جدول ۲ ویژگی‌های پخت نمونه‌های تهیه شده

CRI (min <sup>-1</sup> )	t <sub>90</sub> (min)	t <sub>s2</sub> (min)	M <sub>H</sub> - M <sub>L</sub> (dNm)	M <sub>H</sub> (dNm)	نمونه
۴۳/۹۰	۶/۰۱	۴/۰۲	۲/۵۸	۲/۶۸	NR/0G
۴۴/۴۰	۵/۹۰	۳/۶۵	۲/۹۳	۳/۰۲	NR/0.7G
۱۰/۴۰	۱۱/۹۰	۲/۲۸	۱/۶۳	۲/۵۳	CIIR/0G
۱۰/۷۰	۱۱/۲۵	۱/۹۰	۱/۹۱	۲/۸۱	CIIR/0.7G
۱۱/۹۷	۱۴/۷۰	۶/۳۳	۲/۸۲	۳/۰۱	50NR/0G
۱۲/۹۹	۱۲/۲۵	۴/۵۵	۲/۸۸	۳/۰۸	50NR/0.7G

است [۱۵]. همچنین، حضور گرافن موجب افزایش مقدار بیشینه گشتاور ( $M_H$ ) و تفاوت مقدار بیشینه و کمینه گشتاور ( $M_L$ ) در هر سه آمیزه می‌شود که هر کدام به ترتیب مربوط به مدول نمونه پخت شده و درجه پیوندهای عرضی هستند [۱۶] و [۱۷]. در واقع، برهم‌کنش‌های سطحی گرافن با زنجیرهای بسپار موجب کاهش تحرک و آزادی زنجیرها و به دنبال آن افزایش مدول می‌شود. از سوی دیگر، تأثیر گرافن بر سرعت پخت، موجب افزایش مقدار پیوندهای عرضی و در نتیجه افزایش می‌شود.



شکل ۱ نمودار تغییرهای گشتاور بر حسب زمان آمیزه‌های مبتنی بر NR، CIIR و مخلوط آن‌ها، بدون گرافن و با گرافن

در مقایسه با NR بسیار کم است. برپایه نتیجه‌های به دست آمده از شارش‌سنگی پخت، پیوندهای عرضی نانوچندسازه در حضور گرافن در بستر هر دو لاستیک و مخلوط آن‌ها افزایش می‌یابد [۹]. مقدار بیشتر چگالی پیوندهای عرضی آمیزه‌های حاوی NR بدون گرافن و همراه با گرافن نسبت به آمیزه‌های مشابه از CIIR به دلیل تعداد بیشتر پیوندهای دوگانه در ساختار NR است.

دو عامل ترمودینامیکی انرژی آزاد گیبس ( $\Delta G$ ) و آنتروپی ( $\Delta S$ ) در ارتباط با رفتار کشسانی نمونه‌ها هستند و بیان کننده مقدار تقویت‌شدگی بستر نانوچندسازه در حضور گرافن‌ها هستند.

نسبت تورم، چگالی پیوندهای عرضی و عامل‌های ترمودینامیکی نتیجه‌های به دست آمده از اندازه‌گیری نسبت تورم و چگالی پیوندهای عرضی آمیزه‌های تهیه شده بدون گرافن و با گرافن در جدول ۳ آورده شده است. حضور گرافن در آمیزه‌های لاستیکی به دلیل ساختار نفوذناپذیر گرافن و ایجاد مسیر طولانی و پرپیچ و خم برای ملکول‌های حلال برای عبور از فیلم نانوچندسازه، نسبت تورم را کاهش می‌دهد. جلوگیری فضایی گروههای متیل بر ساختار CIIR مانع از نفوذ مولکول‌های حلال می‌شود [۱۸] و به همین علت نسبت تورم این لاستیک

## حالی آرانی و همکاران

کسشانی نانوچندسازه‌ها می‌شود. ضمن آنکه برهمکنش میان زنجیره‌های بسپار و صفحه‌های گرافن آنتروپی آن‌ها را کاهش می‌دهد [۱۹ و ۲۰].

به این گونه که انرژی آزاد گیبس منفی نشان‌دهنده سازگاری میان گرافن و بستر آمیزه است. حضور گرافن، به‌دلیل برهمکنش زنجیر بسپار-گرافن و همچنین، افزایش پیوندهای عرضی موجب کاهش حرکت زنجیره‌های بسپار و در نتیجه افزایش رفتار

جدول ۳ نسبت تورم، چگالی پیوندهای عرضی و عامل‌های ترمودینامیکی محاسبه شده

برای نمونه‌های تهیه شده

$\Delta S$ (J. (mol. K) <sup>-1</sup> )	$\Delta G$ (J.mol <sup>-1</sup> )	$v \times 10^5$ (mol cm <sup>-3</sup> )	نسبت تورم	نمونه
۰,۰۲۴۲	-۷,۲۴ ± ۰,۱۰	۲,۰۸ ± ۰,۰۴	۶,۱۶ ± ۰,۰۷	NR/0G
۰,۰۲۹۱	-۸,۶۷ ± ۰,۰۶	۲,۶۹ ± ۰,۰۹	۵,۵۴ ± ۰,۰۷	NR/0.7G
۰,۰۰۱۵	-۰,۴۵ ± ۰,۰۷	۰,۱۸ ± ۰,۰۳	۴,۳۱ ± ۰,۰۴	CIIR/0G
۰,۰۰۶۲	-۱,۸۴ ± ۰,۱۹	۰,۷۱ ± ۰,۰۷	۳,۷۱ ± ۰,۰۷	CIIR/0.7G
۰,۰۰۸۲	-۲,۴۶ ± ۰,۰۷	۱,۰۷ ± ۰,۰۲	۶,۲۲ ± ۰,۰۴	50NR/0G
۰,۰۱۱۳	-۳,۳۷ ± ۰,۰۳	۱,۴۳ ± ۰,۱۰	۵,۷۸ ± ۰,۰۳	50NR/0.7G

ترمودینامیکی گرافن به NR، تعداد نانولایه‌های پراکنده شده گرافن در این فاز، نسبت به CIIR بیشتر است [۴].

ویژگی‌های شارشی  
شکل‌های ۳-الف و ب منحني تغییرهای مدول ذخیره و گران‌روی مختلط بر حسب بسامد برای نمونه‌های CIIR، NR، و مخلوط NR/CIIR، بدون گرافن و با گرافن را نشان می‌دهند. با توجه به شکل، حضور phr ۰/۷ از گرافن در بستر هر کدام از دو لاستیک و مخلوط آن‌ها، مدول ذخیره و گران‌روی مختلط را افزایش می‌دهد که به‌دلیل پراکنش مناسب نانولایه‌های گرافن و سطح بسیار زیاد نانولایه‌ها در بستر آمیزه و همچنین، برهمکنش میان زنجیر بسپار-گرافن است [۲۱]. همان‌گونه که در شکل دیده می‌شود مدول کشسانی و گران‌روی CIIR به طور چشمگیری بیش از مقدار آن‌ها در لاستیک NR است. افزایش مدول ذخیره و گران‌روی مختلط CIIR در حضور ۰/۷ phr از گرافن (نمونه CIIR/0.7G)، نسبت به نمونه CIIR/0G در مقایسه با تغییرهای مشابه در نمونه‌های مبتنی بر NR کمتر است و مدول ذخیره و گران‌روی مختلط نمونه

تصویرهای میکروسکوپ الکترونی رویشی گسلی میدانی (FESEM)

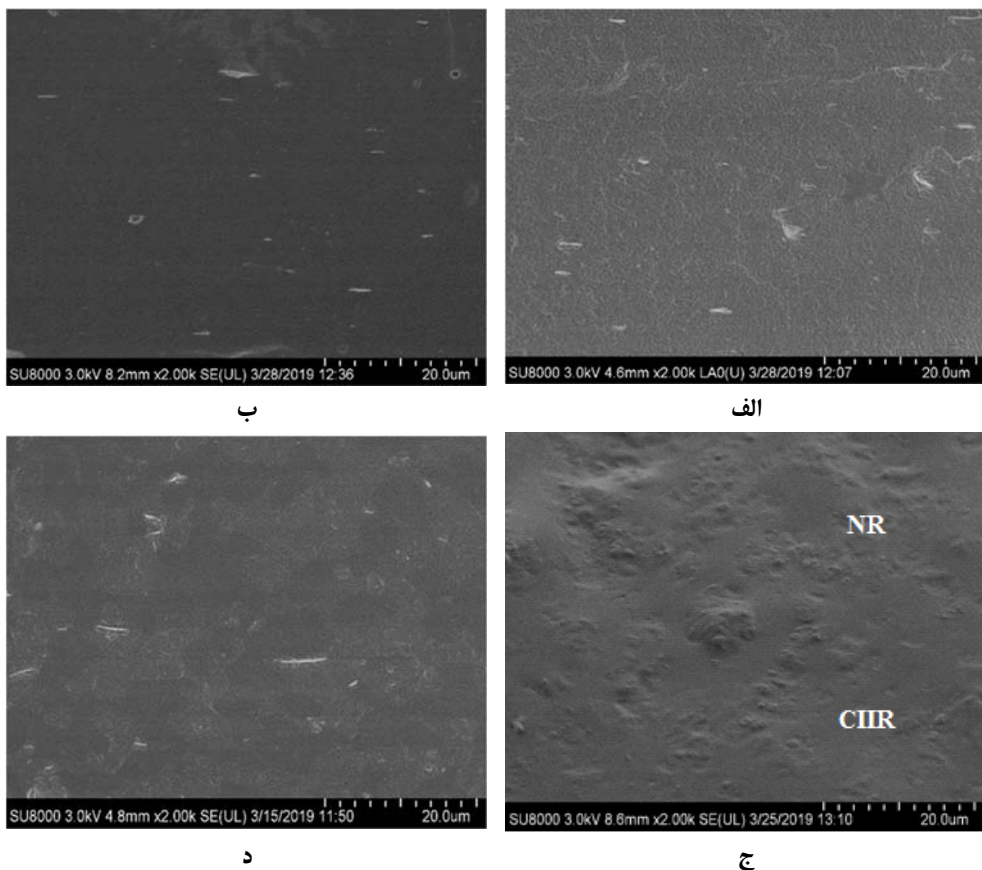
تصویرهای FESEM از سطح شکست نمونه‌های تهیه شده از NR و CIIR با گرافن و مخلوط آن‌ها بدون گرافن و با گرافن در شکل ۲ نشان‌داده شده است. این تصویرها توزیع پراکنش بسیار خوب و بدون کلوخه گرافن در هر سه نمونه را نشان می‌دهند.

مقایسه شکل ۲-الف با شکل ۲-ب بیانگر ناصافی سطح شکست نمونه مبتنی بر NR است که می‌توان آن را به برهمکنش ترمودینامیکی بهتر بین گرافن و NR در مقایسه با بر همکنش آن با CIIR نسبت داد [۴]. اگرچه گران‌روی بالاتر CIIR نسبت به NR بر پراکنش گرافن تاثیر گذارد و پراکنش مناسبی را در CIIR موجب می‌شود. شکل‌های ۲-ج و ۲-د نشان می‌دهد که ریخت مخلوط NR/CIIR و نانوچندسازه آن هر دو به صورت دو فاز در هم پیوسته است و نانولایه‌های گرافن در هر دو فاز و ناحیه بین دو فاز قرار گرفته‌اند که با توجه به تمایل

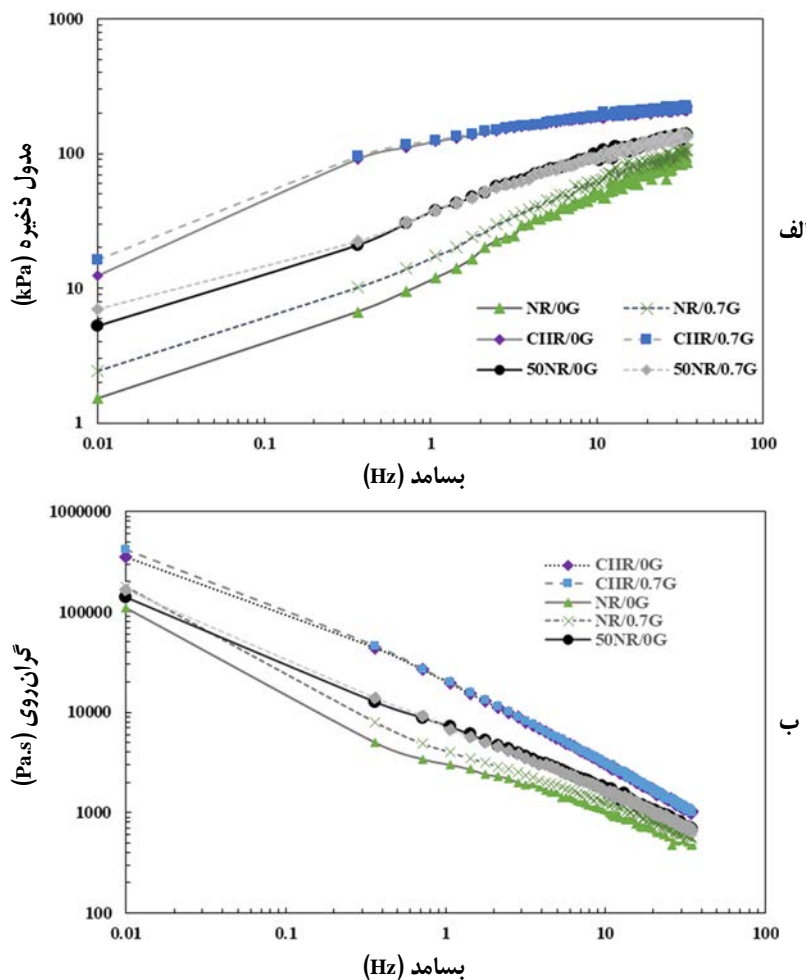
## مطالعه تأثیر گرافن بر ویژگی‌های ولکانش، ریخت، شارشی ...

نانولایه‌ها در بستر لاستیک می‌شود [۴ و ۲۲]. ضمن آنکه گران روی کمتر NR در مقایسه با CIIR ورود بهتر آن را در بین لایه‌های گرافن تسهیل می‌کند.

NR/0.7G نسبت به نمونه بدون گرافن (NR/0G) در بسامد کم، افزایش چشمگیری را نشان می‌دهد. همخوانی قطبیت و تمایل ترمودینامیکی گرافن و NR موجب برقراری برهمنکش‌های  $\pi - \pi$  میان زنجیر سپار-گرافن و پراکنش



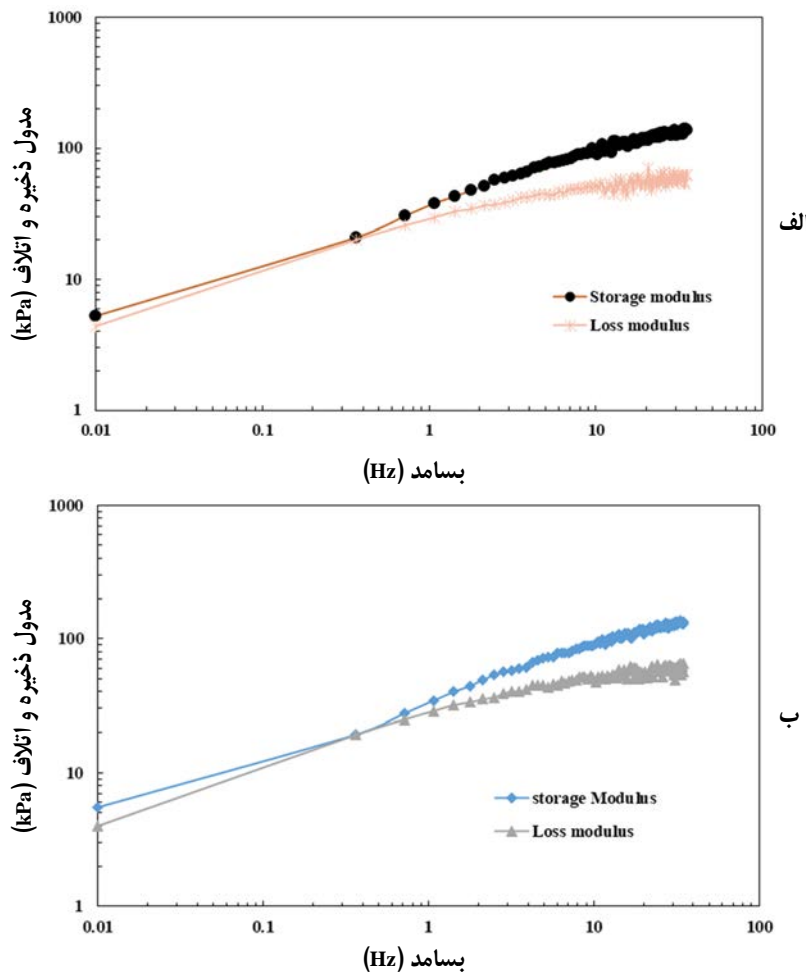
شکل ۲ تصویرهای FESEM نمونه‌های NR/0.7G (الف)، CIIR (ب)، و 50NR/0.7G (ج) و 50NR/0G (د)



شکل ۳ منحنی تغییرهای مدول ذخیره (الف) و گرانروی مختلط (ب) بر حسب بسامد آمیزه‌های حاوی NR، CIIR و مخلوط آن‌ها، بدون گرافن و با گرافن

گرافن اندکی به بسامد کمتر انتقال می‌یابد که بیانگر افزایش کشسانی نانوچندسازه بوده و می‌تواند به تاثیر گرافن بر سازگاری بین دو فاز نیز نسبت داده شود.

شکل‌های ۴-الف و ب تغییرهای مدول ذخیره و مدول اتلاف مخلوط NR/CIIR بدون گرافن و با گرافن را نشان می‌دهد. نقطه تلاقی دو منحنی مدول ذخیره و مدول اتلاف برای مخلوط NR/CIIR حاوی گرافن نسبت به مخلوط بدون

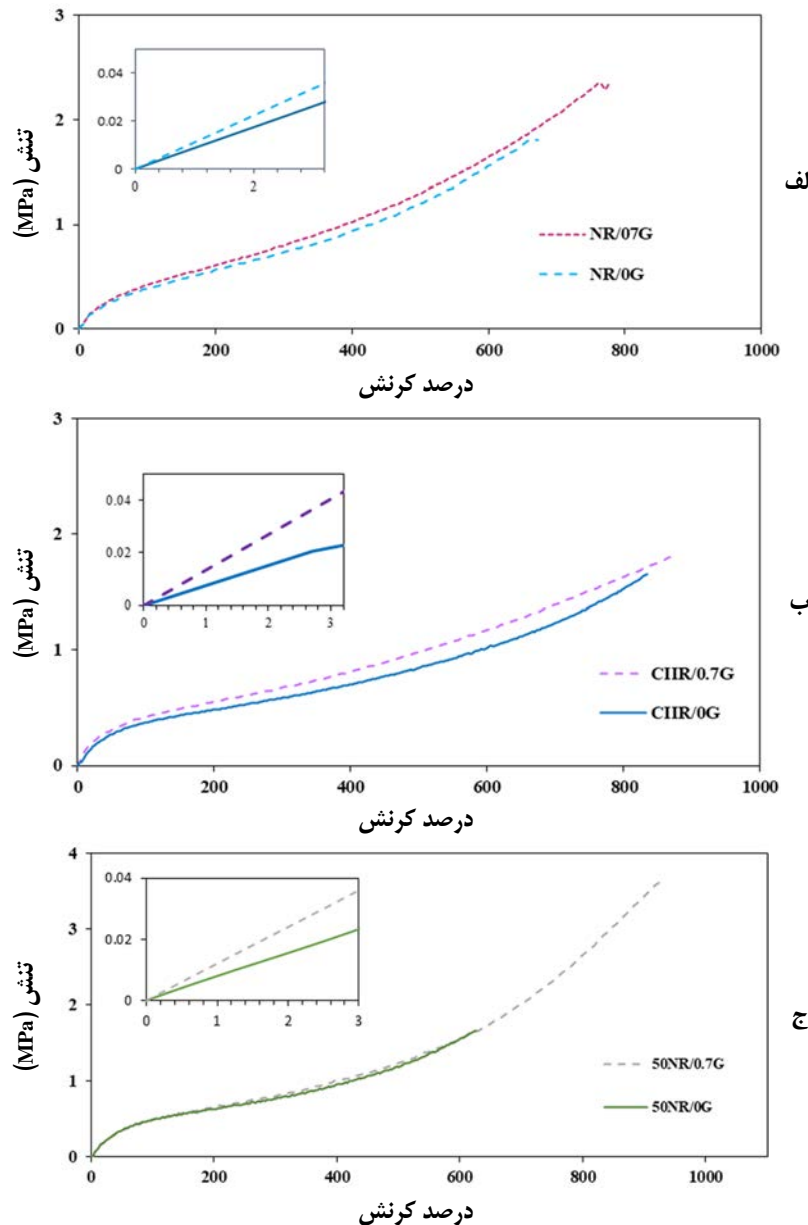


شکل ۴ نمودار تغییرهای مدول‌های ذخیره و اتلاف نمونه‌های مخلوط NR/CIIR بدون گرافن (الف) و با گرافن (ب)

برهم‌کنش میان زنجیرهای بسپار و سطح گرافن‌ها است. تنفس بیشتر برای نمونه‌های تهییشده حاوی ۰/۷ phr گرافن نسبت به نمونه‌های خالص در این ناحیه، به کاهش حرکت زنجیرها در اثر برهم‌کنش با صفحه‌های گرافن و نیز افزایش چگالی پیوندهای عرضی نسبت داده می‌شود [۲۳، ۷]. همچنین، درصد ازدیاد طول نانوچندسازهای تهییشده از هر یک از دو لاستیک و مخلوط آن‌ها نسبت به نمونه‌های مشابه بدون گرافن، بیشتر است.

ویژگی‌های مکانیکی در شکل ۵-الف و ج نمودارهای تنفس<sup>۱</sup>-کرنش و رفتار تنفس-کرنش در ناحیه خطی برای نمونه‌های تهییشده بدون گرافن و با گرافن مقایسه شده‌اند. شب نمودار در ناحیه خطی نشان‌دهنده مدول کشسانی نمونه‌های مورد آزمایش است. همان‌طور که در شکل مشاهده می‌شود با حضور گرافن در هر دو لاستیک و مخلوط آن‌ها، مدول نانوچندسازه افزایش می‌یابد که نشان‌دهنده پراکنش مناسب گرافن‌ها در بستر بسپار و ایجاد

<sup>۱</sup>. Stress



شکل ۵ نمودار تنش-کرنش نانوچندسازهای لاستیک طبیعی (الف)، لاستیک کلروبیوتیل (ب) و مخلوط لاستیک طبیعی/لاستیک کلروبیوتیل (ج)

تفاوت بیشینه و کمینه گشتاور می‌شود. نتیجه‌های به دست آمده از آزمون تورم و آزمون شارش‌سنجدی پخت، افزایش چگالی پیوندهای عرضی به دلیل حضور گرافن را تایید کرد. ریخت-شناشی نمونه‌ها با میکروسکوپ الکترونی روبشی گسیل میدانی (FESEM) نشان‌دهنده پراکنش مناسب نانولایه‌های گرافن در بستر هر یک از دو لاستیک و مخلوط آن‌ها بود. همچنین، برهم‌کنش بیشتر گرافن با NR نسبت به CIIR تایید شد. افزایش مدول ذخیره و گران‌روی مختلط بر حسب بسامد، در ناحیه بسامد کم، بیانگر توزیع یکنواخت نانولایه‌های گرافن در بستر لاستیکی و همچنین، برهم‌کنش‌های مناسب نانولایه‌های گرافن و زنجیر بسپار بود. نتیجه‌های آزمون کششی، بهبود ویژگی‌های مکانیکی هر یک از دو لاستیک و مخلوط آن‌ها را در حضور گرافن نشان داد. به طوری که مدول یانگ با افزودن ۰/۷ phr گرافن به آمیزه‌های NR، CIIR و مخلوط آن‌ها به ترتیب ۴۲، ۴۰ و ۱۶ درصد افزایش یافت. می‌توان بیان کرد که گرافن با پراکنش و برهم‌کنش مناسب در بستر هر دو لاستیک NR و CIIR و در مخلوط آن‌ها، موجب بهبود ویژگی‌های ولکانشی و مکانیکی آن‌ها شد که به کارگیری آن‌ها را برای استفاده در کاربردهای صنعتی مانند لایه داخلی تایر ارتقا می‌دهد.

### سپاسگزاری

از همکاری و مساعدت مسئولین محترم شرکت ایران یاسا و نیز مساعدت آقای مهندس مجتبی خوش منظر و آقای مهندس حسین روشنایی برای انجام آزمون‌های شارش‌سنجدی، تشکر و قدردانی می‌شود.

نتیجه‌های به دست آمده از آزمون ویژگی‌های مکانیکی در جدول ۴ ارایه شده است. همان‌گونه که مشاهده می‌شود حضور گرافن در هر دو لاستیک و مخلوط آن‌ها موجب افزایش مقدار تنش در کرنش‌های یکسان (۱۰۰ و ۳۰۰ درصد) و استحکام کششی می‌شود. مقدار افزایش در نمونه مبتنی بر NR بیشتر از نمونه حاوی CIIR است و در مخلوط دو بسپار، بین دو نمونه خالص است.

جدول ۴ نتیجه‌های به دست آمده از آزمون ویژگی‌های مکانیکی نمونه‌های تهیه شده

استحکام کششی (MPa)	تنش (MPa)		نمونه
	۳۰۰ درصد	۱۰۰ درصد	
۱,۸۰ ± ۰,۱۶	۰,۷۴ ± ۰,۰۲	۰,۳۶ ± ۰,۰۱	NR/0G
۳/۱۹ ± ۰,۱۰	۰,۷۸ ± ۰,۰۲	۰,۴۲ ± ۰,۰۱	NR/0.7G
۱,۷۰ ± ۰,۱۰	۰,۶۳ ± ۰,۰۲	۰,۳۰ ± ۰,۰۲	CIIR/0G
۱,۸۱ ± ۰,۱۵	۰,۶۷ ± ۰,۰۱	۰,۴۲ ± ۰,۰۱	CIIR/0.7G
۵/۲۱ ± ۰,۵۰	۰,۸۰ ± ۰,۰۱	۰,۴۸ ± ۰,۰۰	50NR/0G
۵/۲۶ ± ۰,۲۰	۰,۸۴ ± ۰,۰۴	۰,۴۹ ± ۰,۰۲	50NR/0.7G

### نتیجه‌گیری

آمیزه‌های لاستیک طبیعی (NR)، لاستیک کلروبیوتیل (CIIR) و مخلوط آن‌ها (NR/CIIR) با ترکیب درصد ۵۰/۵۰، حاوی ۰/۷ phr گرافن به روش اختلاط مذاب تهیه شدند. آزمون شارش‌سنجدی پخت نشان داد که حضور گرافن در آمیزه‌ها موجب کاهش زمان برشتگی و زمان بهینه پخت و افزایش

### مراجع

- [1] Gu W, Zhang W, Li X, Zhu H, Wei J, Li Z, et al. Graphene sheets from worm-like exfoliated graphite. *J Mater Chem.* 2009;19(21):3367–9. doi:[10.1039/b904093p](https://doi.org/10.1039/b904093p)
- [2] Sun PZ, Yang Q, Kuang WJ, Stebunov Y V., Xiong WQ, Yu J, et al. Limits on gas impermeability of graphene. *Nature.* 2020;579(7798):229–32. doi:[10.1038/s41586-020-2070-x](https://doi.org/10.1038/s41586-020-2070-x)
- [3] Wolf C, Angellier-Coussy H, Gontard N, Doghieri F, Guillard V. How the shape of fillers affects the barrier properties of polymer/non-

- porous particles nanocomposites: A review. *J Memb Sci.* 2018;556:393–418. doi:[10.1016/j.memsci.2018.03.085](https://doi.org/10.1016/j.memsci.2018.03.085)
- [4] Frasca D, Schulze D, Wachtendorf V, Huth C, Schartel B. Multifunctional multilayer graphene/elastomer nanocomposites. *Eur Polym J.* 2015;71:99–113. doi:[org/10.1016/j.eurpolymj.2015.07.050](https://doi.org/10.1016/j.eurpolymj.2015.07.050)
- [5] Kim H, Abdala AA, MacOsko CW. Graphene/polymer nanocomposites. *Macromolecules.* 2010;43(16):6515–30. doi:[10.1021/ma100572e](https://doi.org/10.1021/ma100572e)
- [6] Hussain F, Hojjati M, Okamoto M, Gorga RE. Polymer-matrix nanocomposites, processing, manufacturing, and application: An overview. *J Compos Mater.* 2006;40(17):1511–75. doi:[10.1177/0021998306067321](https://doi.org/10.1177/0021998306067321)
- [7] Kumar S, Chattopadhyay S, Padmanabhan R, Sreejesh A, Nair S, Unnikrishnan G, et al. Tailoring permeation characteristics of bromobutyl rubber with polyepichlorohydrin and graphene nanoplatelets. *Mater Res Express.* 2015;2(10):105007. doi:[org/10.1088/2053-1591/2/10/105007](https://doi.org/10.1088/2053-1591/2/10/105007)
- [8] Zhang Z, Chen P, Nie W, Xu Y, Zhou Y. Enhanced mechanical, thermal and solvent resistance of silicone rubber reinforced by organosilica nanoparticles modified graphene oxide. *Polymer (Guildf).* 2020;203:122772. doi:[org/10.1016/j.polymer.2020.122772](https://doi.org/10.1016/j.polymer.2020.122772)
- [9] Wang J, Zhang K, Bu Q, Lavorgna M, Xia H. Graphene-rubber nanocomposites: Preparation, Structure, and Properties. In: Kaneko S, Mele P, Endo T, Tsuchiya T, Tanaka K, Yoshimura M, Hul D, editors. Carbon-related materials in recognition of nobel lectures by Prof. Akira Suzuki in ICCE. Cham: Springer International Publishing; 2017. p. 175–209. doi: [10.1007/978-3-319-61651-3\\_9](https://doi.org/10.1007/978-3-319-61651-3_9)
- [10] Frasca D, Schulze D, Böhning M, Krafft B, Schartel B. Multilayer graphene chlorine isobutyl isoprene rubber nanocomposites: Influence of the multilayer graphene concentration on physical and flame-retardant properties. *Rubber Chem Technol.* 2016;89(2):316–34. doi:[10.5254/rct.15.84838](https://doi.org/10.5254/rct.15.84838)
- [11] Sperling LH. *Introduction to Physical Polymer Science.* US: Wiley-Interscience; 2005. doi:[10.1002/0471757128](https://doi.org/10.1002/0471757128)
- [12] Malas A, Das CK. Influence of modified graphite flakes on the physical, thermo-mechanical and barrier properties of butyl rubber. *J Alloys Compd.* 2017;699:38–46. doi:[10.1016/j.jallcom.2016.12.232](https://doi.org/10.1016/j.jallcom.2016.12.232)
- [13] Wu J, Xing W, Huang G, Li H, Tang M, Wu S, et al. Vulcanization kinetics of graphene/natural rubber nanocomposites. *Polymer (Guildf).* 2013;54(13):3314–23. doi:[10.1016/j.polymer.2013.04.044](https://doi.org/10.1016/j.polymer.2013.04.044)
- [14] Malas A, Das CK, Das A, Heinrich G. Development of expanded graphite filled natural rubber vulcanizates in presence and absence of carbon black: Mechanical, thermal and morphological properties. *Mater Des* 2012;39:410–7. doi:[10.1016/j.matdes.2012.03.007](https://doi.org/10.1016/j.matdes.2012.03.007)
- [15] Yang Z, Peng H, Wang W, Liu T. Crystallization behavior of poly( $\epsilon$ -caprolactone)/layered double hydroxide nanocomposites. *J Appl Polym Sci.* 2010;116(5):2658–67. doi:[10.1002/app.30451](https://doi.org/10.1002/app.30451)
- [16] Ismail H, Chia HH. The effects of multifunctional additive and vulcanization systems on silica filled epoxidized natural rubber compounds. *Eur Polym J.* 1998;34(12):1857–63. doi:[10.1016/S0014-3057\(98\)00029-9](https://doi.org/10.1016/S0014-3057(98)00029-9)
- [17] Teh PL, Ishak ZAM, Hashim AS, Karger-Kocsis J, Ishiaku US. Effects of epoxidized natural rubber as a compatibilizer in melt compounded natural rubber-organoclay nanocomposites. *Eur Polym J.* 2004;40(11):2513–21. doi:[10.1016/j.eurpolymj.2004.06.025](https://doi.org/10.1016/j.eurpolymj.2004.06.025)
- [18] Zachariah AK, Chandra AK, Mohammed PK, Parameswaranpillai J, Thomas S. Experiments and modeling of non-linear viscoelastic responses in natural rubber and chlorobutyl rubber nanocomposites. *Appl Clay Sci.* 2016;123:1–10. doi:[org/10.1016/j.clay.2016.01.004](https://doi.org/10.1016/j.clay.2016.01.004)
- [19] Pojanavaraphan T, Schiraldi DA, Magaraphan R. Mechanical, rheological, and swelling

- behavior of natural rubber/montmorillonite aerogels prepared by freeze-drying. *Appl Clay Sci.* 2010;50(2):271–9. doi: org/10.1016/j.clay. 2010.08.020
- [20] Sadeghi Ghari H, Jalali-Arani A. Nanocomposites based on natural rubber, organoclay and nano-calcium carbonate: Study on the structure, cure behavior, static and dynamic-mechanical properties. *Appl Clay Sci.* 2016;119:348–57. doi: org/10.1016/j.clay. 2015.11.001
- [21] Böhning M, Frasca D, Schulze D, Schartel B. Multilayer graphene/elastomer nanocomposites. In: Yaragalla S, Kumar MR, Thomas S, Kalarikkal N, Hanna J, editors. *MariaCarbon-based nanofiller and their rubber nanocomposites*. Elsevier Inc.; 2019. p. 139–200. doi: org/10.1016/B978-0-12-817342-
- 8.00006-8**
- [22] Hernández M, Mar Bernal M, Grande AM, Zhong N, Van Der Zwaag S, García SJ. Effect of graphene content on the restoration of mechanical, electrical and thermal functionalities of a self-healing natural rubber. *Smart Mater Struct.* 2017;26(2). doi:10.1088/1361-665X/aa71f5
- [23] Thuruthil Raju A, Dash B, Dey P, Nair S, Naskar K. Evaluation of air permeability characteristics on the hybridization of carbon black with graphene nanoplatelets in bromobutyl rubber/epoxidized natural rubber composites for inner-liner applications. *Polym Adv Technol.* 2020;31(10):2390–402. doi:10.1088/1361-665X/aa71f5

## بهینه‌سازی شرایط عملیاتی کدورت‌زدایی از شیره انگور رقیق شده با جاذب طبیعی پوست لیمو

امید احمدی

استادیار گروه مهندسی شیمی، دانشکده مهندسی، دانشگاه کردستان، سنندج، ایران.

دریافت: شهریور ۱۴۰۳ بازنگری: آبان ۱۴۰۳ پذیرش: آذر ۱۴۰۳



<https://doi.org/10.30495/JACR1.1403.1129899>

### چکیده

شیره انگور یکی از فراورده‌های غذایی و دارویی ارزشمند است که از عصاره طبیعی انگور به‌دست می‌آید. این ماده سرشار از مواد مغذی و منبع انرژی طبیعی است و ویژگی دارویی متفاوتی دارد. کدورت شیره انگور به وجود ذره‌های معلق، پلی‌ساقاریدها و مواد معلق در آن بستگی دارد. برای بهبود کیفیت شیره و کاهش کدورت آن، جاذب‌های طبیعی به کار می‌روند. در پژوهش حاضر، جاذب طبیعی پوست لیمو برای کاهش کدورت آن به کار گرفته شد. پس از پیش‌آزمایش‌های متفاوت، ۴۰ میلی‌لیتر از شیره انگور با  $10^{\circ}\text{Bx}$  با مقدار جذب اولیه  $2/874 \text{ a.u.}$  تا  $2/874 \text{ rpm}$  از جاذب طبیعی پوست لیمو و با روش سطح پاسخ در بازه دمای  $20^{\circ}\text{C}$  تا  $60^{\circ}\text{C}$  درجه سلسیوس و سرعت همزدن  $200 \text{ rpm}$  فرایند بر جذب به مدت ۴ ساعت انجام شد. پس از بهینه‌سازی، نتیجه‌ها نشان داد دمای  $35^{\circ}\text{C}$  درجه سلسیوس و دور همزدن  $380 \text{ rpm}$  مناسب‌ترین حالت در فرایند کدورت‌زدایی بود. در این حالت بیشترین درصد حذف با مقدار تقریبی ۵۸ درصد به‌دست آمد. نتیجه‌های به‌دست آمده از بریکس سنج، تفاوت نامحسوسی از بریکس نهایی با اولیه را نشان داد ( $9^{\circ}\text{ درصد کاهش}$ ). با توجه به نتیجه‌های به‌دست آمده از تجزیه DLS، میانگین اندازه ذره‌ها پیش و پس از فرایند بر جذب به ترتیب  $5000$  و  $3000$  نانومتر و شاخص پراکندگی  $1$  و  $8/46$  به‌دست آمد. همچنین، اثر جرم جاذب و زمان فرایند بر جذب کدورت‌زدایی نیز بررسی شد که نسبت به‌حالت بهینه تفاوت چندانی نداشت.

**واژه‌های کلیدی:** جاذب طبیعی، پوست لیمو، شیره انگور، کدورت‌زدایی، بهینه‌سازی، طراحی آزمایش

### مقدمه

آرمانی برای مصرف انسانی تبدیل کرده است. با این حال، چالش‌های جدی در زمینه کیفیت و پایداری شیره انگور وجود دارد که یکی از مهم‌ترین آن‌ها کدورت است [۱]. کدورت شیره انگور به طور معمول ناشی از ذره‌های معلق، پروتئین‌ها و ترکیب‌های غیر محلول در این فراورده است که تأثیرهای منفی بر

شیره انگور به عنوان یکی از مهم‌ترین و محبوب‌ترین فراورده‌های غذایی در بسیاری از فرهنگ‌ها شناخته می‌شود. غنای بالای این فراورده از نظر مواد مغذی، طعم خوشمزه و کاربرد گسترده آن در تهیه انواع خوارکی‌ها، آن را به یک گزینه

است و در آن برخی از اجزاء از سیال به سطح یک جاذب جامد منتقل می‌شود. به طور معمول ذرهای ریز جاذب در بستر ثابتی نگهداشته شده و سیال به صورت پیوسته از میان بستر عبور داده می‌شود. با سیرشدن این بستر حاوی جاذب، توانایی جداسازی آن کاهش می‌یابد [۱۳]. بهینه‌سازی شرایط زدودن کدورت و به کارگیری روش‌های طبیعی و اقتصادی یکی از نیازهای پایه در صنعت فراوری شیره انگور بشمار می‌آید [۱۰]. دما، زمان، جرم جاذب، pH، غلظت و عامل‌های دیگر هر کدام اثرگذاری ویژه‌ای بر فرایند نهایی کدورت‌زدایی دارند [۱۴ و ۱۵].

پژوهش‌های بسیاری در زمینه استفاده از جاذب‌های طبیعی برای تصفیه، رنگزدایی و کدورت‌زدایی مواد غذایی انجام شده است، ولی تمرکز ویژه بر استفاده از پوست لیمو برای کدورت‌زدایی شیره انگور تاکنون بررسی نشده است. در پژوهش حاضر، با به کارگیری پوست لیمو برای کدورت‌زدایی شیره انگور، سعی شد، کیفیت شیره انگور بهبود یابد. از این‌رو، پس از مطالعه منابع مشابه و پیشینه و بهره‌گیری از روش طراحی آزمایش، پژوهش در سه بخش اصلی انجام شد که شامل بهینه‌سازی دمای گرمکن و دور همزن برای حذف کدورت از شیره انگور با جاذب طبیعی پوست لیمو، بررسی اثر مقدار جاذب بر کدورت‌زدایی و بررسی اثر زمان فرایند بر جذب بر کاهش کدورت شیره انگور بود.

### بخش تجربی

#### مواد

شیره انگور و میوه لیمو به عنوان ماده اولیه در پژوهش حاضر از بازارهای محلی شهرستان سنتج تهیه شد. آب دوبار تقطیر و یون‌زدوده خردباری شده از شرکت زلال طب شیمی، به عنوان ماده پایه برای رقیق‌سازی شیره انگور استفاده شد. کاغذ‌صافی واتمن شماره ۴۰ برای جداسازی جاذب طبیعی و نمونه کدورت‌زدایی شده، به کاربرده شد.

خوش‌طعمی و کیفیت ظاهری آن دارند [۲]. رنگ و کدورت به موازات طعم و مزه و شکل و اندازه یکی از مهم‌ترین ویژگی‌های حسی مواد غذایی را تشکیل می‌دهد و مصرف کننده ابتدا کیفیت را با رنگ ارزیابی می‌کند. تجربه به انسان القا کرده است که رنگ، با کیفیت و ویژگی‌های حسی رابطه مستقیم دارد [۳].

به طور معمول کدورت شیره انگور با روش‌های فیزیکی و شیمیایی حذف می‌شود [۴]. این روش‌ها می‌توانند هزینه‌های بالایی داشته باشند و به برخی از مواد شیمیایی مضر متکی باشند [۵]. به کارگیری جاذب‌های طبیعی به عنوان یک راهکار پایدار و مؤثر در این زمینه معرفی شده‌اند، به ویژه جاذب‌هایی که می‌توانند به خوبی با ذرهای کدورت در شیره انگور واکنش نشان دهند [۶]. جاذب‌های طبیعی به دلیل زیست‌تخریب‌پذیری، تجدیدپذیری و هزینه پایین، گزینه مناسب‌تری نسبت به سایر جاذب‌ها هستند و تمایل بیشتری برای استفاده از آن‌ها وجود دارد [۷]. از جاذب‌های طبیعی می‌توان به پوست موز، پرتقال و لیمو اشاره کرد [۸]. ماده سفیدی که در بخش زیرین پوست پرنتال و لیمو وجود دارد پادرسṭان است و می‌تواند برای جذب رنگ، کدورت و پکتین نیز استفاده شود [۹]. یکی از جاذب‌های طبیعی مورد توجه در سال‌های اخیر، پوست لیمو است که به دلیل ویژگی‌های شیمیایی و فیزیکی خود می‌تواند عملکرد خوبی در جذب ذرهای معلق و کدورت شیره انگور داشته باشد [۱۰]. بررسی‌ها نشان داده است که فرایند جذب با پوست لیمو می‌تواند نتیجه‌های اثر بخشی را در حذف کدورت از نوشیدنی‌ها نشان دهد [۱۱]. پوست لیمو حاوی ترکیب‌هایی چون سیترون و فلاونوئیدها است که می‌تواند به کاهش کدورت شیره کمک کند. افزون‌براین، استفاده از پوست لیمو به عنوان یک جاذب طبیعی به لحاظ اقتصادی و زیست‌محیطی سیار مناسب است و به کاهش ضایعات کشاورزی کمک می‌کند [۱۲].

کاهش کدورت با جاذب‌های طبیعی به وسیله فرایند بر جذب<sup>۱</sup> انجام می‌گیرد که فرایند جداسازی مناسبی در صنعت

<sup>۱</sup>. Adsorption

## روش‌ها

آمده‌سازی شیره انگور

شیره انگور تهیه شده دارای غلظت و بریکس بالای (قریباً  $75^{\circ}\text{Bx}$ ) بود. استفاده و ارزیابی ماده با بریکس بالا امکان ناپذیر است، به همین علت غلظت شیره انگور با آب مقطر کاهش داده شد و رقیق‌سازی انجام گرفت. با توجه به پژوهش‌های پیشین [۱۶]، غلظت در فرایند کدورت‌زدایی مقدار  $10^{\circ}\text{Bx}$  انتخاب شد و شیره انگور تا این مقدار رقیق شد.

## جادب طبیعی پوست / لیمو

پوست میوه لیمو پس از جداسازی از آن گوشته آن به عنوان ماده اولیه برای ساخت جاذب طبیعی استفاده شد، به طوری که پس از خشک کردن آن در دمای ۵۵ درجه سلسیوس در آون آزمایشگاهی، با توجه به اینکه جاذب‌های مورداستفاده به طور معمول اندازه‌هایی بین ۵۵ میکرومتر تا ۱۰ میلی‌متر دارند، در پژوهش حاضر پوست لیمو خشک شده با الکهای صنعتی به اندازه‌های یکسان ۱/۵ میلی‌متر تبدیل شد.

## طراحی آزمایش و تجزیه و تحلیل آماری

مهم‌ترین بخش پژوهش حاضر، بررسی آثار اصلی و اثر متقابل متغیرهای انتخاب شده برای بهینه‌سازی شرایط حذف رنگ و کدورت از شیره شربت انگور بود. از این‌رو، طرح آماری سطح پاسخ انتخاب شد. پژوهشگران متفاوتی نیز از این روش برای بهینه‌سازی مقادیر و کاهش تعداد آزمایش‌ها استفاده کرده‌اند [۱۷ تا ۱۹]. در این پژوهش، برای حذف رنگ و کدورت از شربت شیره انگور، متغیرهای عملیاتی متفاوتی شامل دمای گرمادهی گرمن و دور همزن آن، زمان فرایند برجدب، جرم جاذب و pH به طور کامل بر نتیجه نهایی اثرگذار بودند. از این‌رو، دو عامل دمای گرمادهی گرمن و دور همزن برای بهینه‌سازی و طراحی آزمایش انتخاب شدند تا پایین‌ترین کدورت شیره انگور به دست آید.

مقدارهای ثابت مورداستفاده در طراحی آزمایش، حجم شربت شیره انگور ( $40$  میلی‌لیتر)، جرم جاذب ( $1$  گرم)، زمان فرایند برجدب ( $4$  ساعت) بودند که برای همه نمونه‌های طراحی آزمایش اعمال شدند. با توجه به درنظرگرفتن دو متغیر عملیاتی دمای گرمادهی با گرمکن همزن دار (گستره  $20$  الی  $60$  درجه سلسیوس) و دور همزن (گستره  $200$  الی  $600$  دور در دقیقه)،  $13$  آزمایش انجام شد که در هر ظرف به مقدار یکسانی شیره انگور و جاذب در مدت زمان ثابتی در تبادل با یکدیگر بودند. برای تعیین ویژگی‌های نهایی شیره انگور کدورت-زادایی شده، اثر دما و دور همزن بر مقدار حذف کدورت بررسی شد. برای این دو متغیر (دما و دور همزن)، تعداد آزمایش‌ها برای بهینه‌سازی با این روش و به کارگیری سامانه غیرکد،  $13$  بود که فقط مرکزی برای تخمین خطای آزمایش،  $5$  بار تکرار شد. مزیت  $5$  بار تکرار آزمایش نقطه مرکزی، برای تکرار پذیر بودن و دست‌یافتن به نتیجه قطعی در آزمایش بود. برای طراحی آزمایش به روش سطح پاسخ، روش طرح مرکزی ( $\text{CCD}^1$ ) به کار گرفته شد. برپایه این روش ضرایب به صورت یک معادله ریاضی نوشته و پاسخ پیش‌بینی شد (معادله  $1$ ).

$$Y = b_0 + b_1 X_1 + b_2 X_2 + b_{11} X_1^2 + b_{22} X_2^2 + b_{12} X_1 X_2 \quad (1)$$

که در آن  $Y$  متغیر وابسته (درصد حذف کدورت)،  $X_1$  دما و  $X_2$  دور همزن است.  $b_0$  ضریب ثابت، ضرایب  $\beta_1$  و  $\beta_2$  اثرهای خطی (درجه اول)،  $\beta_{11}$  و  $\beta_{22}$  اثرهای مربعی (درجه دوم) و  $\beta_{12}$  اثرهای متقابل یا برهمنکش دما و دور همزن است. برای تجزیه و تحلیل آماری داده‌ها، تحلیل وردایی ( $\text{ANOVA}^2$ ) و روش آماری آزمون  $t$  برای مقایسه داده‌ها به کار گرفته شد. در این مدل  $P < 0.05$  به عنوان مقدارهای آماری معنی دار درنظر گرفته می‌شود و جملاتی که دارای  $P > 0.05$  باشند، به عنوان نتیجه‌هایی بی معنی و غیر اثربدار تلقی می‌شوند. مقدار  $P < 0.05$  بدین

<sup>1</sup>. Central Composite Design

<sup>2</sup>. Analysis of Variance

پیش از فرایند بر جذب با شکست‌سنجد<sup>۲</sup> مدل Agato ساخت ژاپن ارزیابی شد. برای بررسی برگشت‌پذیربودن اثر جاذب، پوست لیمو طبیعی انتخاب شده، در شرایط دمایی ۵۵ درجه سلسیوس در آون خشک و با هاون چینی پودر شد. سطح ویژه آن به روش BET JW-BK132F با دستگاه BET ارزیابی و با سطح ویژه نمونه اولیه مقایسه شد.

$$(2) \quad (Y_1 - Y_2) / Y_1 \times 100 = \text{درصد حذف کدورت}$$

### نتیجه‌ها و بحث مدل سطح‌پاسخ

طراحی آزمایش انجام گرفته برپایه طرح مرکزی و سطح‌پاسخ بود. دو متغیر مستقل در نظر گرفته شده شامل دمای گرمکن و دور همزن بود. ۱۳ آزمایش انجام گرفته به همراه نتیجه‌های مربوط عملی و پیش‌بینی شده با مدل به دست آمده در جدول ۱ گزارش شده است. مقدار کدورت شیره انگور در طول موج ۶۲۵ نانومتر بررسی شد و مقدار ۲/۸۷۴ واحد جذب به دست آمد. درصد حذف کدورت با معادله ۲ محاسبه شد.

اعتبارسنجی متغیرهای مستقل در نظر گرفته شده در طراحی آزمایش نشان داد که برای اثر دما در حالت درجه اول درصد حذف کدورت شیره انگور معنی‌دار و مقدار p برابر با ۰/۰۰۱ بود، ولی دور همزن با مقدار p بالاتر از ۰/۱۳۷ اثرگذاری مستقیمی بر شیره انگور نداشت (جدول ۲). اثرهای درجه دوم برای درصد حذف معنی‌دار بود و مقدار p برای متغیر دما ۰/۰۰۰۰ و متغیر سرعت همزدن ۰/۰۰۵ به دست آمد. اثرهای متقابل دو متغیر بر درصد حذف کدورت معنی‌دار نبود و مقدار p برابر با ۰/۷۰۲ بود. این نتیجه‌ها نشان داد متغیرهای در نظر گرفته شده به درستی انتخاب شده بودند.

معناست که مدل ارائه و استخراج شده با احتمال ۹۵ درصد پذیرفته می‌شود. مقدار <sup>۲</sup>R نیز معیار خوبی برای ارزیابی مناسب‌بودن یک مدل است. هرچه مقدار این عدد به یک نزدیک‌تر باشد، دلالت بر دقیق‌بودن مدل در پیش‌بینی رفتار متغیرهای مستقل بر متغیر وابسته دارد.

غربال‌گری جرم جاذب مورد استفاده و زمان فرایند کدورت‌زدایی پس از بهینه‌سازی شرایط عملیاتی شامل دمای گرمکن و دور همزن برای فرایند کدورت‌زدایی، برای بررسی اثر جرم جاذب، مقادیر وزنی متفاوتی از جاذب طبیعی پوست لیمو به مقدار ۰/۱، ۰/۵، ۱، ۲، ۵ و ۱۰ گرم به ۴۰ میلی‌لیتر شیره انگور رقیق شده افزوده شد و نمونه‌ها به صورت جداگانه بر گرمکن همزن دار با دور، دما و زمان بهینه به دست آمده از طراحی آزمایش قرار داده شد و مقدار کدورت با توجه به روش بیان شده اندازه‌گیری شد. پس از به دست آوردن بهترین جرم جاذب طبیعی مورد استفاده با بالاترین مقدار کدورت‌زدایی، زمان فرایند حذف کدورت و بر جذب در ۷ سطح متفاوت ۱، ۲، ۳، ۴، ۵، ۶، ۷ و ۸ ساعت ارزیابی شد. نمونه‌ها در دور و دمای بهینه به دست آمده از بخش بهینه‌سازی با طراحی آزمایش، بر روی گرمکن همزن دار قرارداده شدند و در نهایت زمان مناسب فرایند کدورت‌زدایی به دست آمد.

روش‌های تعیین مقدار کدورت و ویژگی‌های فیزیکی مقدار جذب اولیه شیره انگور و همچنین، نمونه‌های به دست آمده برپایه طراحی آزمایش، با روش جذب UV-Vis با دستگاه Jenway مدل ۶۷۰۵ در طول موج ۶۲۵ نانومتر برای بررسی مقدار کدورت، ارزیابی و با معادله ۲، درصد حذف آن گزارش شد. برای تعیین میانگین اندازه ذره‌ها از تجزیه پراکندگی نور دینامیکی<sup>۱</sup> (DLS) که روشی غیرمخرب و فیزیکی است، دستگاه Malvern ساخت انگلستان به کار گرفته شد. بریکس نمونه بهینه نهایی و مقایسه آن با نمونه اولیه،

<sup>۱</sup>. Dynamic Light Scattering

<sup>2</sup>. Refractometer

جدول ۳ ضریب‌های چندجمله‌ای درجه دوم همراه با ضریب‌های برآشی برای هر متغیر وابسته در حذف کدورت از شربت شیره انگور

غلظت (Y) (گرم بر میلی لیتر)	ضریب‌ها
-۳۷,۵۰۰	ثابت ( $b_0$ )
۳,۱۶۵	اثرهای درجه اول خطی ( $b_1$ و $b_2$ )
۰,۲۱۷	
-۸,۵۶۷	درجه دوم ( $b_{11}$ و $b_{22}$ )
-۲,۰۴۰	
-۰,۰۴۳	اثرهای متقابل (برهم‌کنش) ( $b_{12}$ )
۰,۹۴	$R^2$

پس از بهدست آمدن ضریب‌های  $\beta$  (ضریب‌های ثابت، درجه اول، دوم و اثرهای متقابل) و قراردادن آن‌ها در معادله ۱، به راحتی می‌توان ارتباط بین متغیرهای مستقل (دما و سرعت همزدن) و وابسته (درصد حذف کدورت) را ایجاد کرد و با معادله‌های بهدست آمده به پیش‌بینی خروجی و عده‌های مربوط به متغیر وابسته دست یافت. اطمینان از نتیجه‌های بهدست آمده وابسته به مقدار  $R^2$  است که هرچقدر این عبارت نزدیک به ۱ باشد، نتیجه بهدست آمده اطمینان بیشتری دارد. مقدار  $R^2$  برای مدل بهدست آمده برابر با ۰,۹۴ بود (جدول ۳) که نشان می‌دهد مدل‌های بهدست آمده پیش‌بینی بهنسبت دقیقی از خروجی داشته‌اند.

#### تأثیر عامل‌های موثر

پس از بهدست آمدن نقاط و بازه‌های تأثیرگذار و یافتن ضریب تأثیر آن‌ها، نمودارهای خروجی متفاوت شامل متغیرهای تعیین شده در طراحی آزمایش، به صورت جداگانه رسم شد.

اثرهای دما و سرعت همزدن بر درصد حذف شیره انگور متغیرهای مستقل در نظر گرفته شده که شامل سرعت همزدن و دمای گرمکن هستند، اثرگذاری‌های متفاوتی بر

جدول ۱ طراحی آزمایش انجام گرفته و نتیجه‌های مربوط به هر کدام از متغیرهای مستقل به همراه نتیجه‌های پیش‌بینی شده با مدل

متغیرهای مستقل	متغیرهای وابسته	شماره آزمایش
درصد حذف کدورت	سرعت همزدن	دما
۵۱,۵۴	۵۲,۷۶	۵۴۰
۳۶,۲۲	۳۴,۷۳	۲۶۰
۵۶,۴۵	۵۶,۳۱	۴۰۰
۵۶,۴۵	۵۶,۷۴	۴۰۰
۵۶,۴۵	۵۶,۴۹	۴۰۰
۳۲,۵۱	۳۱,۵۹	۵۴۰
۳۰,۳۰	۳۲,۶۷	۴۰۰
۵۱,۵۲	۵۳,۰۲	۲۶۰
۵۶,۴۵	۵۶,۰۷	۴۰۰
۵۶,۴۵	۵۶,۶۴	۴۰۰
۴۸,۵۷	۴۹,۶۲	۲۰۰
۴۴,۶۲	۴۳,۵۹	۴۰۰
۴۰,۵۲	۳۹,۹۱	۶۰۰

جدول ۲ مقادیر p مربوط به رنگزدایی از شیره انگور  
(اثرهای خطی، درجه دوم و برهم‌کنش)

اثرها	متغیرهای مستقل	مقدار p
اثرهای درجه اول (خطی)	(X <sub>1</sub> ) دما	۰,۰۰۱
سرعت همزدن (X <sub>2</sub> )		۰,۱۳۷
اثرهای درجه دوم	X <sub>1</sub> <sup>2</sup>	۰,۰۰۰
اثرهای متقابل (برهم‌کنش)	X <sub>2</sub> <sup>2</sup>	۰,۰۰۵
	X <sub>1</sub> X <sub>2</sub>	۰,۷۰۲

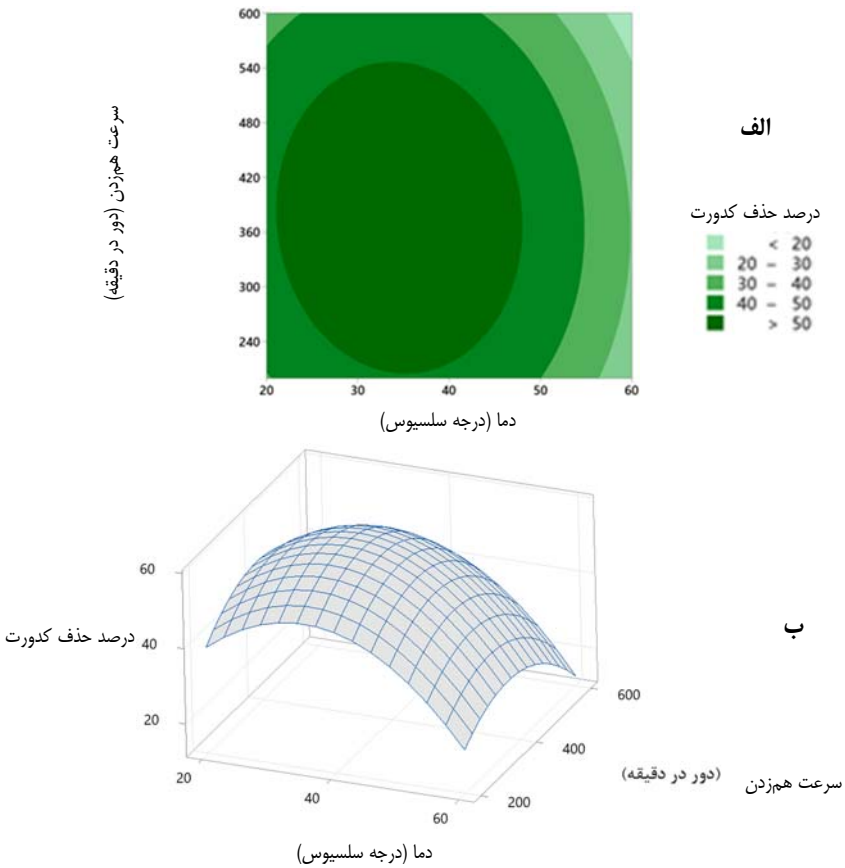
یکی از اهداف کلی در بهینه‌سازی انجام گرفته، بهدست آوردن رابطه کلی برای ارتباط پاسخ‌های درنظر گرفته شده (متغیرهای وابسته) با متغیر مستقل درنظر گرفته شده بود که تحت ضریب‌های معادله کلی درجه دوم بهدست می‌آید. نتیجه‌های مربوط در جدول ۳ گزارش شده است.

تغییر در ویژگی آن منجر شود. به همین دلیل، انتخاب دور همزن باید به‌گونه‌ای باشد که همزمان با افزایش تماس، از آسیب به جاذب جلوگیری شود. به نظر می‌رسد با افزایش سرعت همزدن سطح جاذب آسیب‌پذیرتر بوده و تحت تنشی‌های فیزیکی قرار گرفته و در نهایت منجر به کاهش توانایی آن در کاهش کدورت شیره انگور می‌شود. در فرایند بر جذب پژوهش حاضر، شیره انگور به سطح جاذب (پوست لیمو) چسبیده و این چسبندگی به طور معمول به خاطر نیروهای واندروالس و نیروهای پیوندی بین مواد متفاوت است. بر جذب می‌تواند به دو شکل فیزیکی و شیمیایی باشد. در حالت فیزیکی، ذره‌های معلق از طریق نیروهای الکتروستاتیکی یا نیروهای واندروالس به سطح جاذب چسبیده و در نتیجه کدورت کاهش می‌یابد که افزایش تنشی‌های به دست آمده از سرعت همزدن بیشتر، پیوندی‌های ایجاد شده را تحت الشاعع قرار داده که در نهایت منجر به کاهش درصد حذف کدورت می‌شود. با مقایسه اثر دو متغیر دما و سرعت همزدن بر درصد حذف کدورت شیره انگور، دما عامل اثرگذاری بوده که با توجه به مقدار  $p$  (جدول ۲)، این مقدار هم در اثرهای خطی و هم درجه دوم معنی دار بود، در حالی که سرعت همزدن فقط در اثرهای درجه دوم معنی دار و اثرگذار بود. در شکل ۱-الف که نمودار دو بعدی اثرهای متغیرهای مستقل بر درصد حذف کدورت شیره انگور را نشان می‌دهد، بیشینه و کمینه درصد حذف کدورت شیره انگور قابل مشاهده است. این شکل نقاط بیشینه درصد حذف کدورت (کمترین کدورت فراورده نهایی) را با مقدار بیشتر از ۵۰ درصد با رنگ سبز پررنگ در گستره تقریبی دمایی بیشتر از ۲۰ و کمتر از ۵۰ درجه سلسیوس و گستره تقریبی سرعت همزدن را بیشتر از ۲۰۰ و کمتر از ۵۴۰ دور در دقیقه، نشان می‌دهد. به نظر می‌رسد هر دو عامل انتخاب شده بر حذف کدورت اثرگذار و کاهش و افزایش آن‌ها ارتباط مستقیمی بر کدورت نهایی فراورده داشته است. همچنین، بیشترین کدورت شیره انگور (کمترین درصد حذف کدورت) با مقدارهای کمتر از ۲۰ درصد حذف، در رؤس حدی

درصد حذف کدورت شیره انگور با جاذب طبیعی پوست لیمو داشتند. این اثرا بر درصد حذف کدورت شیره انگور در نمودارهای متفاوت دو و سه بعدی سطح پاسخ در شکل ۱ نشان داده شده است. با توجه به شکل ۱، در مقادیر ثابت و بالای سرعت همزدن با افزایش دمای فرایند، درصد کدورت‌زدایی ابتدا افزایش و سپس کاهش محسوسی داشت. همچنین، در مقادیر پایین و ثابت همزدن نیز روندی به تقریب مشابه قابل روئیت است، به عبارتی هر چقدر دما افزایش پیدا کند، درصد حذف کدورت کاهش پیدا کرده است. در فرایند بر جذب، دما می‌تواند تأثیری بر ظرفیت جذب و کارایی جاذب داشته باشد. به طور کلی، در دماهای پایین، حرکت‌های مولکولی کاهش می‌یابد و این می‌تواند منجر به افزایش زمان تماس و بهبودی در جذب شود. به طور معمول دماهای پایین‌تر به طور معمول نتیجه حفظ ویژگی جاذب و بهبود جذب می‌شوند. بنابراین، برای بهینه‌سازی فرایند بر جذب، دماهای پایین‌تر به طور معمول نتیجه بهتری خواهند داد. به همین خاطر به نظر می‌رسد افزایش دمای فرایند تا حدی برای کدورت‌زدایی مطلوب و مناسب بود، ولی از بازه‌ای به بعد نتیجه عکس داشت. در مقادیر ثابت و پایین دما، افزایش سرعت همزدن تأثیر آنچنانی در درصد حذف کدورت از خود نشان نداد و با درصد حذف کدورت به تقریب ثابت بود. به نظر می‌رسد در دماهای پایین مولکول‌های عامل کدورت موجود در شیره انگور از توان کافی برای حرکت و جذب بر سطح جاذب طبیعی پوست لیمو نداشته و به همین علت افزایش سرعت همزدن، تأثیرگذار نبود، ولی در مقادیر ثابت و بالای دمای فرایند، افزایش دور همزن در بازه‌ای موجب افزایش و در ادامه موجب کاهش درصد حذف کدورت شده بود. در فرایند بر جذب، همزدن می‌تواند تأثیر زیادی بر سرعت و کارایی جذب داشته باشد. اگر دور همزن بالا باشد، این عامل می‌تواند منجر به افزایش تماس بین جاذب (پوست لیمو) و شیره انگور شود و به این ترتیب زمان جذب کوتاه‌تر می‌شود. با این حال، همزدن بسیار زیاد هم می‌تواند به آسیب رساندن به ساختار جاذب و

سرعت همزدن (۲۴۰ و ۶۰۰ دور بر دقیقه) است.

و یا به عبارتی در بیشترین دما (۶۰ درجه سلسیوس) و کمترین



شکل ۱ نمودارهای دو (الف) و سه بعدی (ب) سطح پاسخ برای درصد حذف کدورت شیره انگور برپایه متغیرهای دما و دور همزدن

به حذف تقریبی ۵۸ درصد از کدورت شیره انگور می‌شد. این نتیجه‌ها باستی راستی آزمایی و صحبت‌سنجدی می‌شد. در بخش بعد این موردها گزارش شده است.

بررسی ویژگی شیره انگور کدورت‌زدایی شده در شرایط بهینه پس از انجام آزمایش‌های مربوط به صحبت‌سنجدی طراحی آزمایش، نتیجه‌های حاکی از آن بود که با مقابله نتیجه‌های پیش‌بینی شده و نتیجه‌های به دست آمده از انجام آزمایش‌ها، تفاوت معناداری بین داده‌های پیش‌بینی شده با نتیجه‌های آزمایشگاهی

بهینه‌سازی عامل‌های انتخاب شده برای حذف کدورت شیره انگور

پس از تحلیل نتیجه‌های به دست آمده از طراحی آزمایش، بررسی آماری و تحلیل‌های انجام گرفته از اثرهای دما و سرعت همزدن بر درصد حذف کدورت، بهینه‌سازی عددی انجام گرفت. نقطه بهینه به دست آمده از طراحی آزمایش، مربوط به دمای گرمادهی تقریبی ۳۵ درجه سلسیوس و سرعت همزدن تقریبی ۳۷۸ دور در دقیقه بود. به بیان دیگر، انجام فرایند بر جذب با جاذب طبیعی پوست لیمو در این حالت، باستی منجر

است. همان‌طور که در شکل‌های ۳-الف و ب مشاهده می‌شود، میانگین اندازه ذره‌های شیره انگور پیش از فرایند کاهش کدورت به طور تقریبی ۵۰۰۰ نانومتر بوده که پس از عملیات کدورت‌زدایی آن با جاذب طبیعی پوست لیمو مورد استفاده، میانگین اندازه ذره‌ها به طور تقریبی با کاهش ۱۰۰۰ نانومتر به مقدار میانگین ۴۰۰۰ نانومتر (۲۰ درصد کاهش) رسیده است. با کاهش کدورت، شیره انگور کاربردهای مناسب‌تر و بهتری خواهد داشت. همچنین، همزمان با انجام تجزیه پراکندگی نور دینامیکی عامل مهم شاخص پراکندگی (PDI) نیز ارزیابی شد. نتیجه‌ها نشان داد که شیره انگور رقیق شده پیش از فرایند حذف کدورت دارای شاخص پراکندگی ۱ و پس از فرایند این شاخص ۰/۸۶۶ بدست آمد. شاخص پراکندگی عددی بدون بعد است که در بازه ۰ تا ۱ تغییر می‌کند و این تغییر هرچقدر به ۰ نزدیکتر باشد، نشان‌دهنده توزیع مناسب ذره‌ها و یکنواختی آن‌ها است و بر عکس هرچقدر به ۱ نزدیک باشد، نشان‌دهنده غیریکنواختی و غیریکسان بودن ذره‌ها است. نتیجه‌ها نشان داد که پیش از فرایند بر جذب، به طور کامل ذره‌های معلق در محلول غیریکسان و غیریکنواخت بودند، در حالی که پس از فرایند بر جذب، ذره‌ها نسبت به حالت اولیه به تقریب یکنواخت بودند.

سطح ویژه جاذب پیش و پس از فرایند کدورت‌زدایی برای بررسی قابلیت استفاده دوباره پیش از انجام فرایند بر جذب و کدورت زدایی از شیره انگور، سطح ویژه جاذب پوست لیمو ۴۸/۶۷ متر مربع بر گرم بود و پس از انجام فرایند کدورت‌زدایی در نقطه بهینه و خشک کردن جاذب برپایه شرایط بیان شده در بخش پیشین، سطح ویژه جاذب با کاهش ۶۱/۴۳ درصد به مقدار ۱۸/۷۷ متر مربع بر گرم رسید. از این‌رو، قابلیت به کارگیری دوباره برای انجام فرایند کدورت‌زدایی را نداشت. دلایل بسیاری را می‌توان برای این پدیده در نظر گرفت که می‌توان به آلودگی و تجزیه، کاهش کارایی و نقص فیزیکی و تغییرهای شیمیایی آن اشاره کرد. افزون‌برآن، فرایند تمیزکردن و احیای جاذب پوست لیمو به طور معمول هزینه‌بر و زمان‌بر است و مقرر نیست.

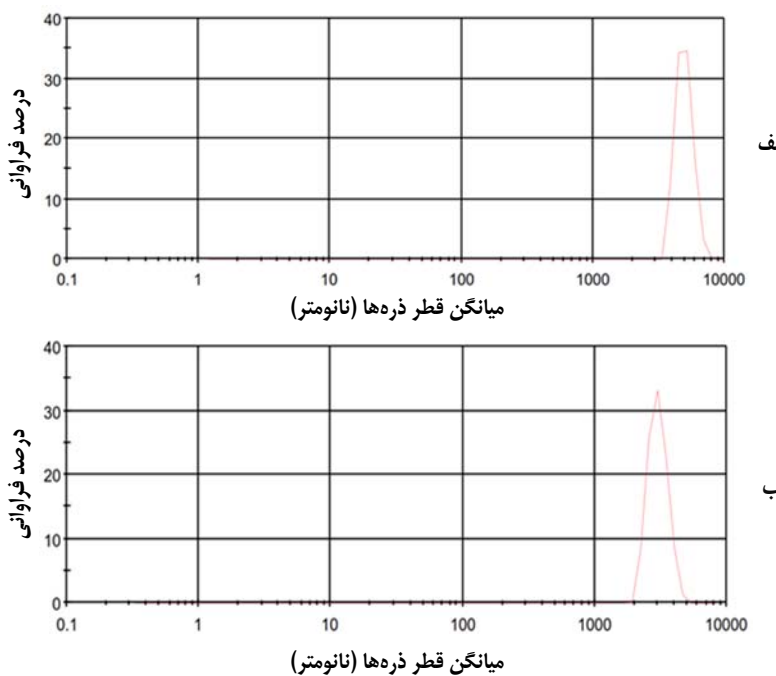
وجود نداشت، به طوری که درصد حذف کدورت شیره انگور ۵۷/۳۱ به دست آمد که نسبت به نتیجه‌های پیش‌بینی شده به سیله بهینه‌سازی با نرم‌افزار، خطای ۱ درصد مشاهده شد. بنابراین، مدل‌های به دست آمده تائید شد و به درستی توانستند اثرهای متغیرهای مستقل را بر متغیر وابسته در گستره موردنظر مشخص کنند. حالت ظاهری اشیره انگور رقیق شده پیش (الف) و پس (ب) از فرایند کدورت‌زدایی با جاذب طبیعی پوست لیمو در شکل ۲ نشان داده شده است.



شکل ۲ شکل ظاهری اشیره انگور  
رقیق شده پیش (الف) و پس (ب) از فرایند  
کدورت‌زدایی با جاذب طبیعی پوست لیمو

بریکس نمونه کدورت‌زدایی شده و مقایسه آن با نمونه اولیه بریکس نمونه بهینه به دست آمده از طراحی آزمایش و تجزیه و تحلیل آماری، اندازه‌گیری شد و مقدار ۹/۱۰ BX به دست آمد، به نظر می‌رسد حذف به تقریب ۵۸ درصد کدورت از شیره انگور با جاذب طبیعی پوست لیمو، اثر معناداری بر بریکس نگذاشته و کاهش بسیار کمی در بریکس نمونه نهایی (۹ درصد) رخ داده است.

روش پراکندگی نور دینامیکی (DLS) برای بررسی میانگین اندازه ذره و شاخص پراکندگی مقدار جذب نور عبوری در دو حالت نمونه شیره انگور پیش و پس از عملیات کدورت‌زدایی با فرایند بر جذب، ارزیابی شد که نتیجه‌های آن در شکل‌های ۳-الف و ب گزارش شده

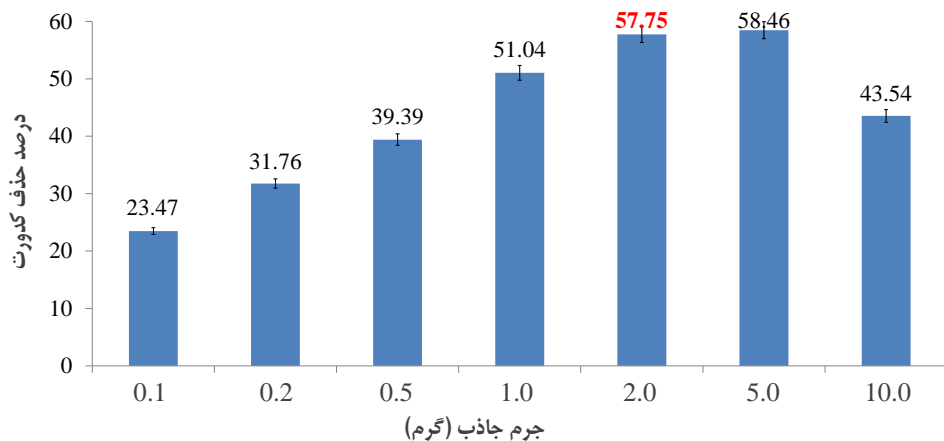


شکل ۳ پراکندگی نور دینامیکی (DLS) شیره انگور پیش (الف) و پس (ب) از فرایند کدورت‌زدایی

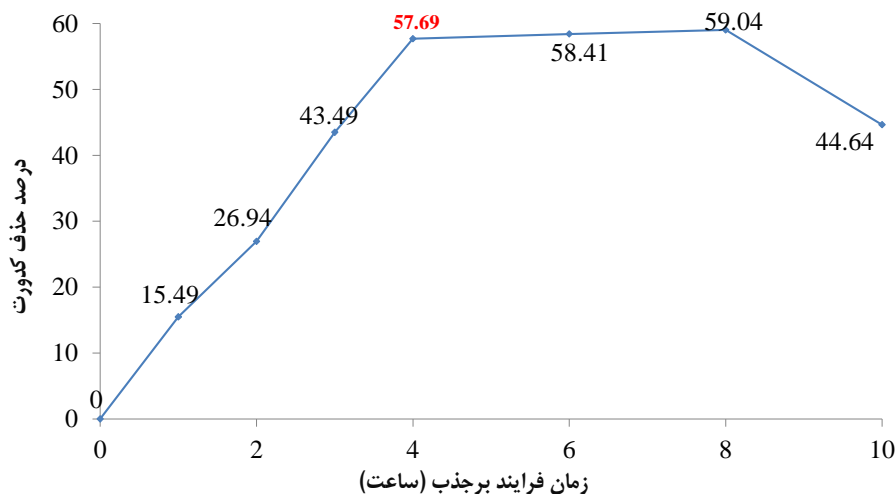
کدورت موجود در شیره را نداشت و در نتیجه نمی‌توانست به طور مؤثر کدورت را کاهش دهد. در مقدارهای وزنی بالای جاذب نیز به دلیل پراکندگی نامناسب بین جاذب، ممکن است جاذب‌ها به طور یک‌باخت پخش نشوند و برخی مناطق شیره بدون جاذب باقی بمانند. این عدم توزیع مناسب می‌تواند منجر به کاهش کارایی فرایند کدورت‌زدایی شود. به علت محدودیت انتقال جرم نیز ممکن است انتقال جرم بین ذره‌های کدورت و جاذب، کاهش یابد. در این حالت، ذره‌های عامل ایجاد کدورت در شیره انگور نمی‌توانند به جاذب نزدیک شوند و درنتیجه جذب انجام نمی‌شود. در مقدار وزنی ۵ گرم نسبت به ۲ گرم، افزایش جزئی در حذف کدورت مشاهده شد (۱۲۱ (درصد) که به نظر می‌رسد با  $\frac{2}{5}$  برابر کردن جرم جاذب، افزایش  $\frac{1}{2}\frac{1}{2}$  درصد حذف کدورت مقرنون به صرفه نباشد.

**انتخاب مقدار جرم مناسب**  
پس از فرایند بهینه‌سازی شرایط عملیاتی و به دست آوردن دمای گرمکن و سرعت همزدن مناسب، با انتخاب مقادیر متفاوت وزنی از جاذب طبیعی پوست لیمو، مقدار حذف کدورت از شیره انگور در مدت ثابت ۴ ساعت، سرعت همزدن ثابت ۳۸۰ دور در دقیقه، دمای فرایند ۳۵ درجه سلسیوس و مقدار حجمی ثابت ۴۰ میلی‌لیتر از شیره انگور، ارزیابی شد که نتیجه‌های آن در شکل ۴ قابل مشاهده است. حذف کدورت در مقادیر پایین وزنی جاذب (۰/۱ گرم) بسیار کمتر از حالت بهینه و برابر با  $\frac{23}{47}$  درصد بود و در مقادیر وزنی بالای جاذب نیز (۱۰ گرم) فرایند کدورت‌زدایی تفاوت معناداری با پخش بهینه‌سازی داشت و برابر با  $\frac{43}{54}$  درصد بود. در مقادیر پایین وزنی جاذب به دلیل سیرشدن جاذب طبیعی جذب ظرفیت جذب کافی برای ذره‌های

بهینه‌سازی شرایط عملیاتی کدورت‌زدایی از شیره انگور رقیق شده ...



شکل ۴ اثر جرم جاذب طبیعی پوست لیمو بر فرایند کدورت‌زدایی از شیره انگور



شکل ۵ اثر زمان فرایند کدورت‌زدایی از شیره انگور با جاذب طبیعی پوست لیمو

انگور با جاذب طبیعی پوست لیمو از ابتدای فرایند کدورت‌زدایی و به ازای هر ساعت (در بازه ۰ الی ۴ ساعت)، به طور خطی توانایی حذف کدورت را از شیره انگور داشت و از مقدار  $15/49$  درصد پس از ۱ ساعت به  $57/69$  درصد پس از ۴ ساعت رسید. با مقایسه مقدار درصد حذف کدورت در ۴ و ۶ و ۸ ساعت این روند بسیار کند و در ۱۰ ساعت به طور کامل کاهشی شد. در ابتدای فرایند کدورت‌زدایی، پوست لیمو توانایی بیشتری برای جذب ذرهای کدورت‌زدایی شیره انگور داشت، ولی در زمان فرایند بیش از حد طولانی پوست

زمان بهینه فرایند برجذب در ادامه با انتخاب ۲ گرم از جاذب طبیعی پوست لیمو از نتیجه‌های بهدست آمده در بخش پیشین، به بررسی اثر زمان عملیات کدورت‌زدایی پرداخته شد و از زمان اولیه ۰ دقیقه با سطوحی متفاوت در نظر گرفته شده در بخش مواد و روش‌ها و شرایط ثابت بیان شده در بخش پیشین، ارزیابی حذف انجام گرفت که نتیجه‌های آن در شکل ۷ گزارش شده است. با توجه به نتیجه‌های بهدست آمده در شکل ۵، مقدار حذف کدورت از شیره

بیشتر از ۸ ساعت حذف کدورت کمتری رخ داد. افزایش جرم جاذب نیر تا ۲ گرم منجر به افزایش حذف کدورت و جرم‌های بیشتر منجر به کاهش حذف کدورت شد. طراحی آزمایش با روش سطح پاسخ نشان داد که نقاط بیشینه درصد حذف کدورت در گستره تقریبی دمایی بیشتر از ۲۰ و کمتر از ۵۰ درجه سلسیوس و گستره تقریبی سرعت هم‌زدن بیشتر از ۲۰۰ و کمتر از ۵۴۰ دور در دقیقه، بود. همچنین، دمای ۳۵ درجه سلسیوس و دور همزن rpm ۳۸۰ مناسب‌ترین حالت در فرایند کدورت‌زدایی بود. در این حالت بیشترین درصد حذف با مقدار تقریبی ۵۸ درصد به دست آمد. نتیجه‌های به دست آمده از بریکس‌سنج، تفاوت نامحسوسی از بریکس نهایی با اولیه را نشان داد (۹ درصد کاهش). با توجه به نتیجه‌های به دست آمده از تجزیه DLS، میانگین اندازه ذره‌ها پیش و پس از فرایند بر جذب به ترتیب ۵۰۰۰ و ۳۰۰۰ نانومتر و شاخص پراکندگی ۱ و ۰,۸۴۶ به دست آمد.

به حالت اشباع رسید و دیگر نتوانست ذره‌های جدید را جذب کند. همچنین، زمان‌های طولانی ممکن است موجب تغییرهای شیمیایی یا فیزیکی در ساختار پوست لیمو شود. این تغییرهای می‌توانند موجب کاهش کلراینی جذب شده و ساختار جاذب را تجزیه و تغییر کنند. یا اینکه در طول زمان، ممکن است ذره‌های عامل کدورت به هم چسبیده شوند و توده‌های بزرگ‌تری را تشکیل دهند که با پوست لیمو به راحتی جذب نشوند و در نتیجه مقدار حذف کدورت کاهش یابد.

### نتیجه‌گیری

در پژوهش حاضر، جاذب طبیعی پوست لیمو برای کدورت‌زدایی از شیره انگور به کار گرفته شد. جرم جاذب، زمان فرایند کدورت‌زدایی، دمای گرمادهی، و دور همزن بر حذف کدورت اثرگذاری متنوعی داشتند. با افزایش زمان فرایند بر جذب تا ۴ ساعت، حذف کدورت افزایش و در بازه ۴ الی ۶ ساعت به تقریب حالت ثابتی ایجاد شد. همچنین، در زمان‌های

### مراجع

- [1] Cosme F, Pinto T, Vilela A. Phenolic compounds and antioxidant activity in grape juices: A chemical and sensory view. *Beverages*. 2018;4(1):22. doi: [10.3390/beverages4010022](https://doi.org/10.3390/beverages4010022)
- [2] Mazrou S, Messaoudi M, Begaa S, Innocent C, Akretche D. Clarification of the Algerian grape juice and their effects on the juice quality. *Bulletin of the Chemical Society of Ethiopia*. 2020;34(1):1-11. doi: [10.4314/bcse.v34i1.1](https://doi.org/10.4314/bcse.v34i1.1)
- [3] Igual M, Contreras C, Camacho M, Martínez-Navarrete N. Effect of thermal treatment and storage conditions on the physical and sensory properties of grapefruit juice. *Food Bioprocess Technology*. 2014;7:191-203. doi: [10.1007/s11947-013-1088-6](https://doi.org/10.1007/s11947-013-1088-6)
- [4] Li N, Wei Y, Li X, Wang J, Zhou J, Wang J. Optimization of deacidification for concentrated grape juice. *Food Science* Nutrition. 2019;7(6):2050-8. doi: [10.1002/fsn.3.1037](https://doi.org/10.1002/fsn.3.1037)
- [5] Kara IT, Yücel S, Arici M. Clarification of red grape juice by amine-functionalized magnesium silica aerogel. *Food Chemistry*. 2024;140132. doi: [10.1016/j.foodchem.2024.140132](https://doi.org/10.1016/j.foodchem.2024.140132)
- [6] Prommajak T, Leksawasdi N, Rattanapanone N. Tannins in fruit juices and their removal. *Chiang Mai University Journal of Natural Sciences*. 2020;19(1):76-90. doi: [10.12982/CMUJNS.2020.0006](https://doi.org/10.12982/CMUJNS.2020.0006)
- [7] Nyika J, Dinka MO. The potential of reusing fruit bio-adsorbents for water purification: a minireview. *Materials Today: Proceedings*. 2023. doi: [10.1016/j.matpr.2023.07.285](https://doi.org/10.1016/j.matpr.2023.07.285)
- [8] El Bouaidi W, Libralato G, Douma M, Ounas A, Yaacoubi A, Lofrano G, et al. A review of plant-based coagulants for turbidity and cyanobacteria blooms removal. *Environmental*

- Science Pollution Research. 2022;29(28):42601-15. doi: [10.1007/s11356-022-20036-0](https://doi.org/10.1007/s11356-022-20036-0)
- [9] Haritha M, Raju G, Jacob AM, Thampi G. Remediation of waste water through natural coagulants such as lemon and banana peel. EDP Sciences, E3S Web of Conferences; 2024;529(03004):1-8. doi: [10.1051/e3sconf/202452903004](https://doi.org/10.1051/e3sconf/202452903004)
- [10] Shirvani A, Mirzaaghaei M, Goli SAH. Application of natural fining agents to clarify fruit juices. Comprehensive Reviews in Food Science Food Safety. 2023;22(6):4190-216. doi: [h10.1111/1541-4337.13207](https://doi.org/10.1111/1541-4337.13207)
- [11] Zaidi NS. Potential of fruit peels in becoming natural coagulant for water treatment. International Journal of Integrated Engineering. 2019;11(1). doi: [10.30880/ijie.2019.11.01.017](https://doi.org/10.30880/ijie.2019.11.01.017)
- [12] Nasser SA. The Addition of lemon peel powder affects the properties of yogurt. Journal of Food Dairy Sciences. 2022;13(4):65-70. doi: [10.21608/jfds.2022.136776.1055](https://doi.org/10.21608/jfds.2022.136776.1055)
- [13] Aljohani H, Ahmed Y, Elshafey O, El-Shafey S, Fouad R, Shoueir K, et al. Decolorization of turbid sugar juice from sugar factory using waste powdered carbon. Applied Water Science. 2018;8:1-10. doi: [10.1007/s13201-018-0681-2](https://doi.org/10.1007/s13201-018-0681-2)
- [14] Leite IR, Barbosa RD. Tannin extract for sugarcane juice clarification. Sugar Tech. 2021;23(3):682-91. doi: [10.1007/s12355-020-00923-x](https://doi.org/10.1007/s12355-020-00923-x)
- [15] Ozylmaz G, Gunay E. Clarification of apple, grape and pear juices by co-immobilized amylase, pectinase and cellulase. Food Chemistry. 2023;398:133900. doi: [10.1016/j.foodchem.2022.133900](https://doi.org/10.1016/j.foodchem.2022.133900)
- [16] Ahdno H, Jafarizadeh-Malmiri H. Clarification of date syrup by activated carbon: investigation on kinetics, equilibrium isotherm, and thermodynamics of interactions. International Journal of Food Engineering. 2015;11(5):651-8. doi: [10.1515/ijfe-2015-0093](https://doi.org/10.1515/ijfe-2015-0093)
- [17] Ahmadi O, Sayyar Z, Jafarizadeh Malmiri H. Optimization of Processing Time, Temperature, and Stirring Rate to Synthesize the Ag Nanoparticles Using Oregano Extract. Iran J Chem Chem Eng. 2023;42(10). doi: [10.30492/ijcce.2023.1971456.5676](https://doi.org/10.30492/ijcce.2023.1971456.5676)
- [18] Mohammadi-Aghdam S, Ahmadi O. Optimization of operating conditions and the role of ultrasound waves in the green synthesis of silver nanoparticles using apple tree leaf extract. Journal of applied research in chemistry. 2023;17(1). doi: [10.30495/jacr.2023.1979194.2096](https://doi.org/10.30495/jacr.2023.1979194.2096)
- [19] Eshghi M, Kamali-Shojaei A, Vaghari H, Najian Y, Mohebian Z, Ahmadi O, et al. Corylus avellana leaf extract-mediated green synthesis of antifungal silver nanoparticles using microwave irradiation and assessment of their properties. 2021;10(1):606-13. doi: [10.1515/gps-2021-0062](https://doi.org/10.1515/gps-2021-0062)

## میکرواستخراج و اندازه‌گیری کوله کالسیفرون (ویتامین D<sub>3</sub>) در سیال‌های زیستی با یک روش سه فازی و به کارگیری فیبر توخالی و دو حلال آلی امتزاج‌ناپذیر

مریم رضیئی

استادیار شیمی تجزیه، دانشکده شیمی، واحد تهران شمال، دانشگاه آزاد اسلامی، تهران، ایران.

دریافت: تیر ۱۴۰۲ بازنگری: آبان ۱۴۰۳ پذیرش: آبان ۱۴۰۳



<https://doi.org/10.30495/JACR1.1403.1044857>

### چکیده

در این مطالعه، استخراج و اندازه‌گیری ویتامین D<sub>3</sub> در سیال‌های زیستی با روش میکرواستخراج مایع-مایع با فیبر توخالی انجام شد. بدین منظور از روش سه فازی و به کارگیری دو حلال آلی امتزاج‌ناپذیر در دیواره و درون فیبر استفاده شد. ویتامین از ۸ میلی‌لیتر محلول نمونه با لایه نازکی از یک حلال آلی (نرمال دودکان) که در منافذ فیبر قرار دارد، استخراج شد. سپس، در داخل فیبر که حاوی استونیتریل در مقیاس میکرولیتر بود، استخراج برگشتی انجام شد. عوامل موثر بر این روش بررسی و شرایط بهینه به دست آمد. در این شرایط عامل غنی‌سازی ۱۳۰، حدشیخیص  $0.9 \text{ ng ml}^{-1}$  و نمودار واسنجی در گستره ۳ تا  $1000 \text{ ng ml}^{-1}$  با  $R^2 = 0.999$  بود. برای ترتیب آمد. برای بررسی دقیق روش پیشنهادشده، تکرار پذیری در یک روز و تکثیر پذیری در چند روز انجام شد و انحراف میار نسبی به ترتیب ۰/۹۶ و ۰/۵۴ به دست آمد. در ادامه برای اثبات توانمندی روش پیشنهادی، استخراج این ویتامین از سیال‌های زیستی انجام شد و با پژوهش‌های انجام‌شده مقایسه شد و نتیجه‌های قابل قبولی به دست آمد.

**واژه‌های کلیدی:** ویتامین D<sub>3</sub>, سوانگاری مایع با کارایی بالا، فیبر توخالی، سیال‌های زیستی، پیش‌تغییض.

### مقدمه

نارسایی کلیه است [۱]. بنابراین، واپاپیش مقدار آن در سیال‌های زیستی مهم است. آماده‌سازی این سیال‌ها، برای حذف عامل‌های تداخل‌کننده برای اندازه‌گیری این ویتامین، پیش از سنجش بسیار مهم است [۲]. در سال‌های اخیر، روش‌های متفاوتی برای استخراج و اندازه‌گیری این ویتامین از سیال‌های زیستی گزارش شده است [۳] تا [۷]. یکی از این روش‌ها، استفاده ویتامین D<sub>3</sub> ویتامین محلول در چربی است. استفاده از آن همراه با کلسیم برای حفظ توده استخوانی بدن است [۱]. کمبود آن موجب کاهش تراکم استخوانی و شکستگی می‌شود. افزایش آن در خون سبب افزایش کلسیم و رسوب آن در بافت‌های کلیه و شریان‌های خونی می‌شود که نتیجه آن افزایش فشار خون و

باشد. بنابراین، روش ارائه شده، مکمل مناسبی برای روش سه فازی است. چون ضخامت لایه انتشار بین دو حلال آلی بسیار کمتر از حلال آبی-آلی است، سرعت نفوذ و بازدهی استخراج با به کارگیری دو حلال آلی، در فیبر بیشتر است [۱۶ تا ۱۸]. در این پژوهش، برای استخراج و پیش‌تغییض ویتامین، فیبر توخالی به کاربرده شد. روش دو فازی و سه فازی با حلال‌های گوناگون آلی که شرایط این استخراج را دارند، به کاربرده شد. روش سه فازی عامل غنی‌سازی بالاتری را نتیجه داد. شرایط بهینه در روش سه فازی بررسی شد و در شرایط بهینه به دست آمده استخراج و پیش‌تغییض این ویتامین از سیال‌های زیستی انجام و با روش‌های انجام شده مقایسه شد.

### بخش تجربی

#### مواد شیمیایی و استانداردها

برای تهیه محلول استاندارد، پودر خالص ویتامین D<sub>3</sub> با خلوص بیشتر از ۹۷ درصد از شرکت مرک آلمان تهیه شد. محلول مادر به غلظت ۵۰۰ µg/ml و حجم ۵۰ میلی‌لیتر، با حل کردن مقدار مناسب پودر ویتامین D<sub>3</sub> در اتانول، تهیه و در یخچال نگهداری و روزانه محلول‌های استاندارد از آن تهیه شد. استونیتریل و متابول با درجه خلوص دستگاه سوانگاری مایع با عملکرد بالا، ۱-دوکانول، ۱-آنکانول، ۱-اکتانول، آندکان، نرمال دودکان، نرمال پنتادکان، نرمال هگزادکان، نرمال هگزان، اتیل استات و تولوئن از شرکت مرک خریداری شد. فیبرهای پلی‌پروپیلن با قطر داخلی ۶۰۰ میکرومتر و قطر منفذ ۰/۲ میکرومتر ساخت آلمان به کارگرفته شد.

#### دستگاه‌ها و تجهیزات

برای بهینه‌سازی شرایط استخراج و تعیین عامل‌های تجزیه‌ای و اندازه‌گیری ویتامین، دستگاه سوانگاری مایع با عملکرد بالا استفاده شد. این دستگاه مجهز به شیر محل تزریق خودکار و لوله حلقه‌ای ۲۰ میکرولیتری و آشکارساز فرابینفس

از فاز جامد جاذب است که زمان بر بوده و برای دستیابی به پیش تغییض بالا، حلال شوینده باید تبخر شود [۸ تا ۱۰]. کاربرد استخراج مایع-مایع و استفاده از حجم بالای حلال‌های آلی گران و آلاینده محیط‌زیست است [۱۱]. در سال ۱۹۹۹، روش میکرواستخراج با فیبرهای متخلخل توخالی (<sup>1</sup>LPME) روش دشده شد [۱۲ و ۱۳]. این روش، به دوگروه دو فازی و سه فازی تقسیم می‌شود. در روش دو فازی حلال آلی به کاربرده شده در داخل فیبر و منفذ دیواره فیبر یکسان است. در روش سه فازی، حلال آلی با نیروهای مؤینگی درون منفذ فیبر قرار می‌گیرد و لایه نازکی را درون دیواره فیبر تشکیل می‌دهد [۱۴]. فاز استخراجی آبی (در حد چند میکرولیتر) درون فیبر وارد می‌شود. وجود غشاء آلی بین فازهای دهنده و گیرنده از مخلوط‌شدن فازها جلوگیری می‌کند، از طرفی فاز استخراجی به طور مستقیم در تماس با نمونه نیست. بنابراین، محلول نمونه می‌تواند در اثر همزدن، همگن شود. در روش مذکور آنالیت از محلول آبی به داخل حلال آلی در دیواره فیبر استخراج و سپس، به محلول آبی داخل فیبر، استخراج برگشتی انجام می‌شود. آبی‌بودن فاز گیرنده موجب محدودیت در به کارگیری دستگاه برای اندازه‌گیری آنالیت می‌شود. برای رفع این محدودیت از نظر سازگاری با دستگاه‌های تجزیه‌ای و از طرف دیگر دستیابی به حد تشخیص‌های بهتر، روشی معرفی شده است که در آن می‌توان از دو حلال آلی امتزاج‌ناپذیر در روش سه فازی استفاده کرد [۱۵]. در این روش، یک حلال آلی (مانند نرمال دودکان) در منفذ دیواره فیبر قرار می‌گیرد و حلال آلی دیگر (مانند متابول یا استونیتریل) به عنوان فاز پذیرنده عمل و درون فیبر را پر می‌کند. حلال پرکننده غشاء، باید به گونه‌ای انتخاب شود که بتواند در منفذ فیبر باقی مانده و آنالیت به آن منتقل شود. از طرفی دو حلال به کار برده شده امتزاج‌ناپذیر و پایدار باشند و در زمان آزمایش تبخر نشوند، افزون برآن، سازگار با دستگاه تجزیه‌ای

<sup>1</sup>. Hollow fiber liquid phase microextraction (LPME)

گرفت و میکروسرنگ به گیره بسته شد. سپس، همزن مغناطیسی روشن شد. پس از گذشت زمان استخراج، فاز گیرنده با میکروسرنگ به دستگاه سوانگاری با عملکرد بالا تزریق شد.

### نتیجه‌ها و بحث

انتخاب حلال آلی برای غشاء و درون فیبر حلال‌های آلی به کاربرده شده در غشاء و درون فیبر برای دستیابی به استخراج و پیش‌تغییض مناسب، بسیار مهم است. حلال آلی غشاء باید با آب امتراج ناپذیر، دارای فرازیت پایین و از نظر قطبیت، سازگار با فیبر باشد تا به آسانی در منافذ دیوار فیبر قرار گیرد. از طرفی گران روی بالابی نداشته باشد تا انتقال جرم از فاز آبی به آن صورت گیرد. حلال آلی درون فیبر نیز، باید مناسب برای سوانگاری مایع با عملکرد بالا و با فاز آلی داخل غشاء امتراج ناپذیر باشد (روش سه فازی). برپایه این مطالب، انتخاب حلال آلی با دو روش دوفازی و سه‌فازی به صورت یک حلال آلی در غشاء و درون فیبر (روش دو فازی) و دو حلال آلی در غشاء و درون فیبر (روش سه فازی)، انجام شد. با به کارگیری حلال‌های آلی، استخراج انجام و عامل غنی‌سازی در هر آزمایش محاسبه شد (جدول ۱). عدددهای به دست آمده نشان داد که روش سه فازی عامل غنی‌سازی<sup>۱</sup> بالاتری را نتیجه می‌دهد. حلال‌های آلی به کاربرده شده در روش دو فازی، عامل غنی‌سازی پایین‌تری را نتیجه داد و برای دستگاه سوانگاری نیز مناسب نبود و مشکلاتی را برای ستون دستگاه پیش آورد. بنابراین، روش سه فازی برای استخراج و پیش‌تغییض در نظر گرفته شد.

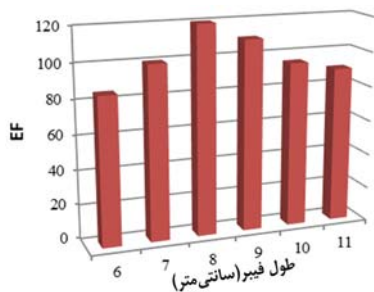
مرئی (تنظیم شده در طول موج ۲۶۴ نانومتر) و یک پمپ رفت و برگشتی به همراه ستون<sup>۱۸</sup> به طول ۱۵ سانتی‌متر و قطر ۴۶ میلی‌متر با اندازه ذره‌های ۵ میکرومتر بود. پیش‌ستون<sup>۱۸</sup> نیز برای محافظت از ستون به کار گرفته شد. برای معلق نگه‌داشتن فیبر داخل محلول و تزریق محلول داخل فیبر، سرنگ هامیلتون ۲۵ میکرولیتری با سوزن سرتخت به قطر ۸۰۰ میکرومتر ساخت کمپانی هامیلتون آمریکا (مدل NR ۷۰۲) و سرنگ پزشکی به کار گرفته شد. برای برداشتن محلول‌ها، پیپت‌های ۲، ۵ و ۱۰ میلی‌لیتری و نمونه‌بردارهایی با حجم متغیر ۱۰ تا ۱۰۰ تا ۱۰۰۰ میکرولیتری با سر پلاستیکی قابل تعویض یکبار مصرف به کاربرده شد. از متابول با سرعت شویش ۱ میلی‌لیتر در دقیقه به عنوان فاز متحرک استفاده شد. برای هم‌زدن محلول نمونه طی استخراج، دستگاه همزن مغناطیسی به کاربرده شد.

### مراحل روش میکرواستخراج

برای انجام استخراج، ظروفی با حجم ۱۵ میلی‌لیتر به کاربرده شد. همچنین، سرنگ سرتخت با حجم ۲۵ میکرولیتر، یک سوزن سرنگ پزشکی معمولی برای نگهداری فیبر طی استخراج به کار برده شد [۱۵]. ابتدا فیبر پلی‌پروپیلن به ابعاد ۸ سانتی‌متر بریده شد. آلوگی‌های احتمالی فیبر با قراردادن درون استون و انجام فراصوت به مدت ۲ دقیقه برطرف شد. سپس زمان داده شد، تا استون از سطح فیبر تبخیر شود. آهنربای پوشش داده شده با ابعاد  $2 \times 10$  mm درون ظرف استخراج با حجم ۱۵ میلی‌لیتر قرار داده شد و حجم لازم از محلول نمونه به ظرف استخراج منتقل و ظرف نمونه روی همزن مغناطیسی قرارداده شد. ۲۵ میکرولیتر از فاز گیرنده، درون سرنگ هامیلتون کشیده شد. سر سرنگ هامیلتون و سوزن یک سرنگ پزشکی از داخل دیواره سیلیکونی رد و فیبر به سوزن میکروسرنگ متصل و انتهای دیگر فیبر نیز به سوزن پزشکی متصل شد. فیبر به مدت چند ثانیه در محلول نرمال دودکان قرار داده شد تا منافذش با حلال آلی پر شود. پس از آن، فاز گیرنده به درون فیبر تزریق شد. این فیبر به شکل نیم‌دایره داخل محلول نمونه قرار

<sup>۱</sup>. Enrichment factor (EF)

طرف دیگر، مقدار جرم انتقال یافته به فاز گیرنده، مهم‌تر از غلظت آنالیت در فاز گیرنده است. افزون بر آن، تبخیر فاز گیرنده و انحلال آن هم باید در نظر گرفته شود. بنابراین، باید فاز گیرنده به اندازه‌ای بزرگ باشد که انتقال جرم را ممکن و اثر تبخیر و انحلال را پوشش دهد. در این پژوهش، اثر طول فیبر در گستره ۶ تا ۱۱ سانتی‌متر بر عامل غنی‌سازی، بررسی شد. نتیجه‌های آزمایش در شکل ۱ ترسیم شده است.



شکل ۱ اثر طول فیبر بر عامل غنی‌سازی محلول ویتامین

برپایه این شکل، برای عامل غنی‌سازی در گستره طول فیبر آزمایش شده، طول فیبر ۸ سانتی‌متر بالاترین عددها عامل غنی‌سازی را نتیجه داد.

بررسی اثر سرعت هم‌زدن محلول نمونه در روش‌های استخراجی با فیبر، هم‌زدن محلول نمونه منجر به کاهش در ضخامت لایه نرست [۱۹] و تماس پیوسته محلول تازه نمونه با سطح استخراجی، موجب انتقال سریع تر آنالیت از فاز آبی به فاز آبی می‌شود. از طرف دیگر، افزایش سرعت هم‌زدن، موجب تشکیل حباب در سطح فیبر می‌شود که تکرار پذیری را کاهش می‌دهد [۲۰]. در این پژوهش، برای به‌دست آوردن سرعت بهینه، آزمایش‌هایی در گستره ۱۰۰ تا ۱۰۰۰ دور بر دقیقه<sup>۱</sup> انجام شد. با توجه به زمان طولانی استخراج، ۳ استخراج با شرایط یکسان، هم‌زمان انجام شد.

جدول ۱ حلال‌های آبی به کاربرده شده در فیبر و تاثیر آن بر عامل غنی‌سازی

		روش سه فازی		روش دو فازی	
EF	حلال آبی در غشاء و درون فیبر	حلال آبی در غشاء فیبر	حلال آبی در درون فیبر	EF	
۱۵	ادودکانول	آندکان	آندکان	۸۸	
۳۸	۱ آندکانول	آندکان	متانول	۷۵	
۶۲	۱ اکتانول	دودکان	دودکانول	۱۰۵	
۹	تولوئن	دودکان	متانول	۹۸	
۲	هگزان-ایتل (۷۰:۳۰)	پنتادکان	پنتادکان	۴۸	
		پنتادکان	متانول	۴۰	
		هگزادکان	هگزادکان	۳۱	
		هگزادکان	متانول	۲۸	

حلال‌های آبی که در روش سه فازی بررسی شدند، نتیجه‌های زیر را دادند:

آندکان، پنتادکان و هگزادکان به خوبی در دیواره فیبر قرار گرفتند و با متانول و استونیتریل امتصاص پذیر بودند و در طول زمان استخراج از دیواره فیبر نشت نکردند، ولی به علت گران‌روی بالا، انتقال آنالیت از فاز آبی به خوبی انجام نشد. بنابراین، عامل غنی‌سازی بالایی از آن‌ها به دست نیامد. با توجه به نتیجه‌ها، نرمال دودکان به عنوان حلال آبی برای غشای فیبر انتخاب شد. در ادامه دو حلال استونیتریل و متانول به عنوان فاز گیرنده بررسی شدند. هردو حلال، حلالیت بسیار کمی در دودکان داشتند و در طول مدت زمان استخراج به خوبی درون فیبر باقی ماندند. استونیتریل عامل غنی‌سازی بالاتری را نتیجه داد، پس از استونیتریل به عنوان فاز گیرنده استفاده شد.

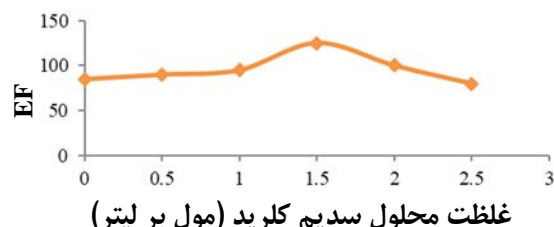
بررسی اثر طول فیبر طول در نظر گرفته شده فیبر، با مقدار حجم فاز گیرنده متناسب بود. در روش میکرواستخراجی، حجم فاز گیرنده کمتر موجب افزایش غلظت مقدار آنالیت جمع‌آوری شده در فاز گیرنده می‌شود و عامل غنی‌سازی بالاتری به دست می‌آید [۱۸]. از

<sup>1</sup>. Revolutions per minute (rpm)



شکل ۳ اثر زمان استخراج بر عامل غنی‌سازی محلول ویتامین

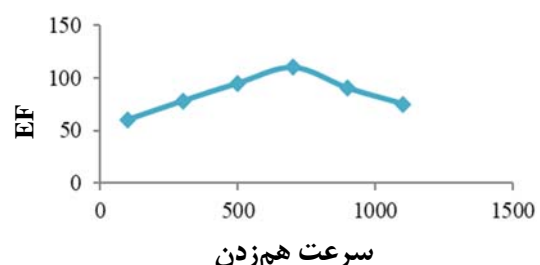
بررسی اثر افزایش نمک در روش‌های میکرواستخراج با فیبر، بسته به طبیعت آنالیت، با افزایش نمک، عامل غنی‌سازی افزایش نمک کاهش می‌باید [۲۲]. در پارهای از گزارش‌ها افزایش نمک، نتیجه مثبت [۲۳ تا ۲۵] و در پارهای گزارش‌ها افزایش نمک نتیجه منفی داشته است [۲۶ و ۲۷]. افزایش نمک موجب افزایش ضخامت لایه انتشار بین محلول نمونه و لایه آلی جداره فیبر می‌شود و بدین ترتیب سرعت انتقال جرم پایین می‌آید. از طرف دیگر، با افزایش نمک، حل شدن آنالیت در فاز آبی کاهش، و حل شدن آنالیت در فاز آلی افزایش می‌باید. در این پژوهش، محلول نمونه بدون نمک و افزایش نمک تا غلظت ۲/۵ مولار بررسی شد، نتیجه‌ها در شکل ۴ آمده است.



شکل ۴ اثر غلظت سدیم کلرید بر عامل غنی‌سازی محلول ویتامین

برپایه شکل ۴، افزایش نمک تا غلظت ۱/۵ مولار، به دلیل کاهش حلایت آنالیت در فاز آبی، موجب افزایش عامل غنی‌سازی شد. با افزایش بیشتر غلظت نمک، گران روی محلول افزایش و انتقال آنالیت کاهش یافت که موجب کاهش عامل

تغییرهای سرعت همزدن بر عامل غنی‌سازی در شکل ۲ نشان داده شده است.

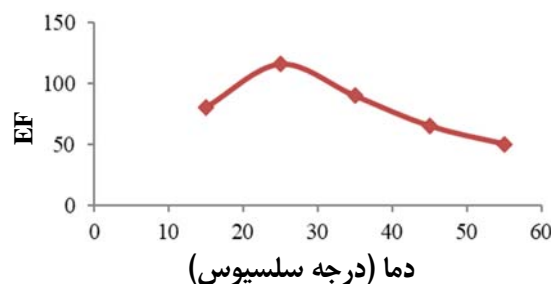


شکل ۲ اثر سرعت همزدن محلول بر عامل غنی‌سازی محلول ویتامین

با توجه به نتیجه‌ها، سرعت ۷۰۰ دور بر دقیقه عامل غنی‌سازی بالاتری را نتیجه داد.

بررسی اثر زمان استخراج روش‌های میکرواستخراج، زمانی را برای رسیدن به تعادل نیاز دارد. در روش سه فازی دوسری تعادل وجود دارد. تعادل اول، زمان لازم برای استخراج بین محلول آبی و غشاء آلی و تعادل دوم، زمان لازم برای استخراج برگشتی است. به علت ازدست‌رفتن حلال آلی داخل فیبر بر اثر تبخیر و حل شدن در محلول آبی در زمان‌های طولانی، بازدهی استخراج کاهش می‌باید [۲۱]. بنابراین، در این پژوهش، زمان مناسب برای رسیدن به تعادل و از طرف دیگر ازدست‌ندادن حلال آلی بررسی شد. زمان استخراج در گستره ۱۰ تا ۴۰ دقیقه با سرعت چرخش ۷۰۰ دور بر دقیقه و طول فیبر ۸ سانتی‌متر آزمایش شد. نتیجه‌ها در شکل ۳ نشان داده شده است. مطابق شکل، با افزایش زمان تا ۳۵ دقیقه، عامل غنی‌سازی افزایش یافت. پس از ۳۵ دقیقه، کاهش در آن مشاهده شد. با توجه به نتیجه‌ها، زمان ۳۵ دقیقه، برای آزمایش‌های بعدی در نظر گرفته شد.

گذاشت [۲۸]. از طرف دیگر، با افزایش دمای محلول نمونه، به علت افزایش حلالیت حلال آلی در فاز آبی، حجم حلال آلی در طول زمان استخراج، کاهش یافته و یا در اثر گرم شدن، تبخیر حلال آلی صورت می‌گیرد که نتیجه آن، کاهش بازدهی استخراج است [۲۹]. در این پژوهش، دمای محلول نمونه در گستره ۱۵ تا ۵۵ درجه سلسیوس بررسی شد. نتیجه‌های به دست آمده در شکل ۷ نشان داده شده است. برپایه نتیجه‌های نشان داده شده در شکل ۶، دمای اتاق، مناسب‌ترین دما برای آزمایش است.



شکل ۶ اثر دمای آزمایش بر عامل غنی‌سازی محلول ویتامین

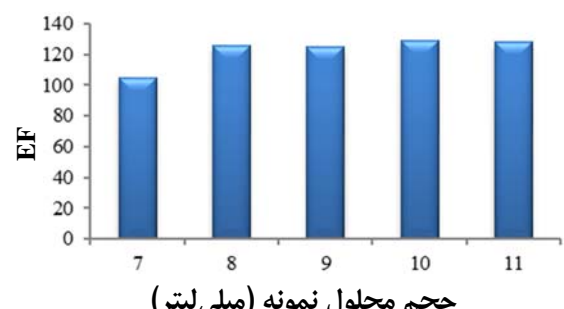
جدول ۲، شرایط بهینه به دست آمده برای استخراج ویتامین را نشان می‌دهد.

جدول ۲ شرایط بهینه به دست آمده در دمای اتاق برای استخراج ویتامین

دودکان	حال آلی غشاء فیبر
استونیتریل	حال آلی درون فیبر
۸ میلی لیتر	حجم محلول نمونه
۱/۵ مولار	غلظت محلول کلرید سدیم
۳۵ دقیقه	زمان استخراج
۷۰۰ دور بر دقیقه	سرعت هم زدن محلول
۸ سانتی متر	طول فیبر

غنی‌سازی شد. در آزمایش‌های بعدی، محلول نمک با غلظت ۱/۵ مولار به کار برد شد.

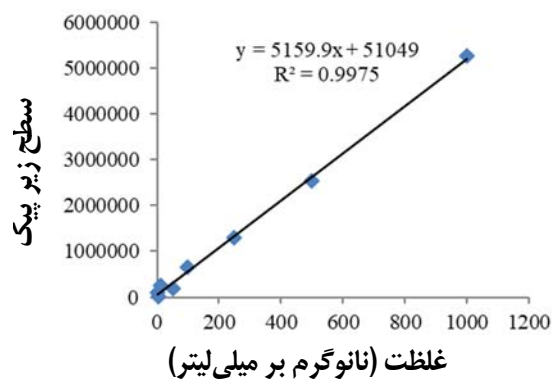
بررسی اثر حجم محلول نمونه  
بررسی اثر حجم محلول نمونه در گستره ۷ تا ۱۱ میلی لیتر با سرعت ۷۰۰ دور بر دقیقه، ۳۵ دقیقه زمان استخراج و محلول ۱/۵ مولار سدیم کلرید انجام شد. نتیجه‌های به دست آمده در شکل ۵ نشان داده شده است. برپایه این شکل، عامل غنی‌سازی با افزایش حجم، تا ۸ میلی لیتر افزایش داشت، ولی پس از آن، افزایش چندان مشاهده نشد. زیرا با افزایش حجم محلول نمونه و سرعت هم‌زدن ثابت، هم رفت نمی‌تواند موجب انتقال بیشتر آنالیت شود. از طرف دیگر، برپایه قوانین میکرواستخراج مایع، با افزایش حجم نمونه، بازدهی استخراج کاهش می‌یابد. بنابراین، در آزمایش‌های بعدی، حجم محلول نمونه، ۸ میلی لیتر در نظر گرفته شد.



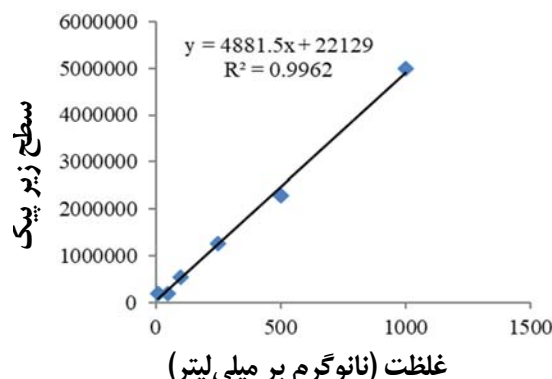
شکل ۵ اثر حجم نمونه بر عامل غنی‌سازی محلول ویتامین

بررسی اثر دما  
دما، عامل موثری بر سیستمیک و ترمودینامیک استخراج است. دمای بالا، زمان لازم برای رسیدن به تعادل را با افزایش نفوذ آنالیت به فاز پذیرنده افزایش می‌دهد. از طرف دیگر، دما می‌تواند موجب تغییر ضربی توزیع آنالیت بین فاز دهنده و فاز گیرنده آلی باشد. پس بر روی بازدهی استخراج، تاثیر خواهد

در این معادله ها،  $C_a$  و  $C_i$ ، به ترتیب غلظت گونه در فاز استخراج شده و غلظت گونه در فاز آبی است. همچنین،  $V_a$  و  $V_i$  به ترتیب حجم فاز استخراجی و حجم فاز آبی و  $ER\%$  درصد بازده استخراج است. در این مطالعه، افزون بر منحنی واسنجی در آب خالص، برای بررسی اثر زمینه، اندازه گیری ها در ادرار و پلاسمای نیز انجام شد. ده محلول استاندارد در گستره غلظتی ۳ تا ۱۰۰۰ نانو گرم بر میلی لیتر تهیه شد. سپس، استخراج تحت شرایط بهینه از محلول های استاندارد تهیه شده، سه مرتبه انجام و سطح زیر پیک به دست آمده بر حسب غلظت اولیه گونه در فاز دهنده، رسم شد (شکل های ۸ تا ۱۰).



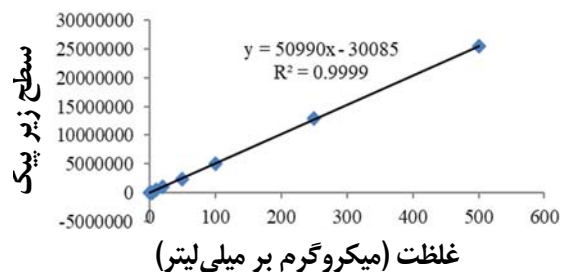
شکل ۸ منحنی واسنجی در پلاسمای برای محلول ویتامین



شکل ۹ منحنی واسنجی در ادرار برای محلول ویتامین

### منحنی واسنجی

برای ارزیابی روش پیشنهادی و اندازه گیری عامل غنی سازی، نیاز به منحنی واسنجی بود. بدین منظور محلول های استاندارد ویتامین با غلظت های ۵ تا ۵۰۰ میکرو گرم بر میلی لیتر تهیه شد. سپس، مقدار ۲۰ میکرولیتر از استانداردهای ساخته شده به دستگاه سوانگاری تزریق و سطح زیر پیک بر حسب غلظت رسم شد. نمودار به دست آمده در شکل ۷ نشان داده شده است.



شکل ۷ منحنی واسنجی تزریق مستقیم ویتامین

استخراج و پیش تغليظ تحت شرایط بهینه به دست آمده از محلول ۱۰۰ ng/ml از ویتامین انجام شد و سطح زیر پیک به دست آمده، در منحنی واسنجی قرار داده شد و عامل غنی سازی از نسبت غلظت آنالیت در فاز پذیرنده به غلظت اولیه به دست آمد (معادله ۱).

$$EF = C_a/C_i \quad (1)$$

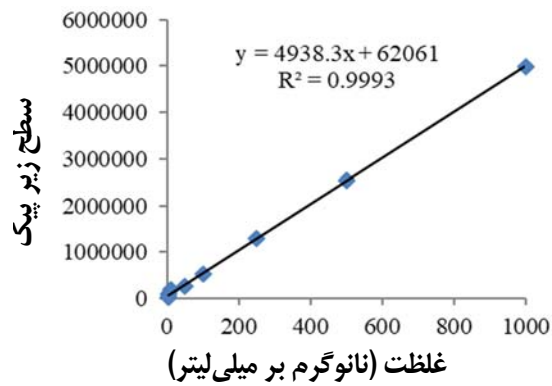
درصد بازیابی استخراج ۱، از معادله ۲ به دست آمد.

$$ER \% = ((C_a \times V_a)/(C_i \times V_i)) \times 100 \quad (2)$$

1. Extraction recovery (ER)

جدول ۳ آورده شده‌اند. حد تشخیص برپایه نشانک به نوافه برابر ۳، به دست آمده است.

**تکرارپذیری و تکثیرپذیری**  
مقدار تکرارپذیری و تکثیرپذیری سامانه، با اندازه-گیری انحراف معیار نسبی به دست آمد. مقدارهای به-دست آمده از مقدار انحراف استاندارد نسبی در یک روز کاری (با ۶ اندازه‌گیری پی‌درپی در شرایط بهینه با غلظت ۵۰ میکروگرم بر لیتر) و انحراف استاندارد نسبی در چند روز کاری پی‌درپی، با ۶ اندازه‌گیری در ۶ روز پی‌درپی در شرایط بهینه با غلظت ۵۰ میکروگرم بر لیتر، در جدول ۳ ارائه شده است.



شکل ۱۰ منحنی واسنجی در آب برای محلول ویتامین

با محاسبه‌های انجام شده، گستره خطی منحنی واسنجی، حد تشخیص، ضریب تعیین ( $R^2$ )، عامل غنی‌سازی و بازدهی استخراج برای هر یک از محیط‌های مورد آزمایش به دست آمد. ارقام شایستگی برای روش پیشنهادشده در

جدول ۳ ارقام شایستگی روش پیشنهادشده در آب، پلاسمما و ادرار

ER %	EF	RSD***		LOD**	DLR*	$R^2$	معادله	نمونه
		در یک روز	بین چند روز					
۴۱	۱۳۰	۶,۱	۵,۶	۰,۹	۳-۱۰۰۰	۰,۹۹۹	$Y = ۴۹۳۸ X + ۶۲۰۶۱$	آب
۳۹	۱۲۴	۶,۲	۵,۸	۱,۰	۱۰-۱۰۰۰	۰,۹۹۷	$Y = ۵۱۵۹ X + ۵۱۰۴۹$	پلاسمما
۳۸	۱۲۱	۶,۵	۶,۱	۱,۱	۱۰-۱۰۰۰	۰,۹۹۲	$Y = ۴۵۸۰ X + ۱۱۶۵۰$	ادرار

\* Dynamic linear range (DLR)      \*\* Limit of detection (LOD)

\*\*\* Releative standard deviation (RSD)

میلی‌لیتر از نمونه پلاسمما در یک ظرف ۲۵ میلی‌لیتری ریخته و ۴ میلی‌لیتر استونیتریل به آن افزوده شد. سپس، به مدت ۸ دقیقه با دستگاه مخلوط‌کن گردابی تکان داده شد. مخلوط به دست آمده به مدت ۱۵ دقیقه در دستگاه گریزانه با سرعت ۳۵۰۰ دور بر دقیقه قرار گرفت. پس از آن، پروتئین در ظرف دستگاه تهشین و محلول روی آن، جمع‌آوری و به ظرف دیگری منتقل و با آب به نسبت ۱:۳ رقیق شد. نمونه ادرار هم به نسبت ۱:۱ با آب رقیق شد. غشاء فیبر در یک مخلوط پیچیده مانند صافی عمل

تجزیه نمونه‌های واقعی برای راستی آزمایی روش پیشنهادشده، استخراج ویتامین از سیال‌های زیستی مانند پلاسمما و ادرار انجام شد. نمونه ادرار از فرد سالم جمع‌آوری و نمونه پلاسمما از بیمارستان طالقانی تهران از فرد سالم و بزرگسال تهیه و در دمای ۲۰-درجه سلسیوس نگهداری شد. برای بررسی اثر زمینه بر استخراج ویتامین، به روش میکرواستخراج مایع-مایع با فیبر توخالی، باید ابتدا نمونه پلاسمما پروتئین زدایی می‌شد [۳۰]. برای این کار، ۱۰

## رضیئی

قطره آلی منجمد شناور و استخراج با فاز جامد را نشان می‌دهد. در همه روش‌های پادشه، دستگاه سوانگاری مایع با عملکرد بالا به کارگرفته شد. روش ارائه شده در مقایسه با روش‌های گزارش شده، گستره خطی گسترده‌تر، حد تشخیص مطلوب و عامل غنی‌سازی بالاتری دارد. افزون برآن، در مقایسه با روش‌های استخراج مایع-مایع و استخراج فاز جامد، حلال آلی کمتری استفاده شده است.

جدول ۴ اندازه‌گیری ویتامین در سیال‌های زیستی

RR* (%)	RSD%		C <sub>found</sub> (µg/l)	C <sub>added</sub> (µg/l)	نمونه
	بین چند روز	در یک روز			
---	---	---	---	---	ادرار
۹۳,۵	۶,۲	۵,۳	۱۸,۷±۰,۶	۲۰	
۹۶,۲	۷,۱	۵,۸	۴۸,۲±۰,۸	۵۰	
---	---	---	---	---	
۹۳,۵	۸,۳	۷,۸	۱۸,۷±۰,۵	۲۰	پلاسمای
۹۷,۶	۸,۴	۷,۵	۴۷,۸±۰,۴	۵۰	

\* Relative recovery (RR)

می‌کند و ملکول‌های بزرگ نمی‌توانند از آن عبور کنند. سیال‌های زیستی مانند پلاسمای ادرار شامل اسیدها، بازها و ترکیب‌های دیگر آلی هستند [۳۱]. در ابتدا بدون افزودن ویتامین، استخراج از نمونه‌ها در شرایط بهینه انجام شد. هیچ کدام از نمونه‌ها، علامت چشمگیری نشان ندادند. در مرحله بعد، دو غلظت متفاوت از ویتامین (۲۰ و ۵۰ میکروگرم بر لیتر) به نمونه‌های پلاسمای ادرار افزوده شد و استخراج در شرایط بهینه انجام گرفت. این آزمایش‌ها شش مرتبه تکرار و نتیجه‌ها با حدود ۹۵ درصد اطمینان گزارش و بازده نسبی محاسبه شد. نتیجه‌ها در جدول ۴ ارائه شده‌اند.

برای بررسی دقیق روش پیشنهادشده، تکرار پذیری (در یک روز کاری) و تکثیر پذیری (در چند روز کاری) در غلظت‌های متفاوت افزوده شده از آنالیت، بررسی شدند. آزمایش‌ها شش مرتبه تکرار و انحراف معیار نسبی تعیین شد (جدول ۴).

مقایسه روش پیشنهادی با روش‌های گزارش شده جدول ۵ مقایسه‌ای را بین ارقام شایستگی روش پیشنهادی با روش‌های استخراج مایع-مایع، میکرواستخراج

جدول ۵ مقایسه روش‌های انجام‌شده با روش پیشنهادشده

مرجع	R <sup>2</sup>	EF	RSD%	DLR	LOD	روش تجزیه‌ای
۳۲	۰,۹۹۸۰	—	۹,۲	۱/۰-۱۰۰	۱/۰	استخراج مایع-مایع
۳۳	۰,۹۹۸۴	۳۳	۱۰,۷	۵-۴۰۰	۱/۰	میکرواستخراج قطره آلی منجمد شناور
۳۴	۰,۹۹۹۸	—	۲,۳	۰,۱۶-۱,۳۰	۰,۰۵	استخراج با فاز جامد
پژوهش حاضر	۰,۹۹۹۰	۱۳۰	۸,۰	۳-۱۰۰۰	۰,۹	استخراج با فیر توخالی

روش نسبت به روش‌های دیگر، دارای مزیت‌های زیر است.

- به دلیل استفاده از فاز گیرنده آلی استونیتریل، این روش سازگار با دستگاه سوانگاری مایع با عملکرد بالا است.

نتیجه‌گیری در پژوهش حاضر، برای نخستین بار مفهوم جدیدی از روش سه فازی فیر توخالی و استفاده از دو حلال آلی امتزاج‌ناپذیر برای اندازه‌گیری ویتامین D<sub>3</sub> ارائه شد. نتیجه‌های به دست آمده در این پژوهش، نشان داد که این

روش ارائه شده روشی حساس، دقیق، ساده، ارزان و با مصرف کم حلال آلی است و کاربرد آن برای استخراج از نمونه‌های پیچیده زیستی بسیار مناسب است.

شرایط سوانگاری به گونه‌ای است که هیچ‌گونه تداخلی با پیک آنالیت ایجاد نمی‌شود. به خاطر سادگی و قیمت ارزان این روش، فیبر توخالی پس از هر استخراج دور انداخته می‌شود که این کار موجب اجتناب از اثر حافظه می‌شود.

## مراجع

- [1] Song Y, Slominski R, Qayyum S, Kang K, Janjetovic Z, Raman C. Improvement of copper FAAS determination conditions via preconcentration procedure with the use of salicylaldoxime complex trapped in polymer matrix. *Talanta*. 2012;96:82-88. doi: [10.1016/j.talanta.2012.02.005](https://doi.org/10.1016/j.talanta.2012.02.005)
- [2] Campos Gomes F, Faria Santos I, Makino Stephani C, Ramires M. Vitamin D<sub>3</sub> supplementation may attenuate morphological and molecular abnormalities of the olfactory bulb in a mouse model of Down syndrome. *Tissue and Cell*. 2022;78:101898. doi: [org/10.1016/j.tice.2022.101898](https://doi.org/10.1016/j.tice.2022.101898)
- [3] Xu H, Liao Y, Yao J. Development of a novel ultrasound-assisted headspace liquid-phase microextraction and its application to the analysis of chlorophenols in real aqueous samples. *Journal of Chromatography A*. 2007;1167(1):1-8. doi: [org/10.1016/j.chroma.2007.08.022](https://doi.org/10.1016/j.chroma.2007.08.022)
- [4] Bilodeau L, Dufresne G, Deeks J, Clément G, Bertrand J, Turcotte S. Determination of vitamin D<sub>3</sub> and 25-hydroxyvitamin D<sub>3</sub> in foodstuffs by HPLC UV-DAD and LC-MS/MS. *Journal of Food Composition and Analysis*. 2011;24(3):441-448. doi: [org/10.1016/j.jfca.2010.08.002](https://doi.org/10.1016/j.jfca.2010.08.002)
- [5] Hymøller L, Krogh Jensen S. Vitamin D analysis in plasma by high performance liquid chromatography (HPLC) with C<sub>30</sub> reversed phase column and UV detection – Easy and acetonitrile-free. *Journal of Chromatography A*. 2011;1218(14):1835-1841. doi: [org/10.1016/j.chroma.2011.02.004](https://doi.org/10.1016/j.chroma.2011.02.004)
- [6] Iwase H. Determination of vitamin D<sub>2</sub> in emulsified nutritional supplements by solid-phase extraction and column-switching high-performance liquid chromatography with UV detection. *Journal of Chromatography A*. 2000;881(1-2):189-196. doi: [org/10.1016/S0021-9673\(00\)00198-9](https://doi.org/10.1016/S0021-9673(00)00198-9)
- [7] Qian H, Sheng M. Simultaneous determination of fat-soluble vitamins A, D and E and pro-vitamin D<sub>2</sub> in animal feeds by one-step extraction and high-performance liquid chromatography analysis. *Journal of Chromatography A*. 1988;526(6):127-133. doi: [10.1016/s0021-9673\(98\)00733-x](https://doi.org/10.1016/s0021-9673(98)00733-x)
- [8] Luque-García JL, Luque de Castro MD. Extraction of fat-soluble vitamins. *Journal of Chromatography A*. 2001;935(1-2):3-11. doi: [org/10.1016/S0021-9673\(01\)01118-9](https://doi.org/10.1016/S0021-9673(01)01118-9)
- [9] Tapadia K, Shrivastava K, Bachan Upadhyay L. GC-MS Coupled with hollow-fiber drop-to-drop solvent microextraction for determination of antidepressants drugs in human blood sample. *Chromatographia*. 2011;74:437-442. doi: [org/10.1007/s10337-011-2096-1](https://doi.org/10.1007/s10337-011-2096-1)
- [10] van Hoof HJC, Swinkels LMJW, van Stevenhagen JJ. Advantages of paper chromatography as a preparative step in the assay of 1,25-dihydroxyvitamin D. *Journal of Chromatography B: Biomedical Sciences and Applications*. 1993; 621(1):33-39. doi: [org/10.1016/0378-4347\(93\)80073-D](https://doi.org/10.1016/0378-4347(93)80073-D)
- [11] V. Justová, Z. Wildová, V. Pacovský. Determination of 1,25-dihydroxyvitamin D<sub>3</sub> in plasma using thin-layer chromatography and modified competitive protein binding assay. *Journal of*

- Chromatography A. 1984;290:107-112. doi: org/10.1016/S0021-9673(01)93565-4
- [12] Si Ho T, Pedersen-Bjergaard S, Rasmussen K. Recovery, enrichment and selectivity in liquid-phase microextraction: Comparison with conventional liquid-liquid extraction. Journal of Chromatography A. 2002;963(1-2):3-17. doi: org/10.1016/S0021-9673(02)00215-7
- [13] Pedersen-Bjergaard S, Rasmussen K. Liquid-Liquid-Liquid Microextraction for sample preparation of biological fluids prior to capillary electrophoresis. Analytical Chemistry. 1999;71(14):2650-2656. doi: org/10.1021/ac990055n
- [14] Pedersen-Bjergaard S, Rasmussen K. Bioanalysis of drugs by liquid-phase microextraction coupled to separation techniques. Journal of Chromatography B. 2005;817(1):3-12. doi: org/10.1016/j.jchromb.2004.08.034
- [15] Ghambarian M, Yamini Y, Esrafil A, Yazdanfar N. A new concept of hollow fiber liquid-liquid-liquid microextraction compatible with gas chromatography based on two immiscible organic solvents. Journal of Chromatography A. 2010;1217(36):5652-5658. doi: org/10.1016/j.chroma.2010.07.013
- [16] Ali Khan W, Arain M, Yamini Y, Shah N. hollow fiber-based liquid phase microextraction followed by analytical instrumental techniques for quantitative analysis of heavy metal ions and pharmaceuticals. Journal of Pharmaceutical Analysis. 2020;10:109-122. doi: org/10.1016/j.jpha.2019.12.003
- [17] Khafi M, Javadi A, Afshar Mogaddam M. Combination of three-phase extraction with deep eutectic solvent-based dispersive liquid-liquid microextraction for the extraction of some antibiotics from egg samples prior to HPLC-DAD. Microchemical Journal. 2023; 190: 108652. doi: org/10.1016/j.microc.2023.108652
- [18] Darvishnejad F, Raoof J, Ghani M, Ojani R. Keggin type phosphotungstic acid intercalated copper-chromium-layered double hydroxide reinforced porous hollow fiber as a sorbent for hollow fiber solid phase microextraction of selected chlorophenols besides their quantification via high performance liquid chromatography. Journal of Chromatography A. 2023;1697:463993. doi: org/10.1016/j.chroma.2023.463993
- [19] Yang S, Wu C, Ji D, Xi Z, Chen K. Preparation and characterization of fiber braided tube reinforced polyethylene hollow fiber membranes via thermally induced phase separation. Journal of Environmental Chemical Engineering. 2023;11(9):109375. doi: org/10.1016/j.jece.2023.109375
- [20] Tahmasebi E, Yamini Y, Saleh A. Extraction of trace amounts of pioglitazone as an anti-diabetic drug with hollow fiber liquid phase microextraction and determination by high-performance liquid chromatography-ultraviolet detection in biological fluids. Journal of Chromatography B. 2009;877(20-21):1923-1929. doi: org/10.1016/j.jchromb.2009.05.033
- [21] Esrafil A, Baharfar M, Tajik M, Yamini Y. Two-phase hollow fiber liquid-phase microextraction. TrAC Trends in Analytical Chemistry. 2018;108:314-322. doi: org/10.1016/j.trac.2018.09.015
- [22] Jeannot M, Cantwell F. Mass Transfer Characteristics of Solvent Extraction into a Single Drop at the Tip of a Syringe Needle. Analytical Chemistry. 1997;69(2):235-239. doi: org/10.1021/ac960814r
- [23] Tao Y, Liu J, Hu X, Li H, Wang Th. Hollow fiber supported ionic liquid membrane microextraction for determination of sulfonamides in environmental water samples by high-performance liquid chromatography. Journal of Chromatography A. 2009;1216(35):6259-6266. doi.org/10.1016/j.chroma.2009.06.025
- [24] Es'haghi Z, Kalateh Khooni M, Heidari T. Determination of brilliant green from fish

- pond water using carbon nanotube assisted pseudo-stir bar solid/liquid microextraction combined with UV-vis spectroscopy-diode array detection. *Spectrochimica Acta Part A: Molecular and Biomolecular Spectroscopy*. 2011;79(3):603-607. doi: org/10.1016/j.saa. 2011.03.042
- [25] Esrafil A, Yamini Y, Ghambarian M, Shariati SH, Moradi M. Measurement of fluoroquinolone antibiotics from human plasma using hollow fiber liquid phase microextraction based on carrier mediated transport. *Journal of Liquid Chromatography & Related Technologies*. 2012;35(3):343-354. doi: org/10.1080/10826076. 2011. 601488
- [26] Esrafil A, Yamini Y, Shariati SH. Hollow fiber-based liquid phase microextraction combined with high-performance liquid chromatography for extraction and determination of some antidepressant drugs in biological fluids. *Analytica Chimica Acta*. 2007;604(2):127-133. doi: org/10.1016/j.aca.2007.10.012
- [27] Sarafraz-Yazdi A, Amiri A.H, Es'haghi Z. BTEX determination in water matrices using HF-LPME with gas chromatography-flame ionization detector. *Chemosphere*. 2008;71(4):671-676. doi: org/10.1016/j.chemosphere.2007.10.073
- [28] Es'haghi Z, Azmoodreh R. Hollow fiber supported liquid membrane microextraction of Cu<sup>2+</sup> followed by flame atomic absorption spectroscopy determination. *Arabian Journal of Chemistry*. 2010;3(1):21-26. doi: org/10.1016/j.arabjc.2009.12.004
- [29] Siang G.H, Makahleh A, Saad B. Hollow fiber liquid-phase microextraction coupled with gas chromatography-flame ionization detection for the profiling of fatty acids in vegetable oils. *Journal of Chromatography A*. 2010;12174(52):8073-8078. doi: org/10.1016/j.chroma.2010.10.052
- [30] Perez-Serradilla JA, Priego-Capote F. Simultaneous ultrasound-assisted emulsification-extraction of polar and nonpolar compounds from solid plant samples. *Analytical Chemistry*. 2007; 79(17):6767-6774. doi: org/10.1021/ac0708801
- [31] Luque de Castro MD, Priego-Capote F. Ultrasound-assisted preparation of liquid samples. *Talanta*. 2007;72(2): 321-334. doi: org/10.1016/j.talanta.2006.11.013
- [32] Quesada JM, Mata-Granados JM, Luque de Castro MD. Automated method for the determination of fat-soluble vitamins in serum. *The Journal of Steroid Biochemistry and Molecular Biology*. 2004;89-90:473-477. doi: org/10.1016/j.jsbmb.2004.03.056
- [33] Sobhi HR, Yamini Y, Esrafil A, Baghdad Abadi R. Suitable conditions for liquid-phase microextraction using solidification of a floating drop for extraction of fat-soluble vitamins established using an orthogonal array experimental design. *Journal of Chromatography A*. 2008;1196-1197:28-32. doi: org/10.1016/j.chroma.2008.05.005
- [34] Moreno P, Salvadó V. Determination of eight water- and fat-soluble vitamins in multi-vitamin pharmaceutical formulations by high-performance liquid chromatography. *Journal of Chromatography A*. 2000;870(1-2):207-215. doi: org/10.1016/S0021-9673(99)01021-3

## بهینه‌سازی فرایند استخراج با حلال فلزهای روی، مس و نیکل از محلول حلال‌شویی اسیدی به‌همراه بررسی ترمودینامیکی و مرحله‌های فرایند

### سمیه کلبادی نژاد<sup>۱</sup> و احمد قائمی<sup>۲\*</sup>

۱. پسا دکترا دانشکده مهندسی شیمی، نفت و گاز، دانشگاه علم و صنعت ایران، تهران، ایران.  
۲. استاد تمام دانشکده مهندسی شیمی، دانشگاه علم و صنعت ایران، تهران، ایران.

دریافت: آبان ۱۴۰۳ بازنگری: آذر ۱۴۰۳ پذیرش: آذر ۱۴۰۳



<https://doi.org/10.30495/JACR1.1403.1191845>

### چکیده

در این پژوهش، بهینه‌سازی فرایند استخراج با حلال برای استخراج فلزهای روی، مس و نیکل از محلول حلال‌شویی اسیدی کیک صافی سرد، انجام شد. سه مرحله برای استخراج انتخابی فلزها از محلول حلال‌شویی اسیدی درنظر گرفته شد. در مرحله اول فرایند استخراج با حلال، ۹۳/۶۷ درصد روی از محلول حلال‌شویی با pH برابر با ۴ به کمک حلال دپا ۲۰ درصد در نفت سفید، استخراج شد. در مرحله دوم فرایند استخراج، ۱۰۰ درصد مس از محلول رافینیت مرحله اول با pH برابر با ۲/۳ و با حلال ۱۰ درصد مکسترال ۵۶۴۰ در نفت سفید، استخراج شد. در مرحله سوم فرایند استخراج، ۸۸/۶۱ درصد نیکل از محلول رافینیت مرحله دوم با pH برابر با ۷ با حلال ۲۰ درصد دپا در نفت سفید، استخراج شد. دور همزن ۲۰۰ دور بر دقیقه و دمای محیط برای همه آزمایش‌های فرایند استخراج با حلال، ثابت درنظر گرفته شد. مقدار فلزها در دو محلول رافینیت و استخراج به کمک جذب اتمی تعیین شد. هر سه مرحله فرایند استخراج به صورت گرم‌آگیر و خودبه‌خودی انجام شد.

**واژه‌های کلیدی:** استخراج با حلال، فلزهای سنگین، دپا، مکسترال ۵۶۴۰، مدلسازی ترمودینامیکی، تعیین مرحله‌های فرایند.

## مقدمه

و سیانکس ۲۷۲ اثر هم افزایی برای استخراج روی دارد [۲۴]. عملکرد حلال چمپرکس سی پی ۱۵۰ با حلال‌های دپا و سیانکس ۲۷۲ برای جداسازی مس مقایسه شد [۲۵]. استخراج مس از محلول سولفات با حلال‌های لیکس ۹۸۴ ان و آکورگا ام ۵۹۱۰ [۲۶] و حلال مکسترال ۱۵۶۴۰ اج [۲۷]، در شرایط متفاوت مطالعه شد. اثر عامل‌های زمان، غلظت حلال، نسبت فازهای آلی به آبی و pH تعادل بر بازده بررسی شد [۲۸]. استخراج کادمیم با عامل سنتزی  $C_{11}H_{18}N_2O$  [۲۹]، حلال سیانکس ۳۰۱ [۳۰] بررسی شد. استخراج نیکل با ورساتیک ۱۰ [۳۱]، حلال دپا [۳۲]، حلال لیکس ۸۴۱ [۳۳]، حلال پی ۵۰۷ [۳۴] و حلال سیانکس ۲۷۲ [۳۵] بررسی شد.

استخراج انتخابی فلزهای روی، مس و نیکل از محلول واقعی (با حضور یون‌های مزاحم) حلال‌شویی اسیدی کیک صافی سرد کارخانه مهسان روی دلیجان به کمک حلال‌هایی با صرفه اقتصادی و در دسترس، نواوری و هدف اصلی این پژوهش است. تاثیر چهار عامل زمان، نسبت فاز آلی به آبی، نوع و غلظت حلال و pH در هر مرحله استخراج بررسی شد. اما سرعت همزن و دمای محیط ثابت در نظر گرفته شد. عدم تغییر pH، بهدلیل کاهش مصرف واکنشگرها و کاهش آводگی مراحل بعدی، یکی از مزایای استخراج است که در دو مرحله اول و دوم، pH محلول تغییری نداشت. استخراج ۱۰۰ درصدی مس در مرحله دوم نیز از سایر نواوری‌های این پژوهش است.

## بخش تجربی

برای بازیابی فلزهای روی، مس و نیکل از محلول حلال‌شویی، فرایند استخراج با حلال به کارگرفته شد. محلول موردنیاز در این مرحله، با حلال‌شویی ۱۳/۵ گرم کیک صافی به ابعاد ۱۷۷ میکرون در ۱۵۰ میلی‌لیتر آب و محلول سولفوریک اسید با pH برابر با ۲/۵ در دمای ۴۰ درجه سلسیوس به مدت ۱/۵ ساعت تهیه شد. غلظت اولیه یون‌فلزهای مورد نظر در محلول قابل تغییر نبود.

نیکل، مس و روی از عنصرهای راهبردی برای صنایع هستند [۱]. دستیابی به روشی ارزان و ساده برای استخراج فلزها بسیار با اهمیت است [۲]. ابتدا فلز / فلزهای منتخب با حلال‌شویی<sup>۱</sup> جدا [۳] و سپس با استخراج انتخابی، خالص‌سازی فلزها انجام می‌شود [۴]. تهشیین و بر جذب نیز برای خالص‌سازی به کارگرفته می‌شوند [۵]. برخلاف روش استخراج، در جداسازی شیمیایی امکان ایجاد فراورده‌های جانبی نامناسب وجود دارد [۶]. انتخاب حلال در استخراج، بایستی از دید فنی و اقتصادی موردنوجه قرار گیرد [۷]. برای مثال، در صورت استفاده از سیال آبریحرانی، میکرواستخراج فاز جامد / مایع، فرایندی هزینه‌بر است [۸].

استخراج شامل توزیع نمک‌ها بین دو فاز مایع غیرقابل اختلاط و در تماس با یکدیگر می‌شود [۹]. مهم‌ترین ویژگی‌های حلال انتخاب‌پذیری و ظرفیت بالای حلال، ضریب توزیع، ضریب غلظت یک جزء در هر دو فاز مایع، گران‌روی کم و حلالیت کم فازها [۱۰] است. تفاوت زیاد چگالی و فشار بخار بین جزء هدف و رافینیت نیز باید در نظر گرفته شود [۱۱ و ۱۲]. همچنین، حلال باید غیررسمی، غیرخورنده و غیرقابل اشتعال باشد [۱۳]. برای مطالعه اثر عامل‌ها و هم‌افزایی آن‌ها بر استخراج یون‌های فلزی، روش سطح‌پاسخ به کارگرفته شده است [۱۴ و ۱۵]. اثر هم افزایی حلال‌های آلی تری بوتیل‌فسفات و دپا [۱۶]، حلال لیکس ۹۸۴ ان [۱۷]، لیگاندهای فنوکسی آمینو برای استخراج مس بررسی شده‌اند [۱۸]. در برخی موارد، استخراج از رسوب فلز در محلول جلوگیری می‌کند [۱۹].

با وجود استخراج روی با دپا [۲۰]، صابونی‌شدن حلال دپا با سدیم هیدروکسید به استخراج کمک می‌کند [۲۱]. همچنین، تعداد مراحل استخراج در حالت صابونی، کمتر است [۲۲]. درصد روی طی دو مرحله با دپا استخراج شد [۲۳]. مخلوط دپا

<sup>۱</sup>. Leaching

## قائمی و همکاران

حلال دپا یک ترکیب ارگانوفسفره با فرمول شیمیایی  $\text{C}_8\text{H}_{17}\text{O})_2\text{PO}_2\text{H}$  و یک مایع بی رنگ از ترکیب فسفریک اسید و ۲-اتیل هگزانول است. بیشتر استفاده دپا برای استخراج فلزهای روی، کیالت و نیکل است. مکستراال ۵۶۴۰ اچپر کاربردترین حلال و جداکننده مس در واحدهای تولیدی بزرگ کاتد مس بهروش حلال شویی است. سیانکس ۲۷۲ مکستراال ۵۶۴۰ جاچ تعادل بر مقدار حلال جداکننده کیالت از نیکل است. اثر  $\text{pH}$  تعادل بر مقدار استخراج فلزهای منفاوت با حلال دپا، مکستراال ۵۶۴۰ جاچ و سیانکس ۲۷۲ در شکل ۱ نشان داده شده است.

## مواد

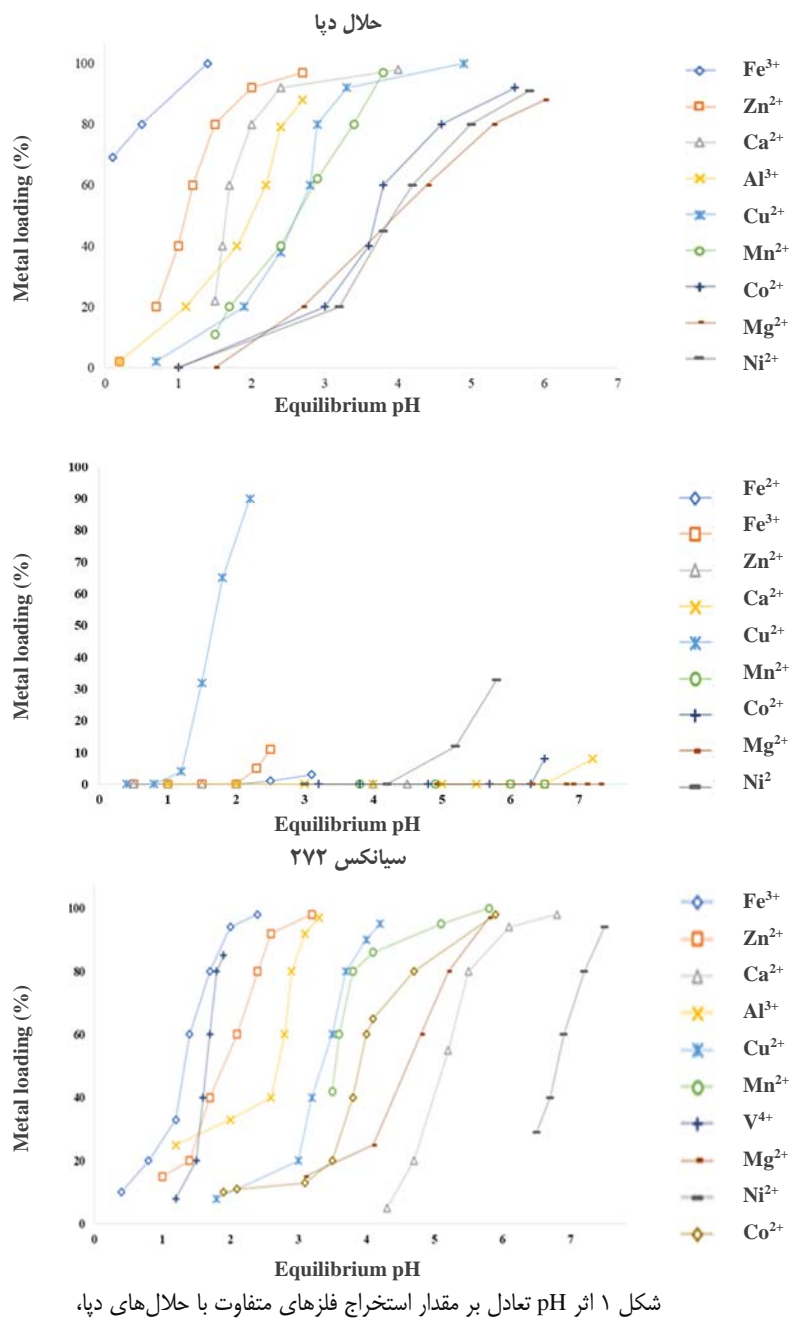
در فرایند استخراج با حلال، انتخاب حلال بخش مرکزی برنامه ریزی فرایند است. انتخاب حلال برپایه کشش سطحی و گران روی کم، ظرفیت بازیابی، گرمای نهان تبخیر کم، قیمت مناسب و در دسترس بودن انجام شد. بنابراین، از سه حلال دپا، مکستراال ۵۶۴۰ جاچ و سیانکس ۲۷۲ از شرکت مکفاسیمی استفاده شد. ویژگی های حلال ها در جدول ۱ آورده شده است.

اثر تعادل بر مقدار استخراج فلزهای منفاوت با حلال ها

جدول ۱ ویژگی های حلال های دپا، مکستراال ۵۶۴۰ و سیانکس ۲۷۲

سیانکس ۲۷۲	مکستراال ۵۶۴۰ جاچ	دپا	ویژگی ها
مایع زرد کم رنگ- بی رنگ	مایع کهربایی شفاف	مایع زرد کم رنگ- بی رنگ	ظاهر حلال
۰.۹۲۰۰	۰.۹۶۰۰	۰.۹۷۵۶	وزن مخصوص (گرم بر میلی لیتر)
۱۴۲	$\leq ۲۰۰$	۳۹-۴۵	گران روی (سانتی پوآز، ۲۵ درجه سلسیوس)
$> ۱۰۸$	$\geq ۹۰$	$> ۱۶۰$	نقطه اشتعال (درجه سلسیوس)
$\geq ۳۰۰$	$\geq ۲۵۰$	۲۰۹	نقطه جوش (۱۰ میلی متر جبوه، درجه سلسیوس)
$< ۱۶ \times 10^{-۳}$	$< ۵ \times 10^{-۵}$	$< ۰.۰۱$	حلایلت در آب (گرم بر لیتر)
۹۷	۹۹	۹۸	خلوص (درصد وزنی)

## بهینه‌سازی فرایند استخراج با حلال فلزهای روی، مس و نیکل ...



شکل ۱ اثر pH تعادل بر مقدار استخراج فلزهای متفاوت با حلال‌های دپا،

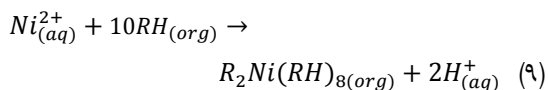
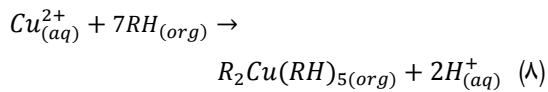
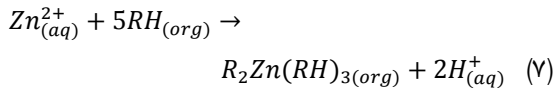
مکسترال ۴۵۶۴۰ و سیانکس ۲۷۲

سولفات با حلال را می‌توان به صورت زیر نوشت:

بررسی سینتیکی مراحل استخراج  
واکنش استخراج یون فلزی دو ظرفیتی، از محلول‌های

## قائمی و همکاران

در مقابل pH برای مقادیر متفاوت n در هر مرحله استخراج، تجزیه و تحلیل می‌شود. برایه این معادله، شب خط باید برابر ۲ باشد. یعنی هر کاتیون فلز کمپلکس شده با n تعداد جداسده با (n-2) مولکول دیگر RH در فاز آلی احاطه و ثبیت می‌شود. بنابراین، برای سه مرحله استخراج، می‌توان نوشت:



بررسی ترمودینامیکی مراحل استخراج  
با به کارگیری روابط وانت هو夫، وایازش خطی  $D_M$   
در مقابل  $\frac{1}{1000T}$  رسم و از شبیه این نمودار مقدار آنتالپی  
محاسبه شد. همچنین، انرژی آزاد گیس و آنتروپی در دمای ۲۵  
درجه سلسیوس محاسبه شدند که در جدول ۲ آورده شده‌اند. اگر  
علامت انرژی آزاد گیس منفی باشد، واکنش خودبه‌خودی  
است. استخراج هر سه مرحله، واکنشی خودبه‌خودی بود. برخی  
واکنش‌ها با وجود تغییرهای آنتالپی مثبت، خودبه‌خودی انجام  
می‌شوند. در این نوع واکنش‌ها، آنتروپی نقش مهمی دارد. مقدار  
آنتروپی مثبت نشان‌دهنده میل اتحلال یون فلزها و افزایش  
حرکت تصادفی یون‌های فلزی در سطح مشترک فاز آلی و آبی  
است.



که در آن  $M^{2+}_{(aq)}$  یون فلز در محلول به دست آمده از حلال شویی،  $RH_{(org)}$  حلال آلی،  $R_2M(RH)_{n-2(org)}$  کمپلکس فلز / حلال و  $H^+_{(aq)}$  اسید در فاز رافینیت است. ثابت تعادل در واکنش بالا به صورت زیر است:

$$K = \frac{[R_2M(RH)_{n-2}]_{org} [H^+]_{org}^2}{[M^{2+}]_{aq} [RH]_{org}^n} \quad (2)$$

از طرفی ضریب توزیع یون فلزی  $M$  یعنی  $D_M$  برابر است:  
با:

$$D_M = [C_o]/[C_a] \quad (3)$$

که در آن  $[C_o]$  و  $[C_a]$  به ترتیب غلظت مولی M در فاز آلی و آبی هستند.

برایه واکنش استخراج یادشده و معادله ۳ می‌توان نوشت:  
(معادله ۴):

$$D_M = \frac{[R_2M(RH)_{n-2}]_{org}}{[M^{2+}]_{aq}} \quad (4)$$

و معادله ۲ به صورت زیر بازنویسی می‌شود:

$$K = D_M \frac{[H^+]_{org}^2}{[RH]_{org}^n} \quad (5)$$

با گرفتن لگاریتم از طرفین معادله ۵، معادله ۶ به دست می‌آید:

$$\log D_M - n \log [RH]_{org} = \log K + 2pH \quad (6)$$

معادله ۶ با رسم وایازش<sup>۱</sup> خطی

<sup>1</sup>. Regression

در این پژوهش، فرایند استخراج با حلال برای خالص‌سازی و جداسازی فلزهای نیکل، مس، روی و کادمیم از محلول حلال شویی اسیدی با حضور یون‌های مزاحم با حلال‌های در دسترس و باصرفه اقتصادی، بررسی شد. سه مرحله فرایند استخراج با حلال با هدف بازیابی انتخابی فلزهای روی از محلول حلال شویی، مس از محلول رافینیت مرحله اول و نیکل از محلول رافینیت مرحله دوم انجام شد. عدم تغییر pH و استخراج ۱۰۰ درصدی مس در مرحله دوم، بسیار قابل توجه بود. با نتیجه‌های تجربی به دست آمده و مدل‌سازی صورت پذیرفته، تعداد مرحله‌های مورد نیاز به همراه چگونگی استخراج در هر مرحله، تعیین شد. هر سه مرحله فرایند استخراج، گرم‌اگیر و خودبه‌خودی بودند. برای ادامه این کار پژوهشی و تکمیل داده‌های جمع‌آوری شده در فرایندهای ناپیوسته، مطالعه و بررسی اقتصادی فرایند پیوسته استخراج با حلال، مطالعه و طراحی مقیاس نیم‌صنعتی این فرایند، بررسی استفاده از مایع‌های یونی و ترکیب آن‌ها با حلال‌های موجود، پیشنهاد می‌شود.

### سپاسگزاری

بدین‌وسیله از جناب آقای دکتر تقی‌زاده و همکاران محترم شرکت مهسان روی دلیجان که ما را در انجام این پژوهش یاری کردند، کمال تشکر و قدردانی را داریم.

جدول ۲ مقادیر عامل‌های ترمودینامیکی استخراج روی با حلال دپا

مرحله استخراج	عامل ترمودینامیکی	مقدار
مرحله اول (استخراج روی)	انرژی آزاد گیس (کیلوژول بر مول)	-۴۰,۲۷
	آنالپی (کیلوژول بر مول)	۱۱,۶۷
	آنتروبی (کیلوژول بر مول. کلوین)	۰,۱۸
مرحله دوم (استخراج مس)	انرژی آزاد گیس (کیلوژول بر مول)	-۱۰,۸۳
	آنالپی (کیلوژول بر مول)	۴,۳۱
	آنتروبی (کیلوژول بر مول. کلوین)	۰,۰۵
مرحله سوم (استخراج نیکل)	انرژی آزاد گیس (کیلوژول بر مول)	-۸۹,۲۰
	آنالپی (کیلوژول بر مول)	۱۴,۴۱
	آنتروبی (کیلوژول بر مول. کلوین)	۰,۳۵

### فرایند/ستریپ

برای بررسی شرایط استریپ حلال در مرحله اول سولفوریک اسید ۱ مولار، در مرحله دوم سولفوریک اسید ۲ مولار و در مرحله سوم سولفوریک اسید ۱ مولار استفاده شد. غلظت یون فلز در فاز آبی با طیف‌سنج جذب اتمی (AAS) اندازه‌گیری شد. حلال به دست آمده از مرحله استریپ به عنوان حلال تازه در جداسازی فلز از رافینیت استفاده شد.

### نتیجه‌گیری

### مراجع

- [1] Nusen S, Yottawee N, Cheng CY, Chairuangstri T. Characterisation of zinc plant, cold-purification filter cake and leaching of indium by aqueous sulphuric acid solution. Chiang Mai Journal of Science. 2015;42(3):718-729.
- [2] Mbaya RKK, Ramakokovhu MM, Thubakgale CK. Atmospheric pressure leaching application for the recovery of copper and nickel from low-grade sources.
- [3] Mahmoud MHH. Leaching platinum-group metals in a sulfuric acid / chloride solution. Journal of the Minerals, Metals & Materials Society. 2003;55(4):37-40. doi: 10.1007/s11837-003-0086-y
- [4] Gislev M, Grohol M. European Commission, Report on Critical Raw Materials and the

- Circular Economy. Milan: European Union; 2018.
- [5] Xing WD, Lee MS. A process for the separation of noble metals from HCL liquor containing gold(III), palladium(II), platinum(IV), rhodium(III), and iridium(IV) by solvent extraction. *Processes*. 2019;7(5):243 doi: [org/10.3390/pr7050243](https://doi.org/10.3390/pr7050243)
- [6] Ghanadzadeh H, Ghanadzadeh A. (Liquid + liquid) equilibria in (water + ethanol + 2-ethyl-1-hexanol) at T = (298.2, 303.2, 308.2, and 313.2) K. *J Chem Thermodyn*. 2003;35(9):1393-401. doi: [org/10.1016/S0021-9614\(03\)00127-7](https://doi.org/10.1016/S0021-9614(03)00127-7)
- [7] Rydberg, J, editors. Solvent extraction principles and practice, revised and expanded. Boca Raton: CRC Press; 2004. doi: [org/10.1201/9780203021460](https://doi.org/10.1201/9780203021460)
- [8] Anzum R, Alawamleh HSK, Bokov DO, Jalil AT, Hoi HT, Abdelbasset WK, et al. A review on separation and detection of copper, cadmium, and chromium in food based on cloud point extraction technology. *Food Sci Technol*. 2022;42:e80721. doi: [10.1590/fst.80721](https://doi.org/10.1590/fst.80721)
- [9] Krishnamurthy N, Gupta CK. Extractive metallurgy of rare earths, 2<sup>nd</sup> Edition. UK: CRC Press; 2016. doi: [org/10.1201/b19055](https://doi.org/10.1201/b19055)
- [10] Poole CF. Chapter 2 - Solvent selection for liquid-phase extraction. In: Poole CF, editor. Handbooks in Separation Science, Liquid-Phase Extraction. Amsterdam: Elsevier; 2020. p. 45-89. doi: [org/10.1016/B978-0-12-816911-7.00002-5](https://doi.org/10.1016/B978-0-12-816911-7.00002-5)
- [11] Chavarro JE, Gutiérrez MF, Orjuela Á. A quantitative multi-criteria solvent selection method for extraction processes: Case study—downstream purification of sucrose-based surfactants. *J Surfactants Deterg*. 2020;23(3):513–26. doi: [10.1002/jsde.12397](https://doi.org/10.1002/jsde.12397)
- [12] Arroyo-Avirama AF, Gajardo-Parra NF, Espinoza-Carmona V, Garrido JM, Held C, Canales RI. Solvent selection for the extraction of 2-Phenylethanol from aqueous phases: Density and viscosity studies. *J Chem Eng Data*. 2022;67(8):1893–904. doi: [10.1021/acs.jced.1c00975](https://doi.org/10.1021/acs.jced.1c00975)
- [13] Hegazy MM, Badawi AA, El-Nabarawi MA, Eldegwy MA, Louis D. One factor at a time and factorial experimental design for formulation of L-carnitine microcapsules to improve its manufacturability. *Heliyon*. 2024;10(1):e23637. doi: [org/10.1016/j.heliyon.2023.e23637](https://doi.org/10.1016/j.heliyon.2023.e23637)
- [14] Konagano EMH, da Costa HSC, de Souza JNS, Herman CANP. One-factor-at-a-time optimisation of the aqueous extraction of the peroxidase from fresh Amazonian cacao beans. *Int Food Res J*. 2020;27(4):694–701.
- [15] Rajewski J, Dobrzańska-Inger A. Application of response surface methodology (RSM) for the optimization of chromium(III) synergistic extraction by supported liquid membrane. *Membranes* (Basel). 2021;11(854):1-17 doi: [org/10.3390/membranes11110854](https://doi.org/10.3390/membranes11110854)
- [16] Afzali Z, Irannajad M, Azadmehr A. Copper extraction from aqueous solution by organic solvents of TBP and D2EHPA in buffer solution. *Amirkabir Journal of Civil Engineering*. 2015;47(1):109–117. doi: [10.22060/ceej.2015.476](https://doi.org/10.22060/ceej.2015.476)
- [17] Devi NB, Nayak B. Liquid-liquid extraction and separation of copper(II) and nickel(II) using LIX®984N. *J South African Inst Min Metall*. 2014;114(11):937-43.
- [18] Nyamato GS, Wambugu K, Kiratu J, Ojwach SO. Liquid-liquid extraction of copper(II), zinc(II), cadmium(II), and lead(II) from aqueous solution and sewage effluent using phenoxy-amino ligands. *Water Sci Technol*. 2022;85(10):2993-3001. doi: [org/10.2166/wst.2022.164](https://doi.org/10.2166/wst.2022.164)
- [19] Balesini-Aghdam AA, Yoozbashizadeh H,

- Moghaddam J. Direct hydrometallurgical separation of Zn(II) from brine leaching solution of zinc filter cake by simple solvent extraction process. *Physicochem Probl Miner Process.* 2019;55(3):667-78. doi: [10.5277/ppmp18179](https://doi.org/10.5277/ppmp18179)
- [20] Soltani F, Darabi H, Aram R, Ghadiri M. Leaching and solvent extraction purification of zinc from Mehdiabad complex oxide ore. *Sci Rep.* 2021;11(1):1-11. doi: [org/10.1038/s41598-021-81141-7](https://doi.org/10.1038/s41598-021-81141-7)
- [21] Li Y, Hu J, Fu M, Tang J, Dong L, Liu S. Investigation of intermolecular interactions of mixed extractants of quaternary phosphonium or ammonium chlorides and bis(2,4,4-ethylhexyl)phosphoric acid for metal separation. *RSC Adv.* 2016;6(62):56772-9. doi: [org/10.1039/C6RA07813C](https://doi.org/10.1039/C6RA07813C)
- [22] Tahmasebizadeh P, Javanshir S. Solvent extraction of zinc from a bioleaching solution by modification of D2EHPA: Optimization and thermodynamic studies. *J Min Environ.* 2021;12(1):253-69. doi: [10.22044/jme.2021.10324.1979](https://doi.org/10.22044/jme.2021.10324.1979)
- [23] Jafari H, Abdollahi H, Gharabaghi M, Balesini AA. Solvent extraction and stripping of zinc from synthetic chloride solution in presence of manganese and cadmium as impurities. *J Min Environ.* 2019;10(4):1083-93. doi: [org/10.22044/jme.2019.8708.1755](https://doi.org/10.22044/jme.2019.8708.1755)
- [24] Asadi T, Azizi A, Lee J chun, Jahani M. Solvent extraction of zinc from sulphate leaching solution of a sulphide-oxide sample using D2EHPA and Cyanex 272. *J Dispers Sci Technol.* 2018;39(9):1328-34. doi: [10.1080/01932691.2017.1402338](https://doi.org/10.1080/01932691.2017.1402338).
- [25] Feizollahi S, Azizi A. Solvent extraction of copper from an industrial sulfate liquor using Chemorex CP-150. *J Min Environ.* 2018;9(4):905-16. doi: [org/10.22044/jme.2018.7161.1568](https://doi.org/10.22044/jme.2018.7161.1568)
- [26] Ruiz MC, Risso J, Seguel J, Padilla R. Solvent extraction of copper from sulfate-chloride solutions using mixed and modified hydroxyoxime extractants. *Miner Eng.* 2020;146:106109. doi: [org/10.1016/j.mineng.2019.106109](https://doi.org/10.1016/j.mineng.2019.106109)
- [27] Hosseinzadeh M, Petersen J, Azizi A. Solvent extraction studies of copper from a heap leach liquor using mextral 5640H minerals. *2022;12(10):1-14.* doi: [org/10.3390/min12101322](https://doi.org/10.3390/min12101322)
- [28] Lee LY, Morad N, Ismail N, Rafatullah M. Synergistic Extraction of Cd, Cu and Ni with D2EHPA/TBP: Screening of Factors by Fractional Factorial Design. *Int J Chem Eng Appl.* 2019;10(4):114-20. doi: [10.18178/ijcea.2019.10.4.752](https://doi.org/10.18178/ijcea.2019.10.4.752)
- [29] Berkalou K, Nounah A, Khamar M, Cherkaoui E, Boussen R. Removal of cadmium from phosphoric acid by the liquid-liquid extraction process using synthetic agent C11H18N2O. *Int J Adv Res Eng Technol.* 2020;11(6):28-35. doi: [org/10.17605/OSF.IO/R2Q3H](https://doi.org/10.17605/OSF.IO/R2Q3H)
- [30] Qian Z, Qiao J, Jiang D, Lin J, Chen A, Ma Y, et al. Removal of cadmium from cobalt sulfate by solvent extraction using cyanex 301. *Jom.* 2018;70(8):1459-63. doi: [org/10.1007/s11837-018-2946-5](https://doi.org/10.1007/s11837-018-2946-5)
- [31] Abo Atia T, Deferm C, Machiels L, Khoshkhoo M, Riaño S, Binnemans K. Solvent extraction process for refining cobalt and nickel from a “bulk hydroxide precipitate” obtained by bioleaching of sulfidic mine tailings. *Ind Eng Chem Res.* 2023;62(43):17947-58. doi: [/10.1021/acs.iecr.3c02612](https://doi.org/10.1021/acs.iecr.3c02612)
- [32] Arslan F, Büşra Güven Z, Yenial Arslan Ü, Benli B, Arslan C. Solvent extraction of nickel from iron and cobalt containing sulfate solutions. *Mater Sci Eng Int J.*

- 2023;7(1):1-6. doi: [10.15406/mseij.2023.07.00195](https://doi.org/10.15406/mseij.2023.07.00195)
- [33] Yuchang Xiao BASc by. Solvent Extraction of Nickel from Complexation Leachate Solution. 2023;(February). doi: org/10.14288/1.0424306
- [34] Rao M, Zhang T, Li G, Zhou Q, Luo J, Zhang X, et al. Solvent extraction of Ni and Co from the phosphoric acid leaching solution of laterite ore by P204 and P507. Metals (Basel). 2020;10(4):4–5. doi: org/10.3390/met10040545
- [35] Rodrigues IR, Deferm C, Binnemans K, Riaño S. Separation of cobalt and nickel via solvent extraction with Cyanex-272: Batch experiments and comparison of mixer-settlers and an agitated column as contactors for continuous counter-current extraction. Sep Purif Technol. 2022;296(121326):1-10. doi: org/10.1016/j.seppur.2022.121326

## بررسی رفتار شبکه‌ای شدن نانوچندسازه‌های برپایه اپوکسی حاوی نانوذره‌های سیلیکا اصلاح شده با گروه‌های پرشاخه آمین

زهرا حاتمی‌رامشه<sup>۱\*</sup>، خدیجه دیده‌بان<sup>۲\*</sup> و محمد رضا صائب<sup>۳</sup>

۱. دانشجوی دکتری گروه شیمی، دانشگاه پیام نور، تهران، ایران.

۲. استاد تمام گروه شیمی، دانشگاه پیام نور، تهران، ایران.

۳. استاد تمام گروه رزین و افزودنی‌ها، پژوهشگاه رنگ، تهران، ایران.

دریافت: اردیبهشت ۱۴۰۲ بازنگری: آذر ۱۴۰۲ پذیرش: آذر ۱۴۰۲



<https://doi.org/10.30495/JACR1.1403.1044830>

### چکیده

این مطالعه به بررسی تاثیر افزایش نانوذره‌های سیلیکای عامل‌دار شده بر رفتار پخت نانوچندسازه‌های اپوکسی می‌پردازد. نانوسیلیکا ابتدا با روش استوپر تهییه، و سپس از راه پیوند گروه‌های هیدروکسیل سطح به سیلان، اصلاح شد. در ادامه آزمایش‌ها، گلوتاردی‌آلدهید به گروه‌های سیلان سطح نانوذره‌های اصلاح شده متصل شد. در مرحله بعدی گروه‌های عاملی پلی‌اتیلن‌ایمین پرشاخه به سطح نانوذره‌ها متصل شد. نانوذره‌های به دست آمده با میکروسکوپ الکترونی عبوری (TEM) مشخصه‌یابی و پیوند گروه‌های عاملی با سطح با طیف-سنجدی فروسرخ تبدیل فوریه (FTIR) و نیز تجزیه وزن‌سنجدی گرمایی (TGA) بررسی شد. نتیجه‌ها نشان‌دهنده اصلاح موفقیت‌آمیز سطح نانوذره‌ها و نیز تولید نانوذره‌های سیلیکا با ابعاد حدود ۵۰ و ۷۰ نانومتر در حالت خالص و اصلاح شده بوده است. همچنین، افزایش قابل توجهی در گرمایی واکنش پخت با افزودن نانوسیلیکا اصلاح شده با پلی‌اتیلن‌ایمین مشاهده شد که نشان داد گروه‌های آمین و هیدروکسیل در سیلیکای اصلاح شده، به صورت موثر در واکنش پخت شرکت کرده و موجب آسانی پخت اپوکسی/آمین شدن. افزودن ۱٪ درصد وزنی نانوسیلیکا خالص و اصلاح سطح شده، موجب افزایش دمای انتقال شیشه‌ای اپوکسی شد. این افزایش برای سامانه اپوکسی حاوی نانوذره‌های سیلیکا اصلاح شده با پلی‌اتیلن‌ایمین (PEI) از ۸۲ به ۸۴٪ درجه سلسیوس بوده است. این مطالعه نشان می‌دهد که نانوذره‌های سیلیکا اصلاح شده می‌توانند بهبود قابل توجهی در ویژگی گرمایی و مکانیکی نانوچندسازه‌های اپوکسی ارائه دهند. این یافته‌ها بهبود فرایندهای پخت و افزایش کارایی مواد نانوچندسازه‌ای را نشان می‌دهند.

**واژه‌های کلیدی:** اپوکسی، نانوسیلیکا، شبکه‌ای شدن، اصلاح سطح، نانوچندسازه.

## مقدمه

افزودن نانو سیلیکا به نانو چندسازه های اپوکسی، فرایнд حلقه گشایی بین رزین و سیلیکا را بهبود می بخشد. بررسی های وزن سنجی گرمایی و گرماسنجی رویشی تفاضلی نشان می دهد که افزودن نانو سیلیکا تا مقدار مشخص، ویژگی را بهبود می بخشد، ولی پس از آن ویژگی کاهش می باید [۵]. افزودن نانو سیلیکا تا مقادیر مشخص، استحکام کششی، خمشی و چقرمگی را بهبود می دهد [۸]. برای مثال، بررسی افزایش چسبندگی و مقاومت در برابر خوردگی فولاد کربنی با پوشش های متفاوت از جمله اپوکسی-نانو سیلیکا در درصد های وزنی متفاوت، نشان داد که مقدار چسبندگی و مقاومت در برابر خوردگی، به یکدیگر وابسته هستند و توزیع و پراکنش یکنواخت نانو سیلیکا با مقدار بارگذاری بالاتر، کاهش می باید. آزمون گرمایی DSC نیز بیانگر تفاوت فرایند پخت در پوشش های اپوکسی/نانو سیلیکا در مقایسه با اپوکسی خالص بود، به گونه ای که همزمان با افزایش بارگذاری نانو سیلیکا، سینتیک پخت رزین اپوکسی نیز دچار تغییر شد [۸]. وجود نانو ذره های سیلیکا، سرعت واکنش در مراحل اولیه پخت را افزایش می دهد [۹]. در این پژوهش، نانو ذره های سیلیکا با گروه های عاملی مناسب سطح اصلاح و به رزین اپوکسی افزوده شدند. واکنش پخت و رفتار شبکه ای شدن سامانه ها با آزمون گرمایی DSC بررسی و در مورد تغییرهای دمای اولیه و دمای اوج نمودارهای گرمایی و گرمایی واکنش در نمونه های متفاوت بحث شد.

## بخش تجربی

### مواد

تتراتیل اورتو سیلیکات (TEOS<sup>۳</sup>)، آمینو سیلان<sup>۴</sup>، گلو تاردی آلدید<sup>۵</sup> از شرکت مرک خریداری شد. رزین اپوکسی<sup>۶</sup> با قابلیت عملکرد در دمای بالا و مقاوم در برابر مواد شیمیایی و

نанو چندسازه های اپوکسی به دلیل ویژگی فیزیکی و شیمیایی بی همتا، در صنایع متفاوتی مانند هوافضا، نظامی و خودرو سازی کاربرد دارند. رزین های اپوکسی به دلیل استحکام مکانیکی بالا، مقاومت به خوردگی و پایداری گرمایی، به عنوان بستر مناسبی برای نانو چندسازه ها استفاده می شوند [۱]. جالش اصلی، دستیابی به توزیع یکنواخت نانو ذره ها در بستر اپوکسی است. نانو ذره های سیلیکا به دلیل سطح ویژه بالا و قابلیت اصلاح سطح، به عنوان پرکننده های موثر در بهبود ویژگی نانو چندسازه های اپوکسی استفاده می شوند [۲]. اصلاح سطح نانو ذره های سیلیکا با گروه های آلی مناسب، پراکنش و توزیع این نانو ذره ها را در بستر اپوکسی بهبود می بخشد و ویژگی مکانیکی و گرمایی را افزایش می دهد [۳].

چندسازه های بسپار گرماسخت در صنایع نظامی و هوافضا کاربرد دارند. رزین های اپوکسی با ویژگی فیزیکی و شیمیایی مناسب، به عنوان ماده اصلی این سامانه ها استفاده می شوند [۴]. نوع، شکل هندسی، مقدار و توزیع پرکننده در بستر بسپار بر ویژگی چندسازه نهایی تاثیر زیادی دارد. روش های گرماسنجی مانند گرماسنجی رویشی تفاضلی (DSC<sup>۱</sup>) برای مطالعه رفتار شبکه ای شدن سامانه ها استفاده می شود [۵ و ۶]. نانو ذره های سیلیکا به دلیل قیمت مناسب و سطح ویژه بالا، ویژگی مکانیکی و پایداری رزین های اپوکسی را افزایش می دهند [۷]. بر پایه مطالعه های پژوهشگران، استفاده از نانو ذره های کلو بیدی سیلیکا به عنوان پرکننده نانو چندسازه های اپوکسی موجب بهبود فرایند حلقه گشایی بین رزین و سیلیکا می شود. در این حالت بررسی های تجزیه وزن سنجی گرمایی (TGA<sup>۲</sup>) و گرماسنجی رویشی تفاضلی نشان داده است که افزودن نانو سیلیکا تا یک مقدار مشخص موجب بهبود ویژگی می شود و پس از آن ویژگی مدنظر روند کاهشی پیدا می کند [۵].

<sup>1</sup>. Differential scanning calorimetry (DSC)

<sup>2</sup>. Thermogravimetric analysis (TGA)

<sup>3</sup>. Tetraethyl orthosilicate (TEOS)

<sup>4</sup>. Trimethoxy Silane (3- Aminopropyl)

<sup>5</sup>. Glutarialdehyde

<sup>6</sup>. EPON 828

بررسی رفتار شبکه‌ای شدن نانو چند سازه‌های بر پایه ابوكسی ...

یک بشر ریخته و به آن ۱۰۰ میلی‌لیتر DMF افزوده شد. سپس، مخلوط به دست آمده به مدت پنج دقیقه با همزن فرا صوت هم زده شد. پس از آن، چهار میلی‌لیتر گلوتاردی‌آلدهید (۵۰ درصد محلول در آب) در زیر هود به آن افزوده شد. ماده به دست آمده در دمای محیط با همزن مغناطیسی هم زده شد تا مخلوط یکنواخت شود. پس از ۲۴ ساعت، مخلوط به دست آمده با گریزانه جدا شد. سپس، با اتانول و آب یون‌زدوده شسته و با کمک گریزانه دوباره جداسازی انجام شد. ماده جامد قهوه‌ای رنگ جدا شده در داخل آون با دمای ۷۰ تا ۸۰ درجه سلسیوس خشک شد. سپس، مقدار کمی از ماده جامد خشک شده به عنوان  $\text{SiO}_2\text{-A}$  برای بررسی پیوند گروه‌های آلی به سطح ذره‌ها تهیه شد.

مرحله سوم: ۱/۵ گرم از نانوذره‌های آماده شده در مرحله پیشین به ۵۰ میلی‌لیتر DMF و ۱/۵ گرم PEI افزوده و در دمای ۸۰ درجه سلسیوس به مدت ۲۴ ساعت بازروانی شد. ماده به دست آمده با گریزانه جدا شد. سپس، فراورده با DMF شسته و دوباره به مدت پنج دقیقه گریزانه شد. برای جداسازی ناخالصی‌ها، ماده به دست آمده با اتانول شسته و با گریزانه جدا و در دمای ۷۰ درجه سلسیوس در آون خشک شد.

ریخت‌شناسی نانوذره‌ها با میکروسکوپ الکترونی عبوری بررسی شد. برای این کار، نانوذره‌ها در اتانول حدود ۱۵ تا ۳۰ دقیقه با فرما صوت پراکنده شدند و سپس یک قطره از تعليق به دست آمده روی یک شبکه پوشش داده شده با گرافیت قرار داده شد. نمونه‌های به دست آمده با تیخیر حلال خشک و با میکروسکوپ مدل Philips CM100 ساخت هلند در دمای اتاق تحت ولتاژ ۱۰۰ کیلوولت بررسی شدند. برای بررسی پیوندهای سطح با FTIR، یک درصد وزنی از نمونه‌های پودری به KBr خشک افزوده و تحت فشار به یک قرص با ضخامت ۱/۵ تا ۲ میلی‌متر و قطر ۱۵ میلی‌متر تبدیل شد. سپس، آزمون با طیف‌سنج فروسرخ تبدیل فوریه ساخت شرکت Spectrum One PerkinElmer کشور آمریکا مدل

عامل پخت تری‌اتیل‌تترآمین<sup>۱</sup> هر دو از هگزیون آمریکا و دی‌متیل‌فرم‌آمید (DMF<sup>۲</sup>) به عنوان حلال از مرک آلمان خردباری شد. پلی‌اتیلن‌ایمین (PEI<sup>۳</sup>) پرشاخه با وزن مولکولی ۶۰۰۰۰ گرم بر مول از شرکت سیگما آلدريج تهیه شد.

#### تولید و بررسی نانوذره‌ها

مرحله اول: در ابتدا نانوذره‌های سیلیکا با روش استوبر سنتز شدند [۸]. در این روش ابتدا اتانول (۲۵ میلی‌لیتر) و محلول ۳۲ درصد آمونیاک (۱/۵ میلی‌لیتر) به مدت ۱۰ دقیقه مخلوط شدند. سپس، TEOS (۲ میلی‌لیتر) به مخلوط افزوده و ترکیب به مدت ۲۴ ساعت در دمای اتاق با همزن مغناطیسی - هم زده شد. پودر سفید رنگ به دست آمده با اندازه ذره‌ها در مقیاس نانو با گریزانه (۰۰۰۰۶۰ دور در دقیقه و طی ۱۰ دقیقه جمع‌آوری و چهار مرتبه با اتانول شسته شد. سپس نانوذره‌های سیلیکا به دست آمده به مدت ۵ ساعت در آون خلاء در دمای ۸۰ درجه سلسیوس خشک شدند.

مرحله دوم: یک گرم از نانوپودر سیلیکا با ۵۰ میلی‌لیتر DMF مخلوط و به مدت ۵ دقیقه با همزن فرما صوت همگن شد. سپس ۲ میلی‌لیتر آمینوسیلان به تدریج به مخلوط افزوده شد. مخلوط به مدت ۲۴ ساعت در دمای ۸۰ درجه سلسیوس بازروانی و سپس فراورده تشکیل شده با گریزانه از محیط واکنش جدا شد. برای حذف مواد اولیه واکنش نداده از سطح ذره‌های تشکیل شده، فراورده با اتانول و آب یون‌زدوده شسته شد و به مدت ۳۵ ثانیه و دوباره از صافی عبور داده شد. در پایان، فراورده به مدت سه الی چهار ساعت در آون با دمای ۵۰ درجه سلسیوس خشک شد. نمونه  $\text{SiO}_2\text{-S}$  برای شناسایی و ارزیابی روند اصلاح سطح نانوذره‌های سیلیکا با طیف‌سنجی فروسرخ تبدیل فوریه و گرما سنجدی رویشی تفاضلی، آماده شد. پس از انجام این مراحل حدود ۰/۵ گرم از ماده جامد پودری را برداشته (برای بررسی TGA) و باقی‌مانده آن را که حدود ۱/۹۳ گرم بود، داخل

<sup>۱</sup>. Triethylenetetramine (TETA)

<sup>۲</sup>. Dimethylformamide (DMF)

<sup>۳</sup>. Polyethyleneimine (PEI)

نانوچندسازهای اپوکسی فراورده و عامل پخت آمینی TETA با نسبت استوکیومتری در دمای اتاق مخلوط شدند. پس از آن، آزمون گرماسنجی روبشی تفاضلی با دستگاه مدل DSC4000 PerkinElmer برای بررسی تاثیر نانوذرهای سیلیکا خالص و اصلاح شده بر رفتار پخت رزین اپوکسی/عامل پخت در شرایط غیرهم‌دما انجام شد. برای این منظور، رزین و عامل پخت در دمای اتاق و با نسبت وزنی ۱۰۰:۳۸ مخلوط شدند. مخلوط به‌دست‌آمده با وزن ۱۲ میلی‌گرم در پن آلومنیومی قرار داده شد و نیتروژن با جریان ۲۰ میلی‌لیتر بر دقیقه و در گستره دمایی ۱۵–۲۵۰ درجه سلسیوس به سامانه اعمال شد. نتیجه‌ها در حالت غیرهم‌دما برای تحلیل و مدل‌سازی پخت در چهار حالت با نرخ گرمایی متفاوت ۵، ۱۰، ۱۵ و ۲۰ درجه سلسیوس بر دقیقه برای نمونه‌های اپوکسی، اپوکسی-نانو‌سیلیکا و نانو‌سیلیکا اصلاح شده بررسی شد. برای اندازه‌گیری دمای انتقال شیشه‌ای<sup>۱</sup>، آزمون گرماسنجی با نرخ گرمایی ۱۰ درجه سلسیوس بر دقیقه در سه مرحله انجام گرفت. مرحله اول شامل گرمایش نمونه تا ۲۵۰ درجه سلسیوس، مرحله دوم سرمایش تا ۲۰ درجه سلسیوس و مرحله آخر گرمایش دوباره تا دمای ۲۵۰ درجه سلسیوس بود.

### نتیجه‌ها و بحث

طیف‌های FTIR نانوذرهای سیلیکا خالص و اصلاح شده در شکل ۱ نشان داده شده‌اند. نوارهای جذبی ناشی از ارتعاش نامتقارن Si-O (۱۰۹۵ cm<sup>-۱</sup>)، ارتعاش نامتقارن Si-OH cm<sup>-۱</sup> (۹۵۲) و ارتعاش متقارن Si-O (۷۹۹ cm<sup>-۱</sup>) نیز در جدول ۲ آورده شده‌اند. نوار پهن در گستره ۳۰۰ تا ۳۵۰۰ cm<sup>-۱</sup> می‌تواند مربوط به ارتعاش کششی گروه هیدروکسیل (O-H) باشد. افون‌براین، نوار مشاهده شده در ناحیه ۱۶۳۲ cm<sup>-۱</sup> نشان‌دهنده ارتعاش خمی مولکول‌های آب است. در مورد نانوذرهای سیلیکا اصلاح شده، نوار دیده شده در ۱۴۷۰ cm<sup>-۱</sup> به ارتعاش کششی C-H مربوط می‌شود و ارتعاش‌های کششی متقارن و

گستره عدد موجی ۴۰۰۰ cm<sup>-۱</sup> تا ۴۰۰ cm<sup>-۱</sup> با وضوح ۴ cm<sup>-۱</sup> انجام شد. آزمون گرما وزن‌سنجی TGA برای بررسی رفتار گرمایی-وزنی نانوذرهای سیلیکا خالص و اصلاح سطح شده و مقدار گروه‌های عاملی جفت شده با سطح و پایداری گرمایی نانوذرهای سیلیکا با دستگاه PerkinElmer STA 6000 انجام شد. در این آزمون، نمونه‌ها با وزن تقریبی ۵ میلی‌گرم از ۳۰ تا ۹۰۰ درجه سلسیوس با نرخ گرمایی ۱۰ درجه سلسیوس بر دقیقه و تحت جریان نیتروژن با سرعت جریان ۵۰ میلی‌لیتر بر دقیقه گرمایی داده شدند.

### تولید و بررسی نانوچندسازه

نانوچندسازهای اپوکسی شامل نانوذرهای سیلیکا، سیلیکا اصلاح شده با سیلان (SiO<sub>2</sub>-S) و نانوذرهای سیلیکا اصلاح شده با PEI (SiO<sub>2</sub>-PE) بربایه روش پیش رو تهیی شد. ۰/۱ درصد وزنی از نانوذرهای به‌مدت ۱۵ دقیقه در اتانول با دستگاه فracosot توزیع شد. مخلوط به‌دست‌آمده در همان شرایط به‌مدت ۱۵ دقیقه با مخلوط رزین اپوکسی ترکیب شد. سپس، برای اطمینان از اختلاط مناسب، مخلوط به‌دست‌آمده با همزن مکانیکی با سرعت ۲۰۰۰ دور در دقیقه به‌مدت ۱۵ دقیقه ترکیب شد. برای خارج کردن حلال و جباب‌های هوای محبوس در ترکیب، نانوچندسازه به‌دست‌آمده در دمای ۸۰ درجه سلسیوس و به‌مدت یک ساعت در آون خلاء قرار داده شد. کد نمونه‌های نانوچندسازه اپوکسی تهیی شده در جدول ۱ نشان داده شده‌اند.

جدول ۱ کد، نوع نانوذرهای و مقدار آن‌ها در تهیی نانوچندسازهای اپوکسی

نوع نانوذره	مقدار نانوذره (درصد وزنی)	کد نمونه
-	۰/۱	EP
نانوذرهای سیلیکا	۰/۱	EP-SiO <sub>2</sub>
نانوذرهای سیلیکا اصلاح شده با سیلان	۰/۱	EP-SiO <sub>2</sub> -S
نانوذرهای سیلیکا اصلاح شده با گلوتاردی‌آلدهید	۰/۱	EP-SiO <sub>2</sub> -A
نانوذرهای سیلیکا اصلاح شده با پلی‌اتیلن‌ایمین	۰/۱	EP-SiO <sub>2</sub> -PEI

<sup>۱</sup>. Glass transition temperature

بررسی رفتار شبکه‌ای شدن نانو چند سازه‌های بر پایه اپوکسی ...

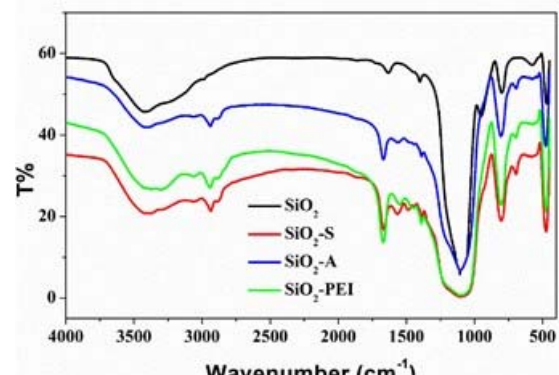
می‌تواند منجر به تغییر ضخامت لایه درشت مولکولی پلی‌اتیلن-ایمین بر روی نانوذره‌های سیلیکا شود.

جدول ۲ نوارهای مربوط به ارتعاش‌های موجود در طیف‌های FTIR نانوذره‌های خالص سنتر و اصلاح‌شده و ارتعاش‌های مربوط [۹ و ۱۰]

نانوسیلیکا	
عدد موج (cm <sup>-1</sup> )	ارتعاش
۱۰۹۵	ارتعاش نامتقارن Si-O
۹۵۲	ارتعاش نامتقارن Si-OH
۷۹۹	ارتعاش متقارن Si-O
۳۳۰۰-۳۵۰۰	ارتعاش کششی گروه هیدروکسیل (O-H)
۱۶۳۲	ارتعاش خمشی مولکول‌های آب
نانوسیلیکا اصلاح‌شده	
۱۴۷۰	به ارتعاش کششی C-H
۲۸۴۲	ارتعاش کششی متقارن C-H آلیفاتیک
۲۹۴۵	ارتعاش کششی نامتقارن C-H آلیفاتیک
۱۵۹۵-۱۷۷۵	ارتعاش‌های پیوند N-H

رفتار گرمایی نانوذره‌های سیلیکا در حالت خالص و اصلاح‌شده با PEI در شکل ۳ نشان داده شده است. آزمون TGA تا ۶۰۰ درجه سلسیوس ادامه یافت و برپایه نتیجه‌های به دست آمده وزن نانوذره‌ها در انتهای آزمون ۲/۵ درصد کاهش پیدا کرد. در مقایسه با سیلیکا خالص، نانوذره‌های سیلیکا اصلاح‌شده به صورت SiO<sub>2</sub>-S، ۱۳ درصد و نانوذره‌های اصلاح شده SiO<sub>2</sub>-PEI، ۱۸ درصد کاهش وزن نشان دادند. مشاهده چنین تفاوتی در کاهش وزن را می‌توان به پیوند گروه‌های آلی بر سطح نانوذره‌ها نسبت داد [۱۰].

نامتقارن C-H آلیفاتیک به ترتیب در ۲۸۴۲ و ۲۹۴۵ cm<sup>-1</sup> قابل مشاهده است. افزون بر این، در مقایسه با نانو ذره‌های سیلیکا اصلاح‌شده، شدت نوار مربوط به ارتعاش N-H در حدود ۱۷۰۰ مشاهده شد که به صورت چشم‌گیری افزایش یافته است. این باندهای می‌توانند نشان‌دهنده پیوند بین نانوذره‌های سیلیکا و پرشاخه پلی‌اتیلن ایمین باشند. در طیف‌های نمونه‌های آن پیوند مذکور می‌باشد. در طیف‌های نامتقارن C-H آلیفاتیک به ترتیب در ۲۹۵۶ و ۳۰۰۸ cm<sup>-1</sup> قابل مشاهده است [۹ و ۱۰].

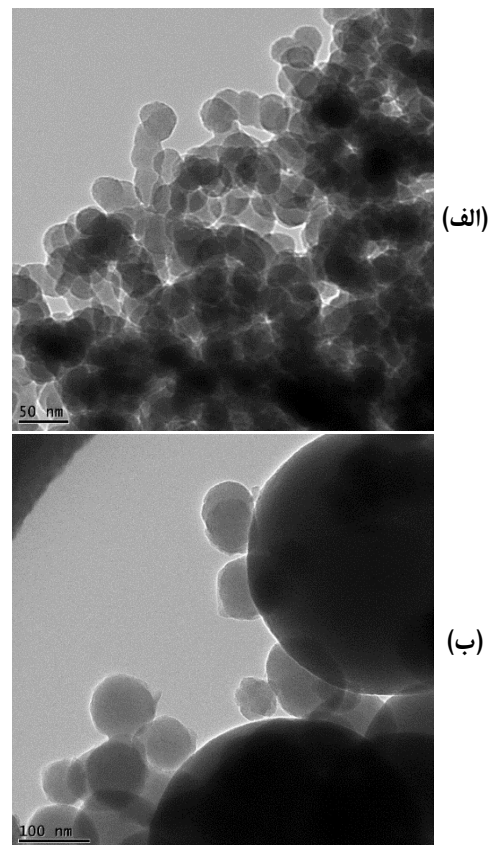


شکل ۱ طیف‌های FTIR نانوذره‌های سیلیکا و سیلیکا اصلاح‌شده

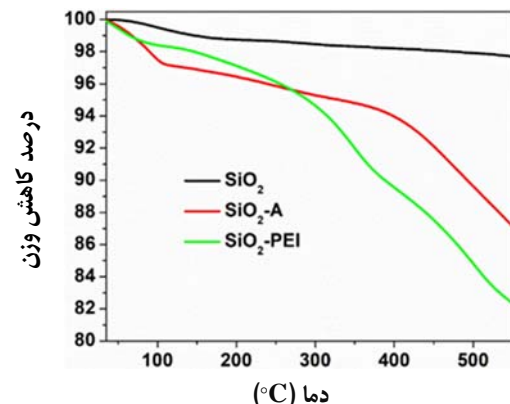
تصویرهای TEM نانوذره‌های سیلیکا خالص و اصلاح‌شده با PEI در شکل ۲ نشان داده شده‌اند. برپایه تصویرهای TEM نمونه‌ها (شکل ۲)، قطر ذره‌های سیلیکا در حدود ۵۰ نانومتر و برای نمونه سیلیکا اصلاح‌شده در حدود ۷۰ نانومتر به دست آمد که نشان‌دهنده تشکیل یک پوسته در اثر اصلاح سطح است. همان‌طور که در شکل دیده می‌شود، شکل‌گیری چنین لایه‌ای در اطراف نانوذره‌ها یکنواخت نیست که نتیجه بزرگ و پرشاخه‌بودن مولکول‌های پلی‌اتیلن ایمین است. از سوی دیگر، مولکول‌های پلی‌اتیلن ایمین با غلظت نیتروژن بالا توانایی برقراری پیوند بین زنجیرها را نیز دارد. پیوند بین زنجیرها

### بررسی فرایند پخت

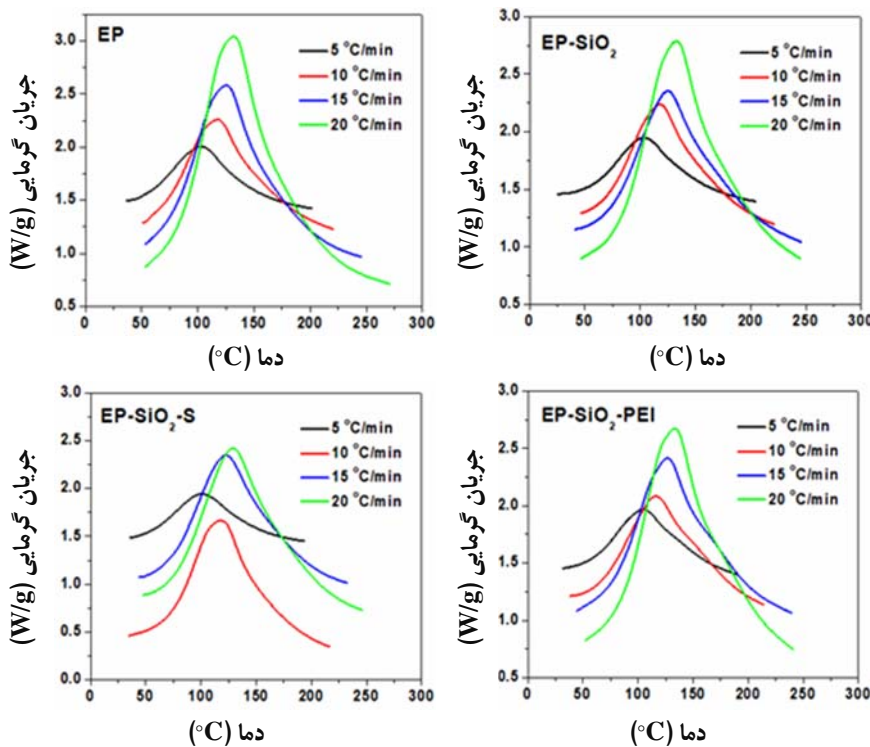
DSC آزمون مناسب برای بررسی رفتار پخت یا شبکه‌ای شدن نمونه‌ها در شرایط گرمایشی متفاوت است. بنابراین، اثر افزودن نانوسیلیکا خالص و اصلاح شده بر فرایند پخت سامانه اپوکسی/آمین با آزمون غیرهمدمای DSC بررسی شد. برپایه گزارش‌های پژوهشگران، واکنش پخت در سامانه‌های حاوی اپوکسی/آمین قابلیت آن را دارد که به صورت خود-کاتالیستی پیشرفت کند. این امر حتی در حضور نانوذره‌ها نیز متحمل است که دلیل آن را می‌توان به آسان‌شدن فرایند حلقه‌گشایی اپوکسی با کمک گروه‌های O-H تولیدشده در DSC جربان پخت نسبت داد [۱۱ و ۱۲]. نتیجه‌های آزمون غیرهمدمای برای بررسی نمونه‌های مورد نظر در این مطالعه در شکل ۴ نشان داده شده‌اند. بر پایه این شکل، همه نمونه‌ها در همه نرخ‌های گرمایی، تنها یک نمودار گرمایش با یک اوج نشان داده‌اند. بنابراین، می‌توان گفت واکنش پخت در همه نمونه‌ها از شرایط خودترسیع‌شونده گذشته است [۳ و ۱۰]. افزون برآن، در همه نمونه‌ها می‌توان مشاهده کرد که با افزایش نرخ گرمادهی، همه اوج‌ها به دماهای بالاتر تمایل پیدا کرده‌اند که می‌تواند به مقدار بالاتری از انرژی سامانه و تحرک مولکولی بیشتر اشاره داشته باشد. بر این پایه، می‌توان روند تغییرهای ساختاری رزین اپوکسی طی فرایند تولید نانوچندسازه (فعالیت گروه‌های واکنشگر موجود و نیز میزان تحرک مولکولی) را با تنظیم نرخ گرمایی مطالعه کرد [۳]. همان‌گونه که در نمودار گرمایشی EP و EP-SiO<sub>2</sub> مشاهده شد، یک نوار در هر نمودار دمایی وجود دارد که با افزودن نانوذره‌های سیلیکا به سامانه اپوکسی/آمین دچار تغییر نشده است. بنابراین، می‌توان گفت چنین افزایشی موجب تغییر فرایند پخت نمی‌شود و باز شدن حلقة اپوکسی واکنش غالب است. داده‌های کمی آزمون DSC در جدول ۳ گزارش شده‌اند.



ادامه شکل ۲ تصویرهای TEM نانوسیلیکا (الف) و نانوسیلیکا اصلاح شده با PEI (ب)



شکل ۳ نمودار تجزیه وزن سنجی گرمایی نمونه‌های سیلیکا، و نانوذره‌های سیلیکا اصلاح شده



شکل ۴ نمودارهای DSC غیر همدمای اپوکسی خالص و نانوچندسازه‌های اپوکسی حاوی نانوذره‌های سیلیکا و سیلیکا اصلاح شده در نرخ‌های گرمادهی ۵، ۱۰، ۱۵ و ۲۰ درجه سلسیوس بر دقيقه

که به نقش کنده‌کننده ناشی از ممانعت فضایی نانوذره‌ها در واکنش پخت رزین اپوکسی با آمین اشاره دارد [۱۴]. با مقایسه دماهای شروع و پایان در سامانه‌های EP-SiO<sub>2</sub>-PEI در می‌باییم که اصلاح سطح نانو سیلیکا با PEI موجب بالارفتن تفاصل دماهای، بهویژه در نرخ‌های گرمایی بالاتر شد. در این حالت می‌توان گفت که بیشترین تاثیر در ایجاد شبکه اپوکسی در مراحل پایانی تولید نانوچندسازه با درشت‌مولکول‌های متصل به سطح نانو سیلیکا رخ داده است. این روند می‌تواند حتی پس از شیشه‌ای شدن و واپايش‌گری فرایند نفوذ در واکنش پخت نیز انجام گيرد. با افزودن SiO<sub>2</sub>-PEI در سامانه، اين ماده که داراي مقدارهای زيادي گروه N است، گرمایي پخت را نسبت به اپوکسی و اپوکسی-نانو سیلیکا افزایش می‌دهد. اين روند را

نتیجه‌ها بيانگر آن است که دماي شروع و دماي اوج نيز با بالارفتن نرخ گرمادهی افزایش می‌ياند. دليل اين پدیده را می‌توان به افزایش انرژي جنبشی مولکول‌ها در نرخ‌های گرمایي بالاتر نسبت داد. همچنین، چون در نرخ‌های گرمایي بالا زمان كافی برای واکنش پخت اپوکسی/آمين وجود ندارد، برای جبران بازه زمانی محدود واکنش، قله‌های موجود در نمودار به دماهای بالاتر انتقال می‌يانند. به عبارت ديگر در نرخ‌های گرمایي پايان زمان بيشتری برای واکنش پخت وجود دارد. همچنین، با افزایش نانوذره‌های سیلیکا اصلاح شده با PEI، دماي شروع و دماي اوج نيز افزایش يافته‌اند. اين افزایش در سامانه‌های اپوکسی/نانو سیلیکا و چندسازه اپوکسی/SiO<sub>2</sub>-PEI نشان می‌دهد که واکنش پخت آن‌ها به تأخير افتاده است

## حاتمی رامشه و دیدهبان و همکاران

می‌توان گفت افزایش دمای انتقال شیشه‌ای به پراکندگی یکنواخت نانوذره‌ها در بستر اپوکسی و نیز برهم‌کنش گروه‌های عاملی بر سطح نانوذره‌ها و بسپار اشاره دارد. ازین‌رو، افزودن ۰/۱ درصد وزنی نانوسیلیکا اصلاح شده با PEI به سامانه، موجب افزایش به طور تقریبی دو درجه سلسیوس دمای انتقال شیشه‌ای در مقایسه با اپوکسی خالص می‌شود. چنین افزایشی به افزایش سطح تماس بین نانوسیلیکا و زنجیره‌های بسپار و درنتیجه تراکم بیشتر پیوندهای عرضی در حضور نانوسیلیکا غنی از نیتروژن فعال، نسبت داده می‌شود [۱۵].

می‌توان به واکنش غیراستوکیومتریک اپوکسی/آمین در حضور نانوذره‌های غنی از نیتروژن نسبت داد که درجه پیوندهای شبکه‌ای را در نرخ‌های گرمایی بالا، افزایش می‌دهند [۱۶]. دمای انتقال شیشه‌ای سامانه از اندازه‌گیری DSC با نرخ ۱۰ درجه سلسیوس در دقیقه در طول اسکن سوم به دست آمده است. برپایه نتیجه‌های به دست آمده، همه نانوچندسازه‌های تقویت شده با نانوسیلیکا، دمای انتقال شیشه‌ای بالاتری را در مقایسه با اپوکسی خالص پخت شده نشان می‌دهند. از آنجائی که دمای انتقال شیشه‌ای بسپار به تحرک زنجیره‌های بسپار بستگی دارد،

جدول ۳ ویژگی‌های پخت چندسازه‌های اپوکسی تهیه شده حاوی نانوذره‌های سیلیکا خالص و اصلاح شده طی آزمون DSC غیرهم‌دما

نمونه	نرخ گرمایی (°C/min)	دمای شروع (°C)	دمای اوج (°C)	دمای پایانی (°C)	بازه دمایی (°C)	گرمایی پخت (J/g)
EP	۵	۳۲	۱۰۵	۱۹۰	۱۵۹	۴۲۶,۲
	۱۰	۳۸	۱۱۶	۲۱۴	۱۷۶	۳۹۳,۰
	۱۵	۴۵	۱۲۷	۲۳۹	۱۹۵	۴۰۹,۰
	۲۰	۵۳	۱۳۴	۲۴۱	۱۸۸	۴۲۱,۱
EP-SiO <sub>2</sub>	۵	۲۵	۱۰۳	۲۰۴	۱۷۹	۴۲۵,۴
	۱۰	۴۷	۱۱۸	۲۲۱	۱۷۵	۴۱۲,۸
	۱۵	۴۱	۱۲۵	۲۴۶	۲۰۵	۳۸۷,۶
	۲۰	۴۷	۱۳۳	۲۴۵	۱۹۸	۴۲۶,۳
EP-SiO <sub>2</sub> -S	۵	۳۶	۱۰۱	۱۹۳	۱۵۸	۳۷۱,۰
	۱۰	۴۵	۱۱۷	۲۱۷	۱۸۲	۵۱۸,۱
	۱۵	۴۴	۱۲۲	۲۲۲	۱۸۹	۳۸۲,۴
	۲۰	۴۸	۱۲۹	۲۴۶	۱۹۸	۳۶۶,۹
EP-SiO <sub>2</sub> -PEI	۵	۳۶	۱۰۳	۲۰۲	۱۶۶	۴۱۹,۳
	۱۰	۵۱	۱۱۸	۲۲۱	۱۶۹	۴۱۷,۱
	۱۵	۵۴	۱۲۶	۲۴۶	۱۹۲	۴۴۸,۴
	۲۰	۵۳	۱۳۲	۲۷۱	۲۱۸	۵۰۲,۷

## نتیجه‌گیری

واکنش پخت شرکت کنند و موجب تسهیل پخت اپوکسی/آمین شوند. همچنین، برپایه نتیجه‌های بهدست آمده، افزودن نانوسیلیکا اصلاح شده موجب افزایش دمای انتقال شیشه‌ای (حدود دو درجه سلسیوس) نسبت به بستر اپوکسی شد که می‌تواند بیانگر توزیع و برهمنکش مناسب و نیز تراکم بیشتر پیوندهای عرضی گروههای عاملی در سامانه باشد.

این پژوهش نشان داد که نانوذره‌های سیلیکا اصلاح شده با گروههای آمین و پلی‌اتیلن ایمین می‌توانند تاثیر بسزایی در بهبود ویژگی گرمایی و مکانیکی نانوچندسازه‌های اپوکسی داشته باشند. اصلاح سطح نانوذره‌های سیلیکا، پراکنش یکنواخت‌تر آن‌ها در بستر اپوکسی را تسهیل کرده و موجب افزایش گرمایی واکنش پخت و دمای انتقال شیشه‌ای اپوکسی شد.

هدف اصلی این پژوهش بررسی تاثیر ویژگی سطح نانوسیلیکا بر رفتار پخت رزین اپوکسی بود. نتیجه‌های بهدست آمده نشان‌دهنده تولید نانوذره‌های سیلیکا خالص و اصلاح-سطح شده با ابعاد حدود ۵۰ و ۷۰ نانومتر بود. نتیجه‌های آزمون DSC نشان‌دهنده تاثیر بسزای نرخ گرمایش اعمال شده بر پیشرفت واکنش پخت و شبکه‌ای شدن بود. در این حالت دمای شروع پخت در سامانه‌های اپوکسی حاوی نانوسیلیکا اصلاح شده با پلی‌اتیلن ایمین به دماهایی بالاتر منتقل شد که نشان‌دهنده ایجاد تأخیر در واکنش پخت است. افزایش قابل توجهی در گرمایی واکشن با افزودن نانوسیلیکا اصلاح شده با پلی‌اتیلن ایمین مشاهده شد که نشان می‌دهد گروههای آمین و هیدروکسیل در سیلیکا اصلاح شده می‌توانند به صورت مؤثر در

## مراجع

- [1] Ogrodowska K, Urbański M. Nanosilica modification of epoxy matrix in hybrid basalt - carbon FRP bars - impact on microstructure and mechanical properties. *Materials*. 2023;16(5):1912. doi: org/10.3390/ma16051912
- [2] Sprenger S. Nanosilica-toughened epoxy resins. *Polymers*. 2020;12(8):1777. doi: org/10.3390/polym12081777
- [3] Li ZX, Xiang YS, Ran Y. Well-dispersed silica nanoparticle-reinforced epoxy vitrimer composites prepared by dynamic crosslinking. *Journal of Materials Science*. 2023;58:17470-82. doi: org/10.1007/s10853-023-09126-7
- [4] Rudra M, et al. Existence of nearest-neighbor and variable range hopping in  $\text{Pr}_2\text{ZnMnO}_6$  oxygen-intercalated pseudocapacitor electrode. *Materials Chemistry and Physics*. 2021;258:123907. doi: org/10.1016/j.matchemphys.2020.123907
- [5] Sethi SM, Singh G, Sharma R, Kaith BS, Sharma N, et al. Fluorescent hydrogel of chitosan and gelatin cross-linked with maleic acid for optical detection of heavy metals. *Journal of Applied Polymer Science*. 2022;139(15):51941. doi: 10.1002/app.51941
- [6] Imran M, Mahendran M. Fire behaviour of CFRP strengthened short SHS steel columns with and without insulation. *Composites Part B: Engineering*. 2020;193:108016. doi:10.1016/j.compositesb.2020.108016
- [7] Rosso P, Ye L. Epoxy/Silica Nanocomposites: Nanoparticle-Induced Cure Kinetics and Microstructure. *Macromolecular Rapid Communications*. 2007;28(1):121-6. doi: org/10.1002/marc.200600588
- [8] Yang CF, Wang LF, Wu SM, Su CC. Characterization and curing kinetics of epoxy/silica nano-hybrids. *Materials*. 2015;8:7032-40. doi.org/10.3390/ma8105357
- [9] Beganskeiene A, Sirutkaitis V, Kurtinaitiene M, Juskenas R, Kareiva A. FTIR, TEM and NMR investigations of Stöber silica nanoparticles. *Materials Science*. 2004;10:287-90.
- [10] Tari F, Zarrinpashne S, Ruzbehani A, Shekariz M. Modified and systematic synthesis of zinc oxide-silica composite nanoparticles with optimum surface area as a proper  $\text{H}_2\text{S}$  sorbent. *Canadian Journal of Chemical Engineering*. 2016;95:737-43. doi: org/10.1002/cjce.22697

- [11] Jouyandeh M, Ganjali MR, Seidi F, Xiao H, Saeb MR. Nonisothermal cure kinetics of epoxy/polyvinylpyrrolidone functionalized superparamagnetic nano- $\text{Fe}_3\text{O}_4$  composites: Effect of Zn and Mn doping. *Journal of Composites Science*. 2020;4(2):55. doi: [10.3390/jcs4020055](https://doi.org/10.3390/jcs4020055)
- [12] Saeb MR, Najafi F, Bakhshandeh E, Khonakdar HA, Mostafaiyan M, Simon F, et al. Scheffler C. Highly curable epoxy/MWCNTs nanocomposites: An effective approach to functionalization of carbon nanotubes. *Chemical Engineering Journal*. 2015;259:117-25. doi: [org/10.1016/j.cej.2014.07.116](https://doi.org/10.1016/j.cej.2014.07.116)
- [13] Saeb MR, Rastin H, Nonahal M, Ghaffari M, Jannesari A, Formela K. Cure kinetics of epoxy/MWCNTs nanocomposites: Nonisothermal calorimetric and rheokinetic techniques. *Journal of Applied Polymer Science*. 2017;134:45221-31. doi: [org/10.1002/app.45221](https://doi.org/10.1002/app.45221)
- [14] Pramanik M, Fowler EW, Rawlins JW. Cure kinetics of several epoxy–amine systems at ambient and high temperatures. *Journal of Coating Technology Research*. 2014;11:143-57. doi.org/10.1007/s11998-013-9565-4
- [15] Atousa A, Shojaei A, Bagheri R. Cure kinetics of nanodiamond-filled epoxy resin: Influence of nanodiamond surface functionality. *Industrial & Engineering Chemistry Research*. 2015;54(36):8954-8962. doi: [10.1021/acs.iecr.5b01858](https://doi.org/10.1021/acs.iecr.5b01858)

## بررسی تأثیر استفاده از نانوترکیب‌های بسپاری تیتانیم دی‌اکسید بر ویژگی‌های بسته‌بندی ظروف نوشیدنی پلی‌اتیلن ترفتالات

مجید خانی<sup>۱</sup>، مهدی پردل<sup>۲\*</sup>، ابوالقاسم داودونیا<sup>۳</sup> و افشین توسلی فرشه<sup>۴</sup>

۱. دانشجوی دکتری گروه شیمی، واحد مشهد، دانشگاه آزاد اسلامی، مشهد، ایران.
۲. دانشیار گروه شیمی، واحد مشهد، دانشگاه آزاد اسلامی، مشهد، ایران.
۳. استاد گروه شیمی، واحد مشهد، دانشگاه آزاد اسلامی، مشهد، ایران.
۴. استادیار گروه کشاورزی، واحد مشهد، دانشگاه آزاد اسلامی، مشهد، ایران.

دريافت: مهر ۱۴۰۳ بازنگری: مهر ۱۴۰۳ پذيرش: مهر ۱۴۰۳



<https://doi.org/10.30495/JACR1.1403.1044864>

### چکیده

در این پژوهش، نانوترکیب بسپار با استفاده از نانوذره‌های تیتانیم اکسید به روش مخلوط‌سازی مذاب ساخته شد. پری‌فرم‌های ۳۲ گرمی شاهد و حاوی نانوذره‌های تیتانیم اکسید در سه رنگ ساخته و تبدیل به بطريقی و در نهايیت با نوشیدنی بلوبری پر شد. بطريقی‌ها در يك بازه زمانی ۳ ماهه در برابر نور خورشید قرار گرفت و تأثیر استفاده از نانوترکیب بر ویژگی‌های بسته‌بندی بررسی شد. نتيجه‌ها نشان داد با گذشت ۱۵ روز در برابر نور خورشید، رنگ نوشیدنی بلوبری در بطريقی‌های بدون نانوذره‌های تیتانیم اکسید به طور کامل بی‌رنگ شد و اين تغيير رنگ در همه بطريقی‌های شفاف، آبي و قهوه‌ای رخ داد. در حالی‌كه در بطريقی‌های حاوی ۱ درصد نانوذره‌های تیتانیم اکسید، تغيير رنگ مشاهده نشد و با گذشت ۳ ماه، رنگ نوشیدنی بلوبری همچنان آبي باقی ماند. تصویرهای ميكروسكوب الکتروني توزيع نانوذره‌های تیتانیم اکسید در بطريقی‌های حاوی ۱ درصد نانوذره‌ها را نشان داد. بررسی جداره بطريقی‌های تولیدشده با طيف‌نور‌سنجی، توزيع و كارکرد مناسب نانوذره‌ها را در جذب پرتوهای فرابنفش نشان داد. طيف‌های FTIR نمونه بطريقی‌های شاهد و حاوی نانوذره‌های تیتانیم اکسید در رنگ‌های متفاوت نشان داد همچو برهمنش شيميايی ويزه‌های که منجر به ايجاد يا حذف گروه شيميايي جديده شود، انجام نشده و برهمنش بين نانوذره‌ها و تركيب‌های پت در همه نمونه‌ها بيشتر از نوع فيزييکي بوده است. بررسی مقدار کاهش گاز کربن دی‌اکسید حل شده در بطريقی‌ها نشان داد که ميزان کاهش گاز در بطريقی‌های حاوی نانوذره‌ها کمتر از بطريقی‌های شاهد بوده است.

**واژه‌های کلیدی:** نانوترکیب بسپاری، نانوذره‌های تیتانیم اکسید، پری‌فرم، طيف‌نور‌سنجی.

## مقدمه

[۴]. پرتو فرابنفش برحسب طول موج به سه گروه UVC، UVB و UVA تقسیم می‌شوند [۵]. UVC کوتاهترین و UVA بلندترین طول موج را دارد. هر چه طول موج پرتوها کوتاهتر باشد، مقدار تخریب آنها بیشتر است [۶]. بیشتر UVC در جو با ازن، بخار آب، اکسیژن و کربن دی اکسید جذب می‌شوند [۷]. بنابراین، مواد غیرآلی، موجودات زنده و محیط، بیشتر در برابر پرتو UVB هستند [۸] و در نتیجه تماس بیش از حد با UVB پیوندهای مولکولی پلاستیک‌ها شکسته و پلاستیک‌ها تخریب می‌شوند. پرتوهای خورشیدی، به طور طبیعی شامل نور مرئی، گرما، پرتوهای فرابنفش هستند [۹]. پرتو فرابنفش خورشید آسیب‌های چون تخریب، تغییر رنگ (زرد شدن)، پوسته‌پوسته شدن، و تا حدودی کاهش مقاومت مکانیکی در بسته‌بندی پلاستیکی ایجاد می‌کند [۱۰]. ساختار پلاستیک به شکل طبیعی تحت تاثیر گرما و پرتو UV است [۴]. پلی‌اتیلن ترفتالات به طور معمول برای بسته‌بندی آب معدنی، نوشابه، ماءالشعیر و روغن‌های خوراکی استفاده می‌شود [۱۱]. از طرفی ورود و خروج گاز در نوشیدنی‌های گازدار، تحت تاثیر ساختار بلوری بستر بسپار است. این ساختار با تغییر مقدار مواد افزودنی در بسپار، تغییر می‌کند. از آنجایی که نفوذپذیری یکی از مهم‌ترین واکنش‌ها بین نوشیدنی گازدار و بطری‌های پلی‌اتیلن ترفتالات است، مقاومت این بسپار در برابر ورود و خروج گاز کربن دی اکسید به علت نقش حیاتی این گاز در طعم‌دهی مطلوب به نوشیدنی و جلوگیری از تخمیر و فساد آن، نقش بسزایی دارد [۱۲].

هدف از این پژوهش، تولید ترکیب‌های بسپار پایه پت و نانوذره‌های تیتانیم اکسید و بررسی تاثیر این افزودنی بر بهبود کارکرد نوری بسته‌بندی پت حاوی نوشیدنی بود. بطری‌های پت در رنگ‌های متفاوت شفاف، آبی و قهوه‌ای حاوی مواد پادفرابنفش ساخته و ویژگی نوری آن با بطری‌های بدون نانومواد تیتانیم اکسید مقایسه شد. ریختشناسی و توزیع نانوذره‌ها در شبکه بسپار پت با میکروسکوپ الکترونی بررسی

بسپار پلی‌اتیلن ترفتالات (پت) (PET)<sup>۱</sup> در ایران برای تولید انواع بطری‌های نوشیدنی استفاده می‌شود. علت رشد استفاده از این بسپار در تولید بطری‌های نوشیدنی را می‌توان وزن کم، قیمت مناسب و مقاومت به نسبت مناسب در برابر دما و نفوذ و خروج گاز دانست. پت یک زنجیره بزرگ بسپار متعلق به خانواده پلی‌استرها است. پت از ترکیب‌های واسطه ترفتالیک اسید و اتیلن گلیکول، که هر دو از مشتق‌های اولیه مواد نفتی است، تشکیل شده است. این ترکیب در خالص‌ترین حالت به صورت ماده‌ای شبه‌شیشه‌ای و بی‌شکل است و تحت نفوذ مستقیم افزودنی‌ها، اصلاح می‌شود و به صورت بلوری در می‌آید. بلورینگی، بیشتر با عملیات گرمایی بسپار مذاب، به دست می‌آید. بسته‌بندی‌های ساخته شده از آن مانند سایر بسته‌بندی‌های مواد غذایی می‌باشد. نفوذپذیری بسیار کمی را به نسبت به نور، اکسیژن و سایر عوامل تاثیرگذار بر محتویات بسته‌بندی را داشته باشد. نفوذپذیری کمتر نسبت به عوامل متفاوت بیرونی به معنی ماندگاری بیشتر مواد غذایی و جلوگیری از تغییرهای کیفی محتویات بسته‌بندی است [۱].

امروزه کاربرد علوم شیمی و بسپار و استفاده از ترکیب‌های متفاوت بسپار در بهبود کیفیت بسته‌بندی‌های صنایع غذایی توسعه زیادی پیدا کرده است. در کنار کاربرد انواع بسپار در بسته‌بندی، استفاده از افزودنی‌های بسپار برای ایجاد ویژگی‌های مناسب‌تر گسترش زیادی یافته است. استفاده از انواع روان کننده‌ها، آنتی اکسیدانت‌ها و افزونی‌های پادفرابنفش، بیشتر با هدف بهبود شبکه بسپار است که در نهایت موجب ارتفاع کیفیت بسته‌بندی بسپاری می‌شود [۲]. استفاده مناسب و صحیح از یک بسپار که حاوی افزودنی‌های موثر باشد، می‌تواند کیفیت و تازگی فراورده را تضمین کند [۳]. نور خورشید یکی از عامل‌های مخرب بسته‌بندی پلی‌اتیلن ترفتالات است. ساختار پلاستیک به شکل طبیعی تحت تاثیر گرما و پرتو UV است

<sup>۱</sup>. Polyethylene terephthalate (PET)

برای تولید ترکیب پادفرابنفش از رانشگر دو ماردون کولین برابندر<sup>۵</sup> واقع در پژوهشگاه پلیمر و پتروشیمی ایران استفاده شد. ایستگاه‌های دمایی برپایه جدول ۲ تنظیم شد.

جدول ۲ ایستگاه‌های دمایی تنظیم شده در رانشگر

۱	۲	۳	۴	۵	ایستگاه
۲۲۵	۲۴۰	۲۵۵	۲۶۵	۲۶۰	دما (°C)

گرانول پت و نانوذرهای تیتانیم اکسید و پاداکسنده با درصد وزنی بیان شده در جدول ۱، توزین و بسته‌بندی و در داخل یک آون به مدت ۲۴ ساعت در دمای ۱۰۵ درجه سلسیوس قرار گرفتند. سپس، این مواد از آون خارج و در یک مخلوط‌کن سریع به مدت ۱۰ دقیقه شدند. پس از آن، محلوت به داخل قیف تغذیه رانشگر هدایت و پس از مخلوط‌سازی و عبور از حمام آب، با یک دستگاه گرانول‌ساز تبدیل به گرانول شدند. سرعت مارپیچ‌ها در ۹۰ دور تنظیم شد و دریچه گازگیری نیز باز شد. گرانول‌های تولیدشده دوباره بسته‌بندی و برای ساخت پری فرم در وزن‌های متفاوت طبق جدول ۳ به یک کارخانه منتقل شدند.

ساخت پری فرم‌های شفاف و رنگی پادفرابنفش با هدف تولید پری فرم‌های نوشیدنی شفاف و رنگی از یک دستگاه تزریق پلاستیک واقع در یک شرکت صنعتی استفاده شد. دستگاه تزریق ساخت شرکت نتستال<sup>۶</sup> سوئیس بود. قالب استفاده در دستگاه برای تولید پری فرم‌های ۳۲ گرمی و دمای خروجی ایستگاه آخر تزریق ۲۸۸ درجه سلسیوس تنظیم شد. فشار تزریق ۴۵۰ بار تنظیم و در هر سیکل تزریق سیزده ثانیه‌ای، ۹۶ عدد پری فرم ۳۲ گرمی تولید شد. دمای سردشدن در قالب، ۱۰ درجه سلسیوس بود. پری فرم‌های شاهد بدون نانوذره به صورت شفاف، قهوه‌ای و آبی ساخته شدند. برای

شد. همچنین، آزمون‌های قرارگیری در برابر خورشید و بررسی پیوندهای مولکولی ساختار سطحی با طیف‌سنجی FTIR انجام گرفت. مقدار گاز CO<sub>2</sub> حل شده در نوشیدنی بلوبری موجود در بطی‌های با و بدون نانوذره‌ها در یک بازه زمانی ۲ ماهه اندازه‌گیری و تاثیر نانوذره‌ها در سرعت ازدست‌رفتن CO<sub>2</sub> در نوشیدنی در زمان انبارداری مشخص شد.

### بخش تجربی

#### ساخت نانوترکیب پادفرابنفش

برای ساخت نانوترکیب پادفرابنفش برپایه پت از روش مخلوط‌سازی مذاب به کمک رانشگر<sup>۱</sup> استفاده شد. گرانول‌های پت از شرکت پتروشیمی تندگویان تهیه شد. دمای ذوب این گرانول‌ها  $249 \pm 3$  درجه سلسیوس و گران روی ذاتی<sup>۲</sup> آن  $73^{\circ}C$  است. نانوماده تیتانیم اکسید استفاده شده در این پژوهش با نام تجاری یواس-نانو<sup>۳</sup> و از نوع روتایل<sup>۴</sup> بود. این ماده از نظر فیزیکی پودری سفید رنگ بود. برای بهبود ویژگی گرمایی ترکیب از یک پاداکسنده فنلی با کد تجاری ۱۰۱۰ استفاده شد. از نظر فیزیکی پودری سفید رنگ با چگالی  $1.15 \text{ g/cm}^3$  و دمای ذوب  $110^{\circ}C$  تا  $125^{\circ}C$  درجه سلسیوس بود. همه مواد استفاده شده در این پژوهش دارای استاندارد تماس با مواد غذایی بودند. درصد وزنی مواد استفاده شده برای تولید بطی‌ها در جدول ۱ آورده شده است.

جدول ۱ درصد وزنی مواد استفاده شده در تولید بطی‌ها

گرانول پت	پاداکسنده	نانوذره‌های تیتانیم اکسید
۹۴	۱	۵

<sup>1</sup>. Extruder

<sup>2</sup>. Intrinsic viscosity

<sup>3</sup>. Us-Nano

<sup>4</sup>. Rutile

<sup>5</sup>. Collin brabender

<sup>6</sup>. Netstal

نانومتر برپایه استاندارد ASTM 1003-00 برسی شد. طیف‌سنجی FTIR با دستگاه Thermo Nicolet مدل AVATAR 370 FTIR (USA) در دانشگاه فردوسی مشهد انجام شد. اندازه‌گیری مقدار گاز کربن دی‌اکسید حل شده درون بطری‌ها در یک بازه زمانی ۲ ماهه با کمک دستگاه گازسنج CboxQC مدل Anton Paar موجود در آزمایشگاه کنترل کیفیت یک شرکت تولیدی انجام شد.

### نتیجه‌ها و بحث

آزمون‌های UV در دستگاه و در زیر نور خورشید بطری‌های نوشیدنی بلوبری شاهد و حاوی نانوذره‌های تیتانیم اکسید برای بررسی تاثیر نور خورشید، در یک بازه زمانی ۳ ماهه در برابر نور خورشید و نور شبیه‌سازی شده، قرار داده شد. نور شبیه‌سازی شده با یک لامپ UV فیلیپس (Tuv 15w / G15T8) ایجاد شد. نتیجه‌های به دست آمده در شکل ۱ نشان داده شده‌اند. همان‌گونه که مشاهده می‌شود، رنگ نوشیدنی بطری‌های شفاف، قهوه‌ای و آبی فاقد نانوذره‌های تیتانیم اکسید، با گذشت ۱۰ روز در برابر نور خورشید، تغییر کرده است، به گونه‌ای که با گذشت ۱۵ روز در برابر نور خورشید، رنگ نوشیدنی بلوبری به‌طور کامل بی‌رنگ شد. این تغییر رنگ نوشیدنی در همه بطری‌های شفاف، آبی و قهوه‌ای اتفاق افتاد. در حالی که در نمونه‌های حاوی نانوذره‌های تیتانیم اکسید، تغییر رنگ رخ نداد و با گذشت ۲ هفته رنگ نوشیدنی بلوبری همچنان آبی باقی ماند. نتیجه‌های مشابهی در مورد بطری‌های قرارگرفته در دستگاه مشاهده شد و رنگ نوشیدنی بلوبری در همه بطری‌های شاهد پس از ۷ روز بی‌رنگ شد، ولی در نمونه‌های حاوی نانوذره‌ها همچنان آبی باقی ماند.

ساخت پری‌فرم‌های پادفرابنفش، دستگاه پیمانه کردن<sup>۱</sup> بی‌بیوان<sup>۲</sup> به کارگرفته شد و به مقدار ۱ درصد برای نانوذره‌ها در همه نمونه‌ها تنظیم شد. پری‌فرم‌های تولیدشده برپایه جدول<sup>۳</sup> برای تولید بطری پت به یک شرکت تولیدی منتقل شد و به کمک دستگاه قالب‌گیری دمشی سیدل<sup>۴</sup> فرانسه در دمای ۱۱۰ درجه سلسیوس و فشار ۴۰ بار تبدیل به بطری شد. بطری‌های ساخته شده با فراورده نوشیدنی بلوبری پر و در نهایت دربندی شد.

جدول ۳ پری‌فرم و بطری‌های شاهد و حاوی نانوذره‌های تیتانیم اکسید

وزن پری‌فرم (گرم)	رنگ بطری	مواد پادفرابنفش (درصد) (میلی‌لیتر)	حجم بطری باشدده (درصد)	مواد پادفرابنفش
۳۲	شفاف	۱۵۰۰	۰	
		۱	۱	
۳۲	آبی	۱۵۰۰	۰	
		۱	۱	
۳۲	قهقهه‌ای	۱۵۰۰	۰	
		۱	۱	

بطری‌های شاهد و رنگی حاوی نانوذره‌های تیتانیم اکسید و بدون نانوذره برای طیف‌نورسنجی فرابنفش، ریخت‌شناسی، طیف‌سنجی فروسرخ تبدیل فوریه (FTIR) و تعیین مقدار گاز کربن دی‌اکسید حل شده، به آزمایشگاه یک شرکت تولیدی منتقل شد. برای بررسی پراکنش نانوذره‌های تیتانیم اکسید، یک میکروسکوپ الکترونی روبشی گسیل میدانی (Republic TEACAN, MIRAIII Czech) در ولتاژ ۵ kV و دامنه ۲۰۰ نانومتر تا ۱ میکرومتر به کارگرفته شد. از جداره بطری‌های دارای نانوذره‌ها و شاهد نمونه‌های با ابعاد ۱۰ در ۲۵ میلی‌متر تهییه و عبور نور از این نمونه‌ها به کمک یک طیف‌نورسنج Shimazu uv 1800 Japan UV-Vis در دامنه ۲۰۰ تا ۸۰۰ nm

<sup>1</sup>. Dosing

<sup>2</sup>. Piovan

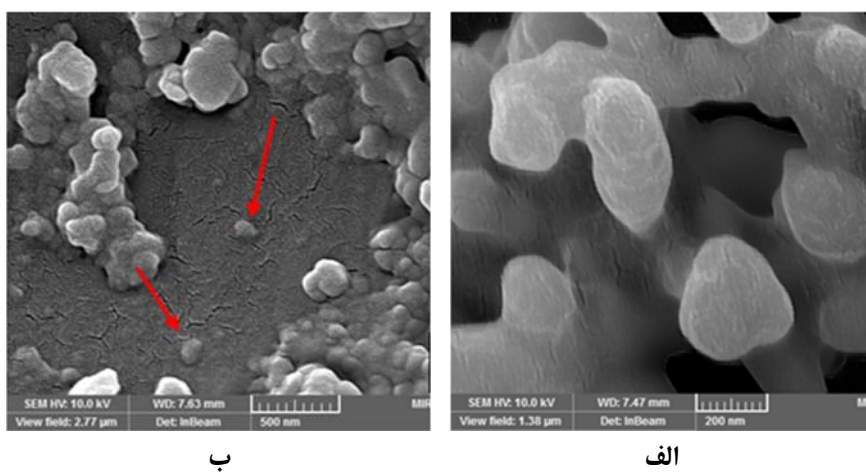
<sup>3</sup>. Cidel



شکل ۱ بطری‌های قرارگرفته در برابر نور خورشید و تغییر رنگ به دست آمده (نوشیدنی بطری‌های دارای نانوذره به رنگ آبی پر رنگ باقی مانده که با علامت مشخص شده است).

بطری‌های شاهد قابل مشاهده و در شکل ۲-ب، نانوذره‌ها در نمونه حاوی نانوذره‌های تیتانیم اکسید، افزون بر شبکه بسپاری، قابل تشخیص است.

ریخت‌شناسی بطری‌های شاهد و دارای نانوذره تصویرهای میکروسکوپ الکترونی نمونه بطری‌های شاهد و حاوی ۱ درصد نانوذره در شکل ۲ نشان داده شده‌اند. همان‌گونه که مشاهده می‌شود، در شکل ۲-الف، شبکه بسپار



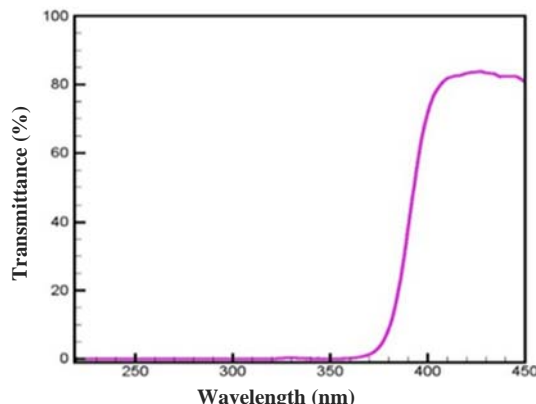
شکل ۲ پراکنش نانوذره‌های تیتانیم اکسید در جداره بطری‌های بدون نانوذره (الف) و با نانوذره (ب)

به نمونه حاوی نانوذره‌ها ظرفیت جذب پرتو فرابنفش کمتری را نشان می‌دهد. همان‌گونه که در شکل ۳ مشاهده می‌شود، در نمونه شاهد (سمت راست) تا طول موج  $310\text{ }{\text{nm}}$  هیچ فرایند جذب و نشری صورت نگرفته است، درحالی که در نمونه‌های

طیف‌نورسنجی فرابنفش شکل ۳ طیف‌های فرابنفش نمونه‌های متفاوت بطری پت بی‌رنگ شاهد و نمونه بی‌رنگ حاوی نانوذره‌های تیتانیم اکسید را نشان می‌دهد. بر پایه این شکل، نمونه بی‌رنگ شاهد نسبت

۳۲۰ تا ۴۰۰ ناتومتر و بیشینه عبور در طول موج ۳۵۰ نانومتر ( $\lambda_{\max}$ ) و برای نمونه حاوی نانوذره (سمت چپ) گستره عبور در طول موج‌های ۳۷۰ تا ۴۰۰ ناتومتر و بیشینه عبور در طول موج ۴۰۰ نانومتر ( $\lambda_{\max}$ ) صورت گرفته است.

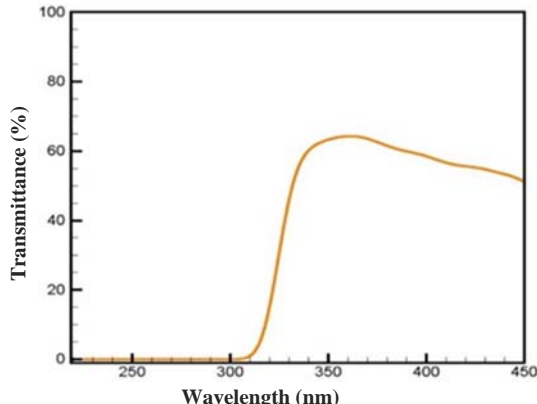
حاوی نانوذره‌های تیتانیم اکسید (سمت چپ) تا طول موج ۳۷۰ نانومتر عبور رخ نداده و فرایند عبور پرتو از جداره، از طول موج ۳۷۰ نانومتر به بالاتر رخ داده است که نشان‌دهنده تاثیر نانوذره‌های افزوده شده در جذب پرتوهای UV است. همچنین، گستره عبور نور در نمونه شاهد (سمت راست) در طول موج‌های



شکل ۳ طیف‌های UV مربوط به پت‌های شفاف شاهد (سمت راست) و پادرافینش (سمت چپ)

مشاهده می‌شود. نمونه بطری حاوی نانوماده تا طول موج ۳۹۰ نانومتر هیچ فرایند عبوری را نشان نمی‌دهد و گستره عبور نور در طول موج‌های ۳۹۰ تا ۴۰۰ نانومتر است.

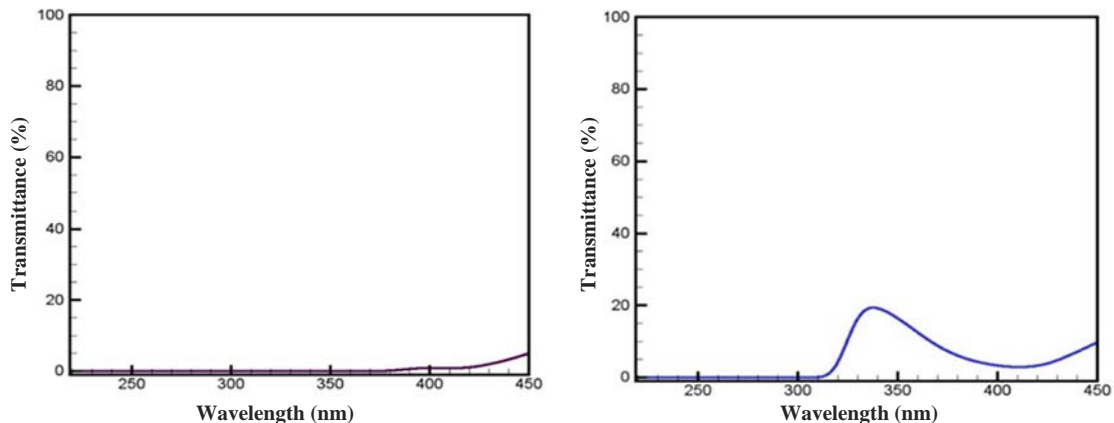
شکل ۵ عبور نور از جداره نمونه‌های پت قهوه‌ای شاهد و حاوی نانوذره‌های تیتانیم اکسید را نشان می‌دهد. در نمونه شاهد تا طول موج ۳۲۰ نانومتر هیچ فرایند عبوری صورت نگرفته است. گستره عبور نور در طول موج‌های ۳۲۰ تا ۴۰۰ نانومتر و بیشینه عبور در طول موج ۳۴۰ نانومتر ( $\lambda_{\max}$ ) است، در صورتی که نمونه‌های حاوی نانوذره‌ها تا طول موج ۴۰۰ نانومتر هیچ عبور نوری را از خود نشان نمی‌دهند که بیانگر ویژگی پادرافینش آن‌ها است.



شکل ۴ عبور نور از جداره بطری‌های آبی حاوی نانوذره‌های تیتانیم اکسید

شکل ۴ عبور نور از جداره بطری‌های آبی حاوی نانوذره‌های تیتانیم اکسید را نشان می‌دهد. همان‌طور که

بررسی تأثیر استفاده از نانوترکیب‌های بسپاری تیتانیم دی اکسید ...



شکل ۵ طیف‌های UV پت‌های قهوه‌ای شاهد (سمت راست) و پادفرابنفش (سمت چپ)

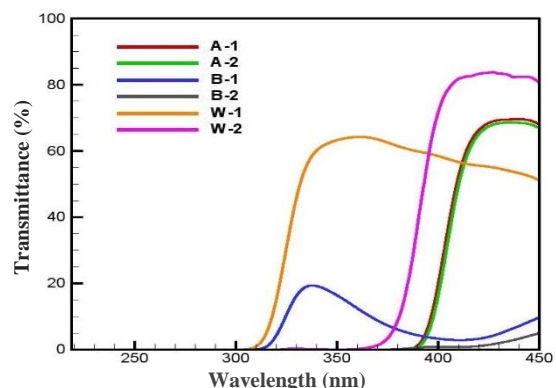
پادفرابنفش را می‌توان در بطری‌های قهوه‌ای حاوی ۱ درصد نانوذره‌های تیتانیم اکسید مشاهده کرد.

شکل ۶ طیف‌های کلی نمونه‌های شاهد حاوی نانوذره‌های تیتانیم اکسید به عنوان ماده پادفرابنفش را نشان می‌دهد.

#### طیف‌سنجی FTIR

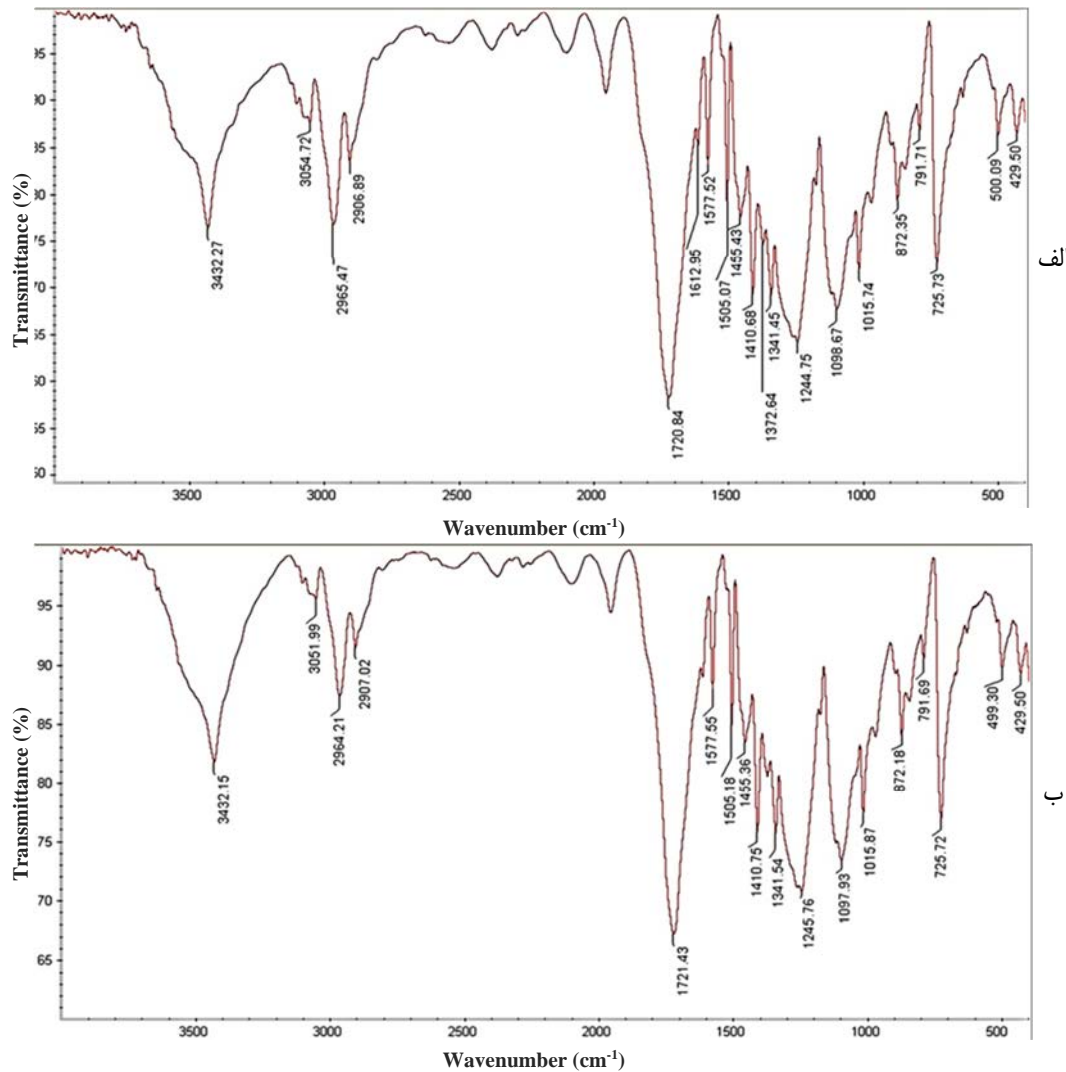
برای بررسی برهم‌کنش فیزیکی یا شیمیایی ماده پادفرابنفش با ترکیب‌های PET، طیف‌های FTIR نمونه‌های بطری PET شاهد و حاوی نانوماده تیتانیم اکسید در رنگ‌های آبی و قهوه‌ای و بی‌رنگ (شکل‌های ۷ تا ۹) بررسی شد.

جدول ۴ نوارهای مهم مربوط به پیوندهای اصلی در بسپار پت شاهد و پت پادفرابنفش را در بطری‌های متفاوت نشان می‌دهد. نتیجه‌های به دست آمده نشان داد که برهم‌کنش شیمیایی بین نانوذره‌های تیتانیم اکسید و ترکیب‌های پت در همه نمونه‌ها که منجر به ایجاد یا حذف گروه عاملی جدید شود، انجام نشده بود. به بیان دیگر، برهم‌کنش‌ها بیشتر از نوع فیزیکی بود. هرچند که در نمونه‌های حاوی ۱ درصد نانوماده، یک نوار جدید در  $600\text{ cm}^{-1}$  مشاهده شد که به نظر می‌رسد به دلیل حضور نانوذره‌های تیتانیم اکسید در مقایسه با نمونه‌های بدون نانوذره‌ها است. به طور کلی می‌توان نتیجه گرفت که نانوذره‌ها به شکل فیزیکی در بستر پلی‌استری به دام افتاده‌اند و نمی‌توانند برهم‌کنش شیمیایی داشته باشند. این نتیجه‌ها مشابه نتیجه‌های کریمی و همکارانش در سال ۲۰۱۸ است [۱۳].



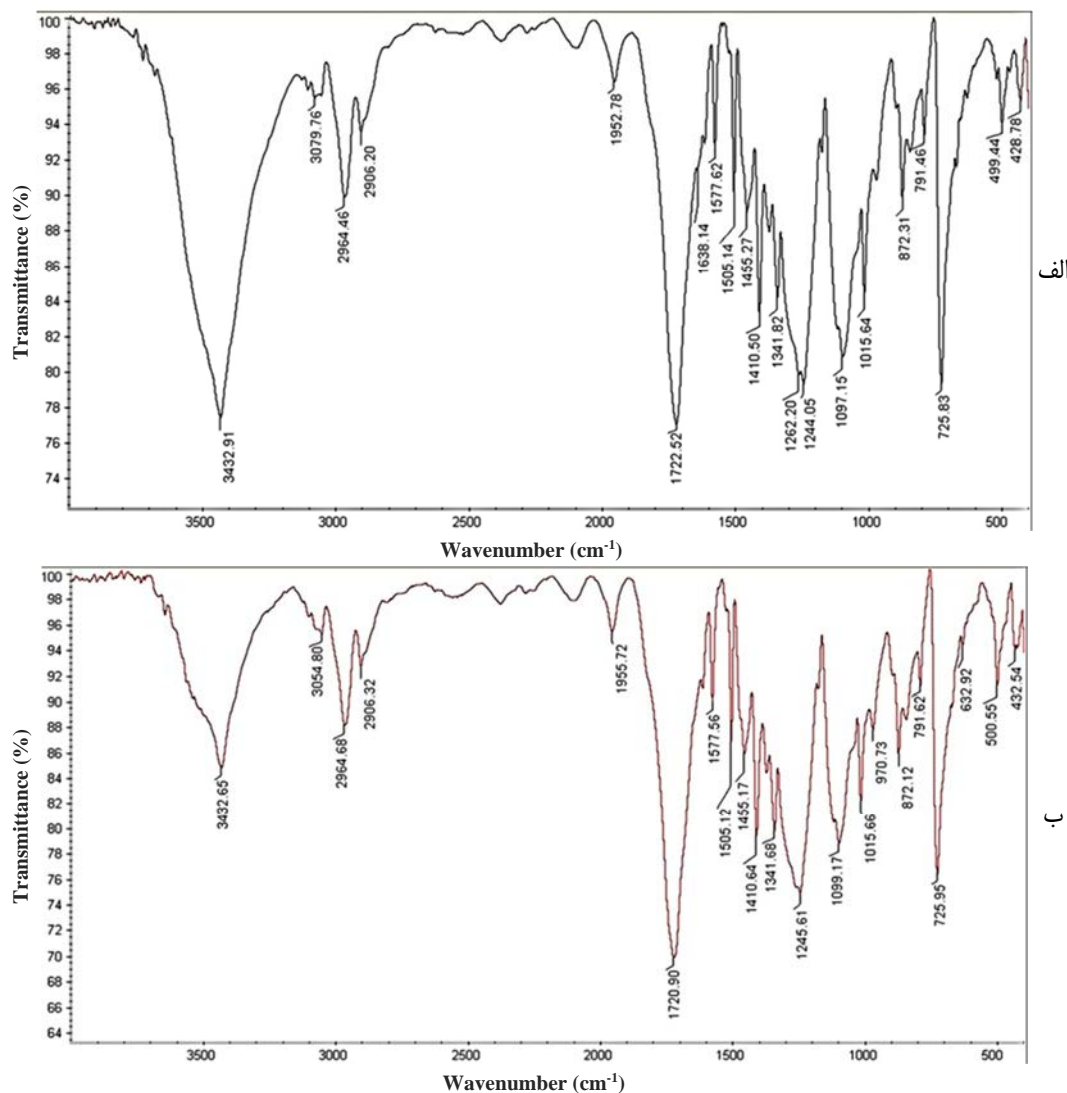
شکل ۶ طیف‌های کلی UV مربوط به همه نمونه‌ها کد A مربوط به پت آبی رنگ، کد B مربوط به پت قهوه‌ای و کد W مربوط به پت شفاف است. عدد ۱ مربوط به نمونه شاهد و عدد ۲ مربوط به نمونه‌های پادفرابنفش است.

همان‌طور که در شکل ۶ مشاهده می‌شود، بیشترین عبور نور مربوط به نمونه شفاف بدون نانوذره‌های تیتانیم اکسید است و کمترین مقدار عبور نور مربوط به بطری‌های قهوه‌ای حاوی نانوذره‌های تیتانیم اکسید است. بنابراین، بیشترین ویژگی

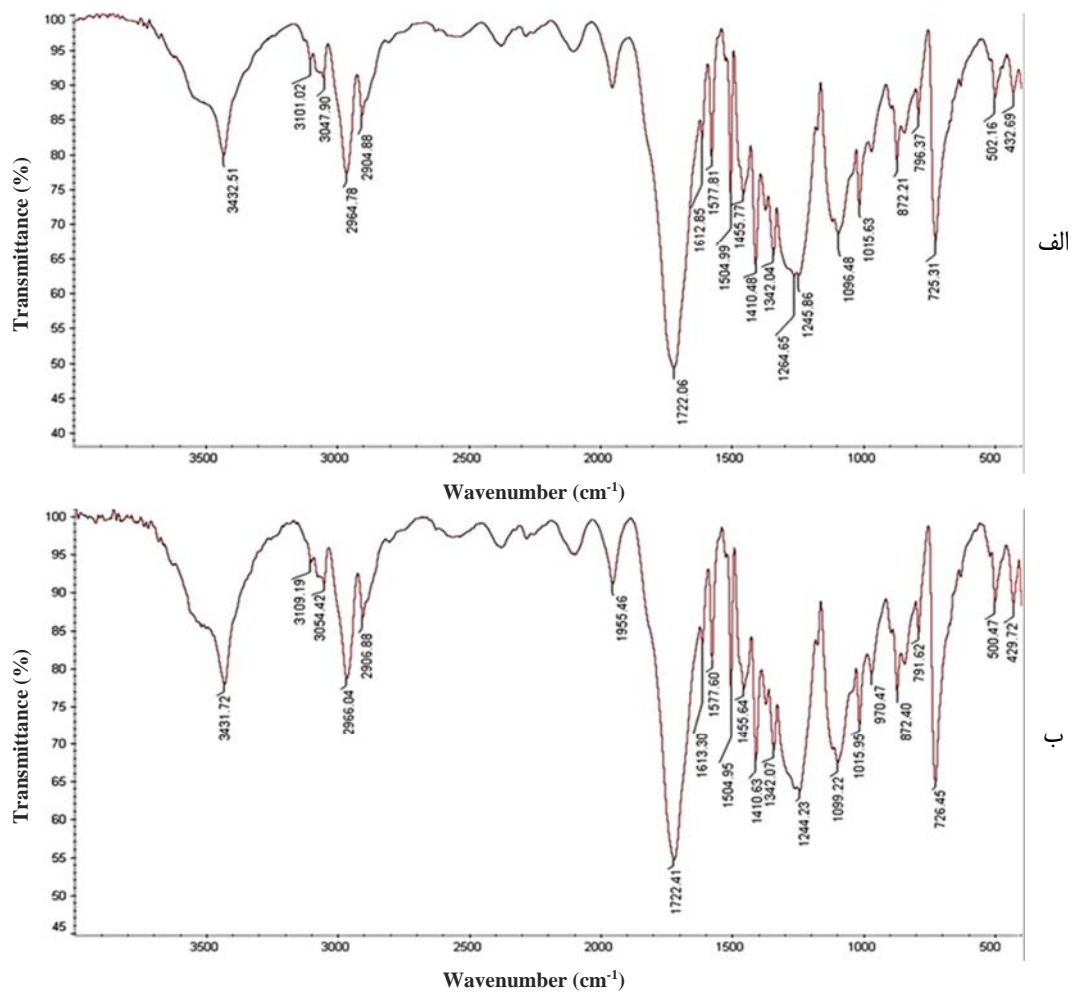


شکل ۷ طیف‌های FTIR پت‌های شفاف شاهد (الف) و پادفرابنفش (ب)

بررسی تأثیر استفاده از نانو ترکیب‌های بسپاری تیتانیم دی اکسید ...



شکل ۸ طیف‌های FTIR بطری‌های آبی شاهد (الف) و پادفرابنفش (ب)



شکل ۹ طیف‌های FTIR بطری‌های قهوه‌ای شاهد (الف) و پادفربنفس (ب)

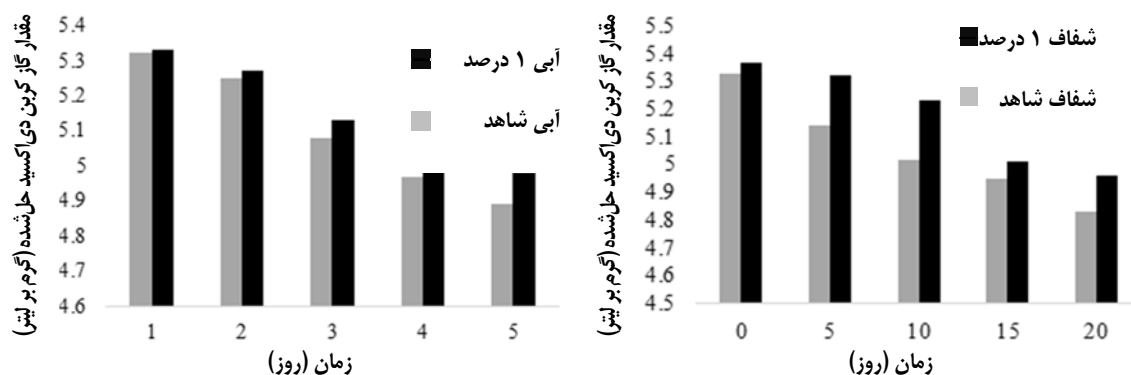
جدول ۴ نوارهای مهم مربوط به پیوندهای اصلی در طیف‌های FTIR بسپار پت شاهد و پت پادفرابنفش

عدد موج ( $\text{cm}^{-1}$ )				گروه عاملی
پت قهوه‌ای پادفرابنفش	پت آبی پادفرابنفش	پت شفاف پادفرابنفش	پت شفاف شاهد	
۳۴۳۱	۳۴۲۷	۳۴۳۲	۳۴۳۲	O-H گروه هیدروکسیل
۳۰۵۴	۳۰۵۴	۳۰۵۱	۳۰۵۴	=CH های آروماتیک
۲۹۶۶ و ۲۹۰۶	۲۹۶۴ و ۲۹۰۶	۲۹۶۴ و ۲۹۰۷	۲۹۶۵ و ۲۹۰۶	C-H های آلیاتیک $\text{C}_2$ (کششی متقارن و نامتقارن)
۱۷۲۲	۱۷۲۰	۱۷۲۱	۱۷۲۰	کربونیل $\text{C}=\text{O}$ استری
۱۵۷۷ و ۱۵۰۴ و ۱۴۱۰	۱۴۱۰ و ۱۵۷۷ و ۱۵۰۵	۱۴۱۰ و ۱۵۰۵ و ۱۵۷۷	۱۵۷۷ و ۱۵۰۵ و ۱۴۱۰	حلقه آروماتیک $\text{C}=\text{C}$
۱۴۵۵	۱۴۵۵	۱۴۵۵	۱۴۵۵	خارج صفحه $\text{CH}_2$
۱۳۴۲ و ۱۲۴۴	۱۳۴۱ و ۱۲۴۵	۱۳۴۱ و ۱۲۴۵	۱۳۴۱ و ۱۲۴۴	C-O
۱۰۱۵ و ۱۰۹۹	۱۰۱۵ و ۱۰۹۹	۱۰۱۵ و ۱۰۹۷	۱۰۱۵ و ۱۰۹۸	C-O الكلی
۷۲۶	۷۲۵	۷۲۵	۷۲۵	C-Cl

دریندی و با پارافین و فویل آلومنیومی به طور کامل بسته شده بود، می‌توان نتیجه گرفت که خروج گاز از دیواره بطری‌ها رخ داده است. همچنین، کاهش گاز حل شده در بطری‌های حاوی نانوذره‌ها کمتر از بطری‌های بدون آن‌ها است که علت آن می‌تواند وجود مواد فیزیکی بیشتر در بستر بسپار باشد که موجب تقویت سطح داخلی بسپار شده است. روند کاهشی مقدار گاز کربن دی اکسید در همه نمونه‌ها در رنگ‌های مختلف مشاهده شد.

#### مقدار گاز $\text{CO}_2$ حل شده در بطری‌ها

شکل ۱۰ نمودار تغییرهای مقدار گاز کربن دی اکسید حل شده در انواع بطری‌های ساخته شده را در مدت ۲ ماه نگهداری آن‌ها در شرایط یکسان انبارداری، نشان می‌دهد. اندازه‌گیری‌های به دست آمده میانگین ۳ بار تکرار از هر نوع بطری در زمان آزمون، است. همان‌گونه که در شکل ۱۰ مشاهده می‌شود، افزایش زمان انبارداری موجب کاهش مقدار کربن دی اکسید حل شده در نوشیدنی شده است و از آنجایی که در هنگام انبارداری بطری‌های نوشیدنی



شکل ۱۰ تغییرهای مقدار گاز کربن دی اکسید حل شده در نوشیدنی بلوبری بر حسب زمان در بطری‌های مختلف

موجب بهبود نگهداری گاز کربن دی اکسید در بطری‌ها طی زمان انبارداری شد. با توجه به نتیجه‌های به دست آمده، به طور کلی با نانوذره‌های تیتانیم اکسید می‌توان بطری‌هایی تولید کرد که مقاومت بیشتری نسبت به عبور نور UV داشته باشند و محتویات نوشیدنی داخل را در زمان ماندگاری بالاتری نگهداری کنند بدون اینکه ویژگی فیزیکی و نوری و طعم فراورده از بین برود.

### سپاسگزاری

نویسنده‌گان از حمایت‌های مالی و معنوی دانشگاه آزاد اسلامی واحد مشهد قدردانی و تشکر را دارند.

### نتیجه‌گیری

در این پژوهش نانوترکیب بسپار بر پایه بسپار پت با روش مخلوطسازی مذاب و با نانوذره‌های تیتانیم تهیه و در ساخت پری‌فرم و بطری نوشیدنی استفاده شد. هدف از این پژوهش، تولید بطری‌های نوشیدنی با ویژگی نوری ویژه بود. نتیجه ریخت‌شناسی توزیع ذره‌ها در شبکه بسپار، نشان داد که می‌توان با این روش بطری‌هایی با توزیع ذره‌های یکنواخت در رنگ‌های متفاوت تولید کرد. نتیجه‌های طیف‌نورسنجی از بطری‌های تولیدشده نشان داد که بطری‌های شفاف و رنگی حاوی نانوذره‌های تیتانیم اکسید، ظرفیت عبور نور بالاتری را نسبت به بطری‌های شفاف و رنگی شاهد داشتند که نشان‌دهنده کارکرد مناسب نانوذره‌ها در جذب UV است. وجود نانوذره‌های تیتانیم اکسید در جداره بطری‌ها

### مراجع

- [1] Robertson GL. Food packaging: Principles and practice [Internet]. New York: Marcel Dekker; 1993.
- [2] Almeida S, Ozkan S, Gonçalves D, Paulo I, Queirós CSGP, Ferreira O, Bordado J, Galhano dos Santos R. A brief evaluation of antioxidants, antistatics, and plasticizers additives from natural sources for polymers Ffomulation. *Polymers*. 2023;15(1):6. doi.org/10.3390/polym15010006
- [3] Sajid MU, Bicer Y. Nanofluids as solar spectrum splitters: A critical review. *Solar Energy*. 2020;207:979-1032. doi: 10.1016/j.solener.2020.07.009
- [4] Wayman C, Niemann H. The fate of plastic in the ocean environment - a minireview. *Environ Sci Process Impacts*. 2021;23(2):198–212. doi: 10.1039/D0EM00446D
- [5] Luo YR. Why is the human visual system sensitive only to light of wavelengths from approximately 760 to 380 nm? *Biophys Chem*. 2000;83(3):179–84. doi:10.1016/S0301-4622(99)00137-4
- [6] Tang X, Yang T, Yu D, Xiong H, Zhang S. Current insights and future perspectives of ultraviolet radiation (UV) exposure: Friends and foes to the skin and beyond the skin. *Journal of Environment International*. 2024;185:108535. doi: 10.1016/j.envint.2024.108535
- [7] Aaron JJ, Efremova A, Snezana. Purines, Pyrimidines, and Nucleotides. *Chemical Engineering*. 2014; 12: 393-402. doi:10.1016/B978-0-12-409547-2.10971-0
- [8] Liu K, Zhao J, Yang L, Guan M, Yuan L, Geng Y. Protective effects of calbindin-D28K on the UVB radiation-induced apoptosis of human lens epithelial cells. *International Journal of Molecular Medicine*. 2020;45(6): 1793-1802. doi:10.3892/ijmm.2020.4552
- [9] Buch J, Hammond B. Photobiomodulation of the visual system and human health. *Int J Mol Sci*.2020;21(21):8020.doi: 10.3390/ijms21218020
- [10] Liu GL, Zhu DW, Liao SJ, Ren LY, Cui JZ, Zhou WB. Solid-phase photocatalytic degradation of polyethylene-goethite composite film under UV-light irradiation. *J Hazard Mater*. 2009;172(2–3):1424–9. doi: 10.1016/j.jhazmat.2009.08.008.

- [11] Mutsuga M, Tojima T, Kawamura Y, Tanamoto K. Survey of formaldehyde, acetaldehyde and oligomers in polyethylene terephthalate food-packaging materials. *Food Addit Contam.* 2005;22(8):783–9. doi: [10.1080/02652030500157593](https://doi.org/10.1080/02652030500157593)
- [12] Moosavi, S. Study on the variations in the physico-mechanical properties of PET bottles during shelf-life of carbonated beverages and its effect on permeation of CO<sub>2</sub>. *Iranian Journal of Polymer Science and Technology.* 2004;17(6):343-339. doi: [10.22063/jipst.2004.474](https://doi.org/10.22063/jipst.2004.474)
- [13] Karimi A, Izadan H, Khoddami A, Hosseini SA. Modifying the surface of poly(ethylene terephthalate) nanofibrous materials by alkaline treatment and TiO<sub>2</sub> nanoparticles. *Journal of Industrial Textiles.* 2018;47(8):1944-1958. doi: [10.1177/1528083717716164](https://doi.org/10.1177/1528083717716164)

## **Effects of graphene on the curing characteristic, morphology, rheology and mechanical properties of natural rubber (NR), chlorobutyl rubber (CIIR) and NR/CIIR blend**

**M. Sharifi-Teshnizi<sup>1</sup>, A. Jalali-Arani<sup>2,\*</sup>, M. Hernández Santana<sup>3</sup>**

1. PhD Student of Department of Polymer Engineering and Color Technology,  
Amirkabir University of Technology, Tehran, Iran.
2. Associate prof. of Department of Polymer Engineering and Color Technology,  
Amirkabir University of Technology, Tehran, Iran.
3. Tenured Scientist, Institute of Polymer Science and Technology (ICTP-CSIC),  
Madrid, Spain.

**Abstract:** Nanocomposites of natural rubber (NR), chlorobutyl rubber (CIIR) and their blend (NR/CIIR; 50/50), containing 0.7 phr of graphene were prepared by melt mixing method. The use of graphene caused an increase in torque difference in the rheometric test, which was attributed to an increase in the crosslink density. This result was confirmed by the swelling test. The microstructure of nanocomposites and dispersion of graphene in each of the samples were examined by field emission scanning electron microscopy (FESEM). FESEM images indicated uniform dispersion and distribution of graphene nanolayers in the elastomer matrices. The melt rheological behavior demonstrated that the addition of graphene to the compounds increased the viscosity of the complex and storage modulus at the low frequency which indicated uniform dispersion and enhanced interaction between the nanolayers of graphene and the rubber matrix. Mechanical properties of the samples were investigated by tensile test. The obtained results revealed the improvement of mechanical properties of nanocomposites. The young modulus of NR, CIIR and NR/CIIR blend, in the presence of 0.7 phr graphene were improved about 42, 40 and 16%, respectively.

**Keywords:** Rubber, Nanocomposite, Graphene, Rheological properties, Mechanical properties.

**Optimizing the operating conditions of grape juice removal turbidity by lemon  
peel natural adsorbent****O. Ahmadi**Assistant Prof. of Department of Chemical Engineering, Faculty of Engineering,  
University of Kurdistan, Sanandaj, Iran.

**Abstract:** Grape juice is one of the valuable food and medicinal products obtained from the natural extract of grapes. This substance is rich in nutrients, serves as a source of natural energy, and possesses various medicinal properties. The turbidity of grape juice depends on the presence of suspended particles, polysaccharides, and other suspended substances. To improve the quality of the juice and reduce its turbidity, natural absorbents are employed. In the current research, lemon peel, as a natural adsorbent, was used to reduce turbidity. After various preliminary tests, 40 ml of grape juice with a Brix value of 10 and an initial absorption rate of 2.874 a.u. was obtained using 2 grams of lemon peel. The surface adsorption process was carried out for 4 hours using the response surface method within a temperature range of 20 to 60 °C and a stirring speed of 200 to 600 rpm. Following optimization, the results indicated that a temperature of 35 °C and a stirring speed of 380 rpm were the most effective conditions for turbidity removal, achieving a maximum removal percentage of approximately 58%. The Brix values showed an insignificant difference of only 9% between the final and initial Brix values. Additionally, the DLS analysis evaluating the average particle size yielded values of 5000 nm and 3000 nm before and after the surface adsorption process, respectively, with a dispersion index of 1 and 0.846.

**Keywords:** Natural adsorbent, Lemon peel, Grape juice, Optimization, Experimental analysis, Removal turbidity

## **Microextraction and measurement of cholecalciferol (vitamin D<sub>3</sub>) in biofibers by a three-phase method using hollow fiber and two immiscible organic solvents**

**M. Raziee**

Assistant Prof. of Analytical Chemistry, Chemistry Faculty, North Tehran Branch,  
Islamic Azad University, Tehran, Iran.

**Abstract:** The validation of hollow fiber based on using two immiscible organic solvents in the lumen and wall pores of hollow fiber was evaluated for extraction and preconcentration of a trace amount of vitamin D<sub>3</sub>, before determination by HPLC-UV technique. The analyte was extracted from an 8-ml sample solution, into a thin layer of an organic solvent (n-dodecane) impregnated in hollow fiber pores, and finally back-extracted into an organic solvent (acetonitrile) located inside the lumen of the hollow fiber. The factors affecting the HF-LLLME of the target analyte were investigated and the optimal extraction conditions were determined. Under optimized conditions, the enrichment factor of 130 and limit of detection (LOD) of 0.9 ng ml<sup>-1</sup> were obtained. The calibration curve was linear within the range of 3 to 1000 ng ml<sup>-1</sup> with reasonable linearity ( $R^2 = 0.999$ ). The percent relative within-day and between-day standard deviation (RSD %) were 5.4 and 6.1, respectively. Finally, the feasibility of the proposed method was successfully evaluated by extraction and determination of the analyte in the biological fluids, and satisfactory results were obtained.

**Keywords:** Vitamin D<sub>3</sub>, High-performance liquid chromatography, Hollow fiber, Biological fluids, Preconcentration.

**Optimization of the solvent extraction of zinc, copper and nickel from acidic leaching: Process steps and thermodynamic investigation****S. Kolbadinejad<sup>1</sup>, A. Ghaemi<sup>2,\*</sup>**

1. Postdoctoral researcher of School of Chemical, Petroleum and Gas Engineering,  
Iran University of Science and Technology, Tehran, Iran.
2. Professor of School of Chemical, Petroleum and Gas Engineering, Iran University  
of Science and Technology, Tehran, Iran.

**Abstract:** In this study, optimization of the solvent extraction of zinc, copper and nickel from the acid leaching was carried out. Three steps were considered for the selective extraction of metals from the acid leaching solution. In the first step of the solvent extraction, 93.67% of zinc was extracted from the leaching solution with pH equal to 4 using 20% of D2EHPA in kerosene. In the second step of the solvent extraction, 100% of copper was extracted from the first step raffinate with pH equal to 2.3 using 10% of Mextral 5640H in kerosene. In the third step of the solvent extraction process, 88.61% of nickel was extracted from the second step raffinate with pH equal to 7 using 20% of D2EHPA in kerosene. The stirring speed was 200 rpm and the ambient temperature was kept constant for all solvent extraction experiments. Atomic absorption spectroscopy was used to determine the amount of the metals in the extractant and raffinate. All three steps of the extraction process were performed endothermic and spontaneously.

**Keywords:** Solvent extraction, Heavy metals, D2EHPA, Mextral 5640H, Thermodynamic modeling, Determination of process steps.

\* Corresponding author Email:  
[aghaemi@iust.ac.ir](mailto:aghaemi@iust.ac.ir)

**Assessing the crosslinking behavior of epoxy-based nanocomposites containing silica nanoparticles modified by highly-branched amine groups****Z. Hatami Ramsheh<sup>1,\*</sup>, K. Didehban<sup>2,\*</sup>, M.R. Saeb<sup>3</sup>**

1. PhD Student of Department of Chemistry, Payame Noor University, Tehran, Iran.
2. Professor of Department of Chemistry, Payame Noor University, Tehran, Iran.
3. Professor of Department of Resin and Additives, Institute for Paint Science and Technology, Tehran, Iran.

**Abstract:** The aim of this research was to study the effect of incorporation of functionalized silica nanoparticles on the curing behavior of the epoxy-based nanocomposites. Thus, first nanosilica was prepared by using Stober method and then modified by attaching surface hydroxyl groups to silane. Glutardialdehyde was also attached as well. It was followed by attachment of highly branched polyethyleneimine (PEI) to the surface of the nanoparticles. The resulting structures were characterized using transmission electron microscopy (TEM), Fourier transform infrared (FTIR) spectroscopy, and thermogravimetric analysis (TGA). The results showed that spherical silica nanoparticles with size of 50 (bare) and 70 nm (surface-modified) were successfully synthesized. The amine and hydroxyl groups in modified silica structures actively participated in curing process and facilitated the curing mechanism of epoxy/amine system. Addition of silane-modified nanoparticles increased the activation energy, while application of PEI-modified nanosilica improved the density of the epoxy network. Due to the increase of viscosity of the system, the activation energy of epoxy system was also increased. Addition of 0.1 wt.% pure and surface-modified nanosilica also increased the glass transition temperature values from 82 to 84.7 °C for PEI-modified silica nanoparticles. This study showed that modified silica nanoparticles could provide significant improvement in thermal and mechanical properties of epoxy nanocomposites. These findings showed the improvement of the baking processes and increase the efficiency of nanocomposite materials.

**Keywords:** Epoxy, Nanosilica, Crosslinking, Surface modification, Nanocomposite.

\* Corresponding author Email:  
kh\_dideban@pnu.ac.ir &  
m.hatami6215@gmail.com

## Investigation of the effect of using titanium dioxide polymer nanocompounds on the packaging characteristics of polyethylene terephthalate beverage containers

**M. Khani<sup>1</sup>, M. Pordel Fadafen<sup>2,\*</sup>, A. Davoodnia<sup>3</sup>, A. Tavasoli Farsheh<sup>4</sup>**

1. PhD Student of Department of Chemistry, Mashhad Branch, Islamic Azad University, Mashhad, Iran.

2. Associate Prof. of Department of Chemistry, Mashhad Branch, Islamic Azad University, Mashhad, Iran.

3. Professor of Department of Chemistry, Mashhad Branch, Islamic Azad University, Mashhad, Iran.

4. Assistant Prof. of Department of Agriculture, Mashhad Branch, Islamic Azad University, Mashhad, Iran.

**Abstract:** In this research, polymer nanocompound was prepared with titanium oxide nanoparticles by melt blending procedure. 32 g weight pure preforms containing titanium oxide nanoparticles were produced in 3 colors. The prepared preforms turned into bottles and the produced bottles were filled with blueberry beverage. The bottles were exposed to sunlight for 3 months and the effect of using nanocompounds on packaging properties was investigated. The results showed that after 15 days of exposure to sunlight, the blueberry drink in the bottles without titanium oxide nanoparticles, became completely colorless. This color change occurred in all transparent, blue and brown bottles, while in the samples containing 1% titanium oxide nanoparticles, color change did not happen and the color of blueberry drink remained blue. The SEM images showed that good distribution of titanium oxide nanoparticles in the bottles containing 1% nanoparticles was happened. The results of spectrophotometry showed good performance of nanoparticles in absorbing UV ray. The FTIR spectra of the pure bottles and the bottles containing titanium oxide nanoparticles in different colors showed that the interaction between titanium oxide nanoparticles and PET compounds in all samples was physically and there was no specific chemical interaction that led to creation or removal of the functional groups. Measuring of dissolved carbon dioxide gas in the bottles showed that the amount of gas reduction in bottles containing nanoparticles is lower than the control samples.

**Keywords:** Polymer nanocompound, Titanium oxide nanoparticles, Preform, Spectrophotometry

\* Corresponding author Email:  
mehdi.pordel@um.ac.ir

H. R. Aghabozorg

Prof., Research Institute of Petroleum Industry

M. R. Jafari Nasr

Prof., Petrochemical Research and Technology Co.

A. A. Katbab

Prof., Polymer Science Faculty, Amirkabir University of Technology

M. Khosravi

Prof., Faculty of Chemistry, Islamic Azad University, Tehran North Branch

H. Mahdavi

Prof., Department of Chemistry, University of Tehran

A. R. Mahjoub

Prof., Department of Chemistry, Tarbiat Modares University

M. R. Sohrabi

Prof., Faculty of Chemistry, University of Tehran

S. Taghvaei-Ganjali

Prof., Faculty of Chemistry, Islamic Azad University, Tehran North Branch

R. Zadmard

Associate Prof., Chemistry and Chemical Engineering Research Center of Iran

**Advisory Board**

Abbasian, A. Assistant Prof. of Organic Chemistry, Islamic Azad University, Science and Research Branch

Davallo M. Associate Prof. of Chemistry, Islamic Azad University, North Tehran Branch

Ehsani, M.R. Professor of Chemical Engineering, Isfahan University of Technology

Ezzatzadeh E. Assistant Prof. of Organic Chemistry, Islamic Azad University, Ardabil Branch

Fakoor M. Assistant Prof. of Applied Chemistry, Islamic Azad University, North Tehran Branch

Fatourechchi, H. Assistant Prof. of Chemical Engineering, University of Tehran

Ganjali, M.R. Professor of Analytical Chemistry, University of Tehran

Hadi Bidakhavidi, M. Associate Prof. of Analytical Chemistry, University of Qome

Heidari H. Assistant Prof. of Inorganic Chemistry, Alzahra University

Honarkar, H. Assistant Prof. of Polymer Chemistry, Iran Polymer and Petrochemical Institute

Ipaktschi, Y. Professor of Organic Chemistry, University of Giessen, Germany

Irandonkht, A.A. Assistant Prof. of Chemical Engineering, Research Institute of Petroleum Industry

Islampour, R. Professor of Physical Chemistry, Kharazmi University

Mirzaaghayan, M. Professor of Organic Chemistry, Institute of Chemistry and Chemical Engineering of Iran

Moghimi, A. Professor of Organic Chemistry, Imam-Hossein University

Mojtahedi, M.M. Professor of Inorganic Chemistry, Institute of Chemistry and Chemical Engineering of Iran

Parastar Shahri, H. Associate Prof. of Analytical Chemistry, Sharif University of Technology

Pirsa, S. Associate Prof. of Analytical Chemistry, Urmia University

Pouretedal H.R. Professor of Analytical Chemistry, Malek Ashtar University of Technology

Pourmortazavi, S.M. Associate Prof. of Analytical Chemistry, Malek Ashtar University of Technology

Rahmani F. Assistant Prof. of Chemical Engineering, University of Kurdistan

Rezapour, M. Assistant Prof. of Analytical Chemistry, Research Institute of Petroleum Industry

Saber Tehrani M. Assistant Prof. of Applied Chemistry, Islamic Azad University, North Tehran Branch

Sadegh Hassani, S. Assistant Prof. of Analytical Chemistry, Research Institute of Petroleum Industry

Sedaghat S. Professor of Applied Chemistry, Islamic Azad University Shahr-e-Qods Branch

Sheydae M. Professor of Applied Chemistry, Kharazmi University

Tadayon, F. Assistant Prof. of Analytical Chemistry, Islamic Azad University, North Tehran Branch

Tarlani, A.A. Associate Prof. of Inorganic Chemistry, Institute of Chemistry and Chemical Engineering of Iran

Zahedi P. Associate Prof. of Chemical Engineering, University of Tehran

**Effects of graphene on the curing characteristic, morphology, rheology and mechanical properties of natural rubber (NR), chlorobutyl rubber (CIIR) and NR/CIIR blend** 70

M. Sharifi-Teshnizi, A. Jalali-Arani, M. Hernández Santana

**Optimizing the operating conditions of grape juice removal turbidity by lemon peel natural adsorbent** 71

O. Ahmadi

**Microextraction and measurement of cholecalciferol (vitamin D<sub>3</sub>) in biofibers by a three-phase method using hollow fiber and two immiscible organic solvents** 72

M. Raziee

**Optimization of the solvent extraction of zinc, copper and nickel from acidic leaching: Process steps and thermodynamic investigation** 73

S. Kolbadinejad, A. Ghaemi

**Assessing the crosslinking behavior of epoxy-based nanocomposites containing silica nanoparticles modified by highly-branched amine groups** 74

Z. Hatami Ramsheh, K. Didehban, M.R. Saeb

**Investigation of the effect of using titanium dioxide polymer nanocompounds on the packaging characteristics of polyethylene terephthalate beverage containers** 75

M. Khani, M. Pordel Fadafan, A. Davoodnia, A. Tavasoli Farsreh



# Journal of Applied Research in Chemistry

Vol. 18, No. 3, Autumn 2024

*Copyright and Publisher:*  
*Islamic Azad University, North Tehran Branch*

---

## Scientific Rank Certificate

The Ministry of Science, Research and Technology Commission of Assessment and  
Certification of publications at its session dated 22/9/1391 has assinged  
the rank of "*Scientific-Research Journal*" to the  
JOURNAL of APPLIED RESEARCH IN CHEMISTRY  
Ref. No.: 3/196219; Dated: 29 December 2012

---

**Manager-in-Chief: Prof. H. R. Aghabozorg**

**Editor-in-Chief: Prof. S. Taghvaei**

**Executive Manager: Assistant Prof. F. Motiee**

*Editors:*

**Prof. R. Islampour**

**Prof. H. R. Aghabozorg**

**Prof. S. Taghvaei**

**Prof. A. R. Mahjoub**

*Head of Secretariat:*

**M. Alem (Ph. D)**

*Designer:*

**M. Saki Entezami**

**Address:**

**Shahid Babaee Highway (West to East), Tehran, Shahid  
Abbaspour Blvd., Haghigheh Haghmiyeh, Tehran, Iran.**

**Tel-Fax: 021-77009848**

**Email: jacr@iau-tnb.ac.ir**

**www.jacr.ir**



## Journal of Applied Research in Chemistry

Vol. 18, No. 3, Autumn 2024

- **Effects of graphene on the curing characteristic, morphology, rheology and mechanical properties of natural rubber (NR), chlorobutyl rubber (CIIR) and NR/CIIR blend** 70  
M. Sharifi-Teshnizi, A. Jalali-Arani, M. Hernández Santana
- **Optimizing the operating conditions of grape juice removal turbidity by lemon peel natural adsorbent** 71  
O. Ahmadi
- **Microextraction and measurement of cholecalciferol (vitamin D3) in biofibers by a three-phase method using hollow fiber and two immiscible organic solvents** 72  
M. Raziee
- **Optimization of the solvent extraction of zinc, copper and nickel from acidic leaching: Process steps and thermodynamic investigation** 73  
S. Kolbadinejad, A. Ghaemi
- **Assessing the crosslinking behavior of epoxy-based nanocomposites containing silica nanoparticles modified by highly-branched amine groups** 74  
Z. Hatami Ramsheh, K. Didehban, M.R. Saeb
- **Investigation of the effect of using titanium dioxide polymer nanocompounds on the packaging characteristics of polyethylene terephthalate beverage containers** 75  
M. Khani, M. Pordel Fadafan, A. Davoodnia, A. Tavasoli Farsreh